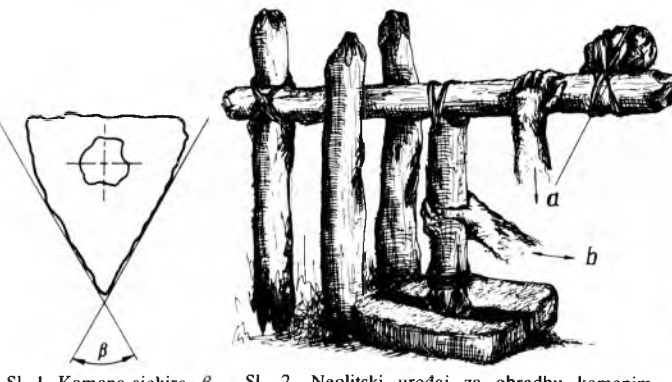


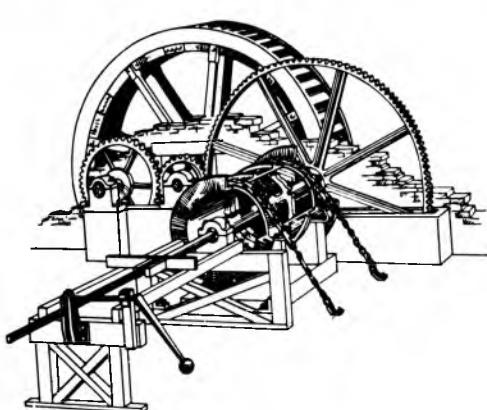
POVRŠINSKA OBRADBA METALA ODVAJANJEM ČESTICA, skup postupaka kojim se metalnom obratku daje određeni oblik i odredena hrapavost površine. Zbog veoma velike upotrebe metala u različitim proizvodima obradba metala odvajanjem čestica posebno utječe ne samo na karakteristike proizvoda nego i na njihovu cijenu. Idealna bi se obradba metala postigla kad se čestice ne bi odvajale, već kad bi se one spojile u željeni oblik na dovoljno jednostavan i jeftin način. Idealnoj obradbi metala približavaju se lijevanje i postupci praškaste metalurgije.

Oblikovanje obradaka konvencionalnim postupcima, kao što su tokarenje, glodanje, bušenje i sl., tj. kad se materijal skida u obliku strugotine, naziva se obradba metala skidanjem strugotine. Strugotina ima definirani geometrijski oblik, dok



je čestica širi pojam i ne mora biti geometrijski definirana. Za skidanje strugotine primjenjuje se tzv. princip klina. Dio alata koji ima oblik klina utiskuje se u obradak tako da se skida strugotina. Princip klina čovjek je primjenjivao već u kameno doba.

Kamena sjekira imala je kut klina β (sl. 1) kao i današnji najmoderniji alati. Postoje dokazi da je u mlade kameno doba oko $\leftarrow 4000$. god. čovjek upotrebljavao napravu za odrezivanje kamenim alatom (sl. 2). Jednom je rukom preko alata pritisikavao na obradak i time uzrokovao posmak u smjeru *a* dok je drugom rukom njihao alat u smjerovima *b*. Kružno gibanje alata za bušenje dobivalo se iz pravocrtnog gibanja luka (sl. 3; oko $\leftarrow 1450$). Smisao vrtnje mijenja se prema smjeru gibanja luka. Pilom se rezalo oko $\leftarrow 500$. god., što je, zajedno s kovanjem metala prikazano na sl. 4. Prva tokarena brončana posuda, nadena pored Tebe, izradena je prije $\leftarrow 26$. god. U XVIII. stoljeću izradeni su prvi alatni strojevi. Prva tokarilica izradena je 1717, dok je prva blanjalica izradena 1774. Poseban je problem bila pogonska snaga, jer je prilikom tokarenja otpor materijala mnogo veći nego pri piljenju i bušenju. Za obradbu cilindra (1776. god., sl. 5) glavno je gibanje ostvareno mlinskim kolom. Glodalica je izradena 1818, revolverska tokarilica 1845, univerzalna glodalica 1862, a prva brusilica za cilindrično brušenje 1864. Prvo važnije istraživanje na području obradbe metala skidanjem strugotine obavljao je u tajnosti od 1880. do 1906. F. W. Taylor. Najvažniji rezultati tih istraživanja bili su: pronađak brzoreznih čelika i tzv. Taylorove jednadžbe.

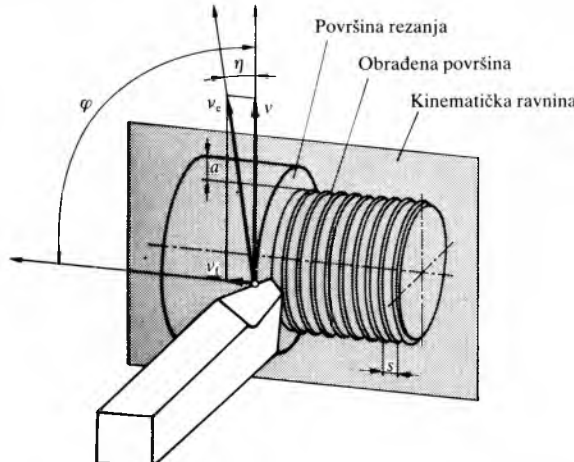


POVRŠINSKA OBRADBA METALA ODVAJANJEM ČESTICA

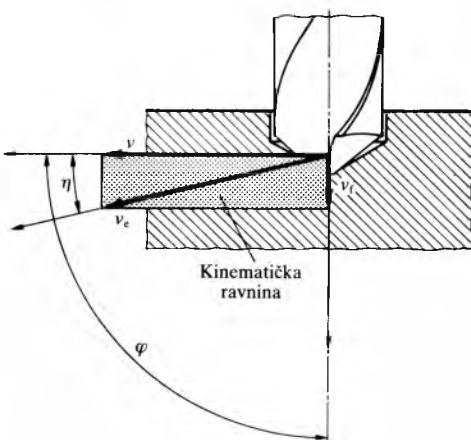
OSNOVE OBRADBEE METALA SKIDANJEM STRUGOTINE

Kinematika postupka obradbe skidanjem strugotine. U JUS K.A2.010 razrađena je kinematika postupaka obradbe metala skidanjem strugotine. Definicije gibanja i brzina odnose se na nepokretni obradak. Osnovna gibanja jesu: glavno gibanje, pomoćno gibanje i rezultantno gibanje.

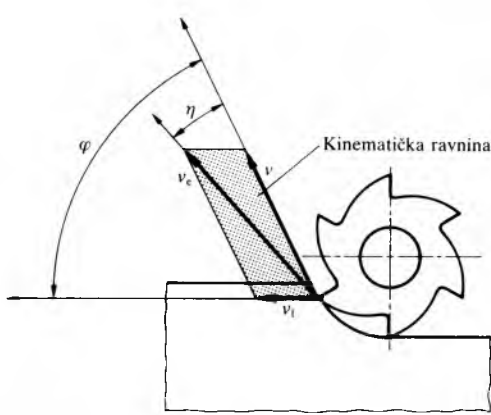
Glavno gibanje omogućuje stvaranje strugotine, a vrši ga alat ili obradak. Glavno gibanje može biti kružno, pravocrtno, neprekidno i prekinuto. Prvac glavnog gibanja (sl. 6-10) jest trenutačni prvac glavnog gibanja u promatranoj točki oštice s obzirom na obradak. Brzina glavnog gibanja v (brzina rezanja) trenutačna je brzina promatrane točke oštice s obzirom na obradak.



Sl. 6. Kinematika tokarenja. v brzina rezanja, v_t posmična brzina, v_e rezultantna brzina, φ kut pravca pomoćnog gibanja, η kut pravca glavnog gibanja, a dubina rezanja, s posmak



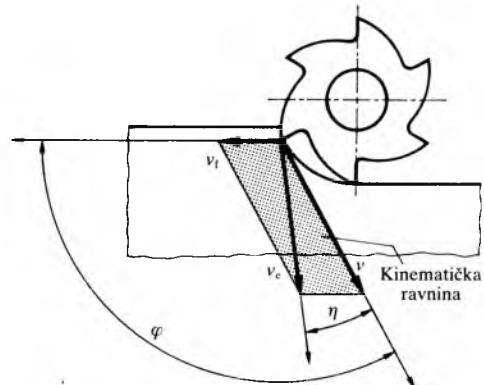
Sl. 7. Kinematika bušenja (oznake imaju isto značenje kao na sl. 6)



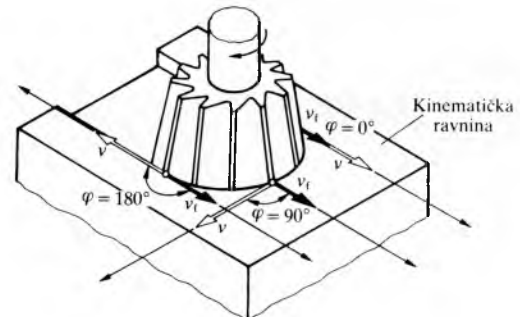
Sl. 8. Kinematika protusmjernog obodnog gledanja (oznake kao na sl. 6)

Pomoćno gibanje omogućuje s glavnim gibanjem neprekidno ili prekinuto stvaranje strugotine, a izvršava ga alat ili obradak. Prvac pomoćnog gibanja trenutačni je prvac pomoćnog gibanja promatrane točke oštice s obzirom na obradak. Brzina pomoćnog gibanja v_e (posmična brzina) trenutačna je brzina promatrane točke oštice s obzirom na obradak.

Rezultantno gibanje dobije se geometrijskim zbrajanjem glavnog i pomoćnog gibanja. Prvac rezultantnog gibanja (sl. 6, 7, 8 i 9) trenutačni je prvac promatrane točke oštice. Brzina rezultantnog gibanja v_r trenutačna je brzina promatrane točke oštice.



Sl. 9. Kinematika istosmjernog obodnog gledanja (oznake kao na sl. 6)



Sl. 10. Kinematika čeonog gledanja ili čeonog brušenja. v brzina rezanja, v_t posmična brzina, φ kut pravca pomoćnog gibanja

Kut pravca pomoćnog gibanja φ kut je između pravca pomoćnog i glavnog gibanja, mjerjen u kinematičkoj ravnini. Kut pravca glavnog gibanja η kut je između pravca glavnog i rezultantnog gibanja mjerjen u kinematičkoj ravnini.

Za sve postupke vrijedi:

$$\tan \eta = \frac{\sin \varphi}{\frac{v}{v_t} + \cos \varphi}. \quad (1)$$

Kad je $\varphi = 90^\circ$, izraz (1) poprima oblik

$$\tan \eta = \frac{v_t}{v}. \quad (2)$$

Za različite postupke obradbe kut φ može imati različite vrijednosti. Tako npr. za čeono gledanje ili čeono brušenje kut φ iznosi $0 \dots 180^\circ$.

Razlikuju se sljedeća područja brzine rezanja: male brzine rezanja $0 \dots 33$ m/min; brzine rezanja koje se danas primjenjuju u industrijskim uvjetima $33 \dots 650$ m/min; velike brzine rezanja $650 \dots 2000$ m/min; vrlo velike brzine rezanja $2000 \dots 20000$ m/min; ultravelike i balističke brzine rezanja $20000 \dots 160000$ m/min.

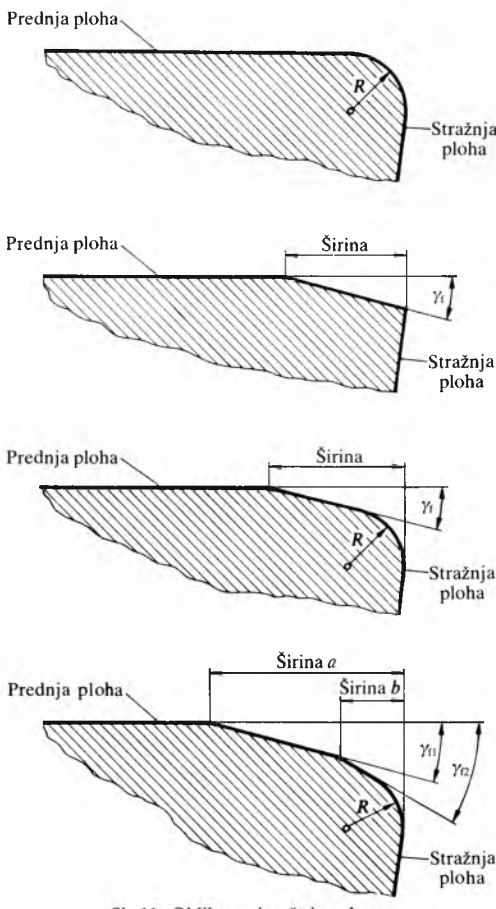
Za obradbu čelika i sivog lijeva najčešće se primjenjuje područje brzina rezanja $33 \dots 650$ m/min, dok se brzine $650 \dots 2000$ m/min upotrebljavaju za obradbu aluminija, alumini-

nijskih legura, bronce, bakra, mjedi, zlata i srebra, i to najčešće pomoću dijamantnog alata.

U fazi su istraživanja obradbe vrlo velikim brzinama i ultravelikim brzinama. Za velike brzine rezanja potrebne su velike brzine vrtanje, pa su tada najveći problem ležaji s glavnim vretenom.

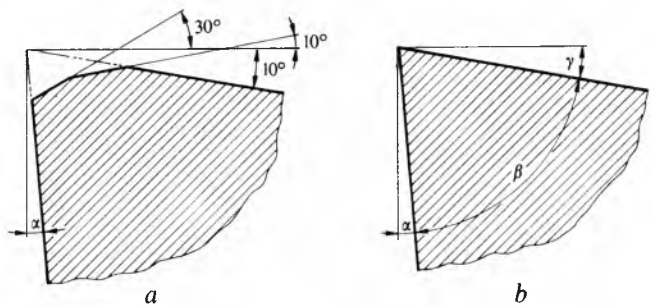
Za obradbu titana najprikladnije su brzine rezanja $v = 8000 \dots 115000 \text{ m/min}$. Budući da su potrebni alati relativno malog promjera, u fazi je istraživanja glavno vreteno s ležistem koje bi imalo brzinu vrtanja $\sim 70000 \text{ min}^{-1}$. Ležaji imaju prednapregnute šuplje valjke. Za obradbu balističkim brzinama rezanja alat ili obradak postavljaju se na topovske tane. Ta su istraživanja još u toku. Očekuje se da će se primjenom novih materijala za alate (SIALON, KION i sl.) područje brzina rezanja koje se danas primjenjuju u industrijskim uvjetima ($v = 33 \dots 650 \text{ m/min}$) proširiti prema većim brzinama rezanja.

Geometrijski oblik alata. Za bolju eksploataciju obradnog sustava, osim materijala alata, važan je i rezni geometrijski oblik alata (v. Alati, TE 1, str. 82; JUS K.A2.010). S obzirom na način pričvršćivanja rezne pločice postoje alati sa zalemnjom pločicom i alati s mehanički pričvršćenom pločicom. Oštrenjem alata sa zalemnjom pločicom mogu se postići bilo koji rezni kutovi, dok se alati s mehanički pričvršćenom pločicom ne oštire, pa je oblik alata određen reznom pločicom i držaćem pločice. Za alate s mehanički pričvršćenom pločicom posebna se pažnja posvećuje obliku neposredno uz oštricu. Zato su oštice reznih pločica za takve alate kvalitetnije od oštice koje se dobiju oštrenjem alata sa zalemnjom pločicom u industrijskim uvjetima. Tako se npr. oštrica pločice rezne keramike najčešće oblikuje zaobljeno (sl. 11).



Sl. 11. Oblikovanje oštice alata

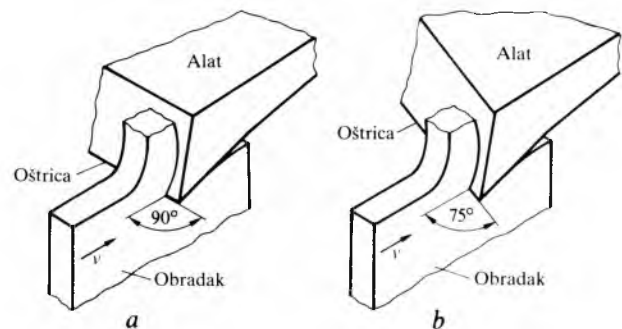
Primjenom fasete pri čeonom glodanju može se povećati postojanost alata čak za ~ 16 puta s obzirom na alat bez fasete s pozitivnim prednjim kutom γ kad je udarac pri ulazu zuba upravo po glavnoj oštrici (sl. 12).



Sl. 12. Pločica tvrdog metala. a s dvostrukom fasetom, b bez fasete

Budući da oštice mehanički pričvršćenih pločica proizvodač alata oblikuje brušenjem koje ne uzrokuje napukline pločice, nije potrebno naknadno oštrenje kad se oštice istroši, a primjena je tih alata ekonomičnija nego alata sa zalemnjem pločicama.

Stvaranje strugotine i naljepka. Pri odradbi metala skidanjem strugotine alat prodire u obradak i skida strugotinu s obratka. Kad alat prodire u obradak, oštrica alata može biti pod kutom od 90° prema smjeru brzine (ortogonalna obradba skidanjem strugotine, sl. 13a), ili je oštrica alata pod nekim drugim kutom prema smjeru brzine rezanja (neortogonalna obradba, sl. 13b). Strugotina se stvara približno jednako pri ortogonalnoj i neortogonalnoj obradbi. Dvije su osnovne vrste strugotine: *trgana strugotina* (sl. 14a) i *tekuća strugotina* (sl. 14b). Kad je brzina rezanja malena, a materijal obratka žilav, može se stvoriti naljepak (lažna oštrica, sl. 14c). Ako se obraduje u uvjetima koji su između uvjeta za stvaranje trgane i tekuće strugotine, nastat će *naslagana strugotina* (sl. 15b). Postoje različita mišljenja da li smicanje nastaje u jednoj ravnini ili u širem području, u tzv. smičnoj zoni (sl. 16). Izgleda da pri manjim brzinama rezanja, a posebno kad je materijal obratka žaren, smicanje nastaje u smičnoj zoni, dok se pri velikim brzinama rezanja smicanje pojavljuje u suženom pojasu. Osim toga, o obliku alata ovisi odvijanje smicanja. Kad je prednji kut γ manji, veća je vjerojatnost da će se pojavit smična ravnina (sl. 17a) kad je na prijelazu s površine obratka na strugotinu mali polumjer zaobljenja. Uz velik prednji kut smicanje nastaje u smičnoj zoni (sl. 17b).

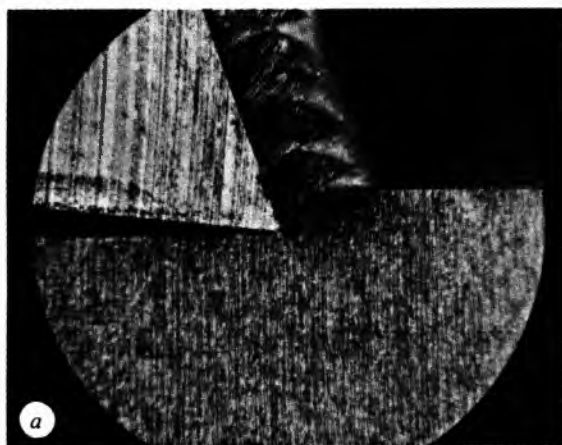


Sl. 13. Odnos oštice alata prema smjeru brzine rezanja. a ortogonalna obradba: smjer brzine rezanja okomit na oštricu alata, b neortogonalna obradba: smjer brzine rezanja nije okomit na oštricu alata

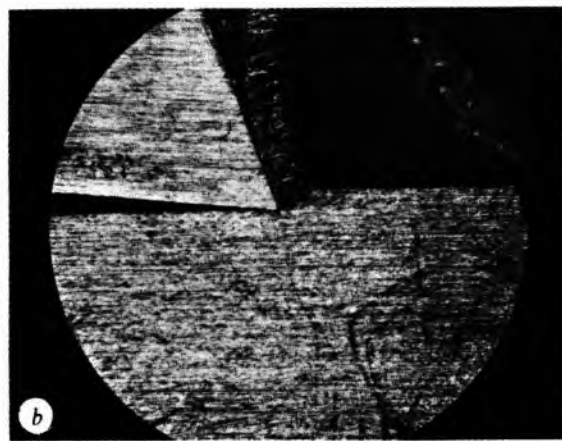
Trgana strugotina stvara se kad je materijal obratka krhak (sl. 15a). Također, mali prednji kut, mala brzina rezanja i velika nedeformirana debljina strugotine h pogoduje stvaranju trgane strugotine. Ako se odlomci trgane strugotine drže zajedno, dobiva se naslagana strugotina. Prema C. A. van Lutterveldu, ako nastaje naslagana strugotina, stvaraju se dvije paralele smične ravnine, tj. prva i druga smična ravnina. Međutim, ako se još stvara i naljepak, nastaju još dvije smične ravnine, tj. treća i četvrta smična ravnina (sl. 18).

Primjenjujući model primarne i sekundarne smične zone H. Bao i M. G. Stevenson donekle su razjasnili osnovni mehanizam stvaranja strugotine različitim gradijentom napre-

POVRŠINSKA OBRADBA METALA ODVAJANJEM ČESTICA



a

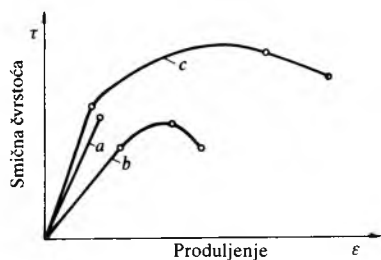


b

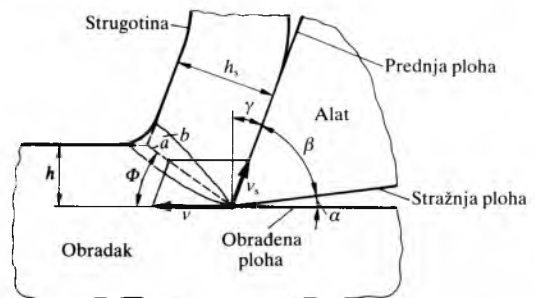


c

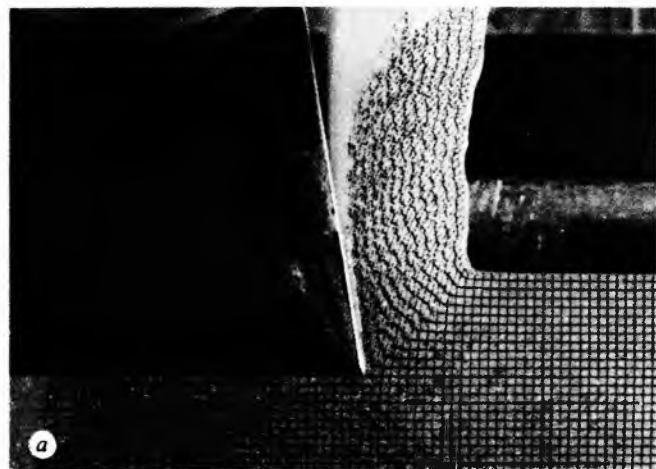
Sl. 14. Vrste strugotine. a trgana strugotina, b tekuća strugotina, c tekuća strugotina s naljepkom



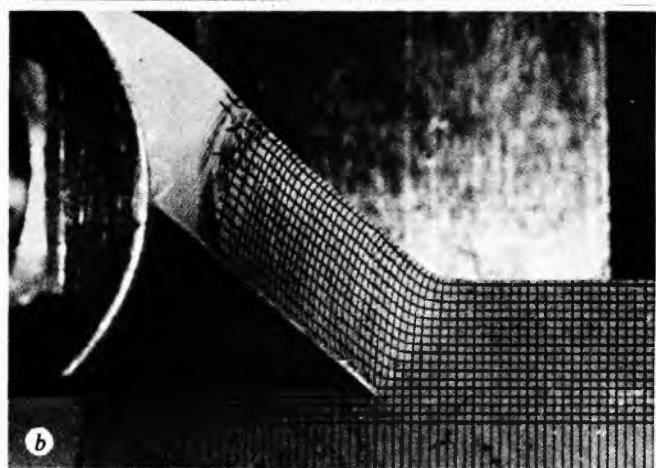
Sl. 15. Ovisnost vrste strugotine o mehaničkim svojstvima materijala obratka prikazanih dijagramom. a trgana strugotina, b naslagana strugotina, c tekuća strugotina



Sl. 16. Stvaranje strugotine pri ortogonalnoj obradbi. a smična ravnina, b smična zona; h nedeformirana debljina strugotine, h_s debljina strugotine, Φ kut smicanja, v brzina rezanja, v_s brzina strugotine

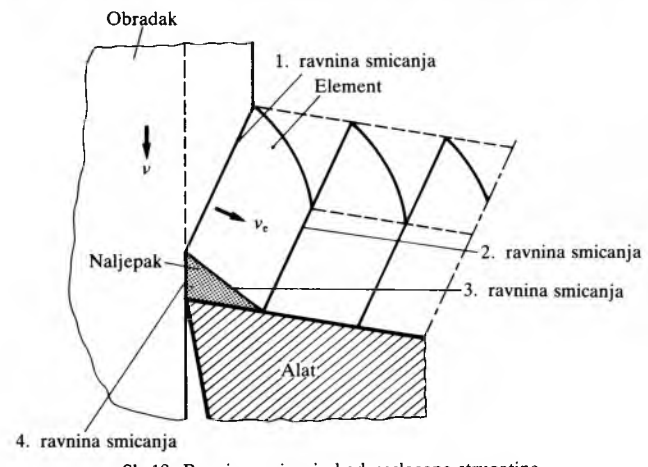


a



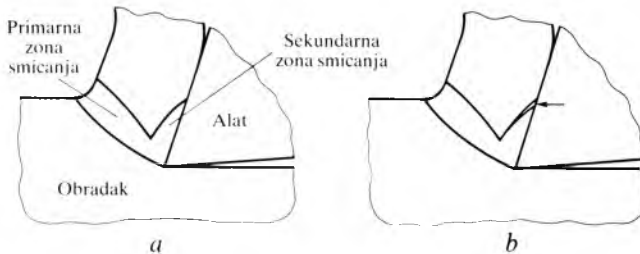
b

Sl. 17. Utjecaj prednjeg kuta γ na smicanje. a smična ravnina, b smična zona



Sl. 18. Ravnine smicanja kod naslagane strugotine

zanja u strugotini i u sekundarnoj smičnoj zoni (sl. 19). Takvi uvjeti nastaju pri manjim brzinama rezanja, npr. tokarenjem čelika brzinom 20–55 m/min. Periodično naljepak puca i jedan dio ostaje zavaren na strugotini, a drugi dio na obratku. Neposredno prije pucanja (sl. 14c) naljepak je najveći i stvara najveću dubinu brazde na obrađenoj površini, što povećava hrapavost obrađene površine. U praksi bi trebalo izbjegavati uvjete u kojima se stvara naljepak, a to se postiže povećanjem brzine rezanja.



Sl. 19. Stvaranje naljepka. a primarna i sekundarna zona smicanja prije stvaranja naljepka, b početak stvaranja naljepka

Omjer površine presjeka strugotine A_s i površine presjeka nedeformirane strugotine A naziva se faktor sabijanja i iznosi

$$\xi = \frac{A_s}{A}. \quad (3)$$

Ako je b debljina obratka, tada je uz ortogonalnu obradbu (sl. 16)

$$\xi = \frac{h_s}{h} \cdot \frac{b_s}{b} = \frac{h_s}{h}, \quad (4)$$

jer je širenje strugotine zanemarivo, tj. $b_s \approx b$. Faktor sabijanja izražen brzinom strugotine v_s i brzinom rezanja v (sl. 16) iznosi

$$\xi = \frac{h_s}{h} = \frac{v}{v_s}. \quad (5)$$

Izraz (5) slijedi iz jednadžbe kontinuiteta. Dakle smični kut Φ ovisi o prednjem kutu γ i o faktoru sabijanja ξ , pa je

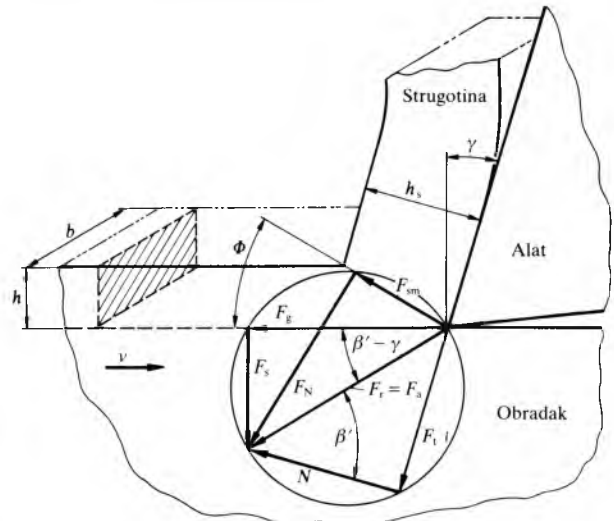
$$\tan \Phi = \frac{\cos \gamma}{\xi - \sin \gamma}. \quad (6)$$

Faktor sabijanja strugotine ovisi o više činilaca. Među njima su najutjecajniji: materijal obratka (što je mekši materijal obratka, veće je ξ), prednji kut γ (što je veće γ , manje je ξ), debljina strugotine h (što je veće h , manje je ξ), brzina rezanja (pri tokarenju srednje čvrstog čelika ona više utječe do brzine rezanja od 100 m/min; što je veće v , to je manje ξ). Također je važan smični kut Φ . Njegov utjecaj na silu rezanja i na odrezivanje dobiva se pomoću modela tanke zone.

Model tanke zone. U modelu se tanke zone (M. E. Merchant) pretpostavlja: a) da je alat oštar i da ne postoji trenje između alata i obratka, b) da je deformacija dvodimenzionalna i da nema širenja strugotine u stranu, c) da su naprezanja u zoni smicanja jednoliko raspoređena i d) da je resultantna sila F_r , koja djeluje na strugotinu u zoni smicanja, jednak po iznosu, kolinearna i suprotnog smjera od sile kojom alat djeluje na strugotinu. Rezultantna sila rezanja F_r može se rastaviti na tri načina (sl. 20). Budući da rezultantna sila rezanja F_r mijenja vrijednost i smjer prema uvjetima obradbe, za ortogonalnu obradbu najčešće je podesno rastaviti silu F_r na glavnu silu rezanja F_g i posmičnu silu rezanja F_s za mjerjenje pomoću dinamometra, koje uz gornje pretpostavke iznose

$$F_g = \frac{hb \tau \cos(\beta' - \gamma)}{\sin \Phi \cos(\Phi + \beta' - \gamma)}, \quad (7)$$

$$F_s = \frac{hb \tau \sin(\beta' - \gamma)}{\sin \Phi \cos(\Phi + \beta' - \gamma)}. \quad (8)$$



Sl. 20. Sile rezanja pri ortogonalnoj obradbi. F_g glavna sila, F_s posmična sila, $F_r = F_a$ rezultantna sila, F_{sm} smična sila, F_N normalna sila smicanja, F_t sila trenja, N normalna sila trenja, γ prednji kut, β' kut trenja, Φ smični kut, h nedeformirana debljina strugotine, b debljina strugotine, b širina nedeformirane strugotine, v brzina rezanja

To vrijedi uz pretpostavku da je smično naprezanje jednoliko raspoređeno u smičnoj ravnini. Ako su poznate vrijednosti veličina h , b i γ (sl. 20), smično naprezanje τ , kut trenja β' između alata i strugotine i smični kut Φ , mogu se izračunati F_g i F_s iz (7) i (8). O smičnom kutu ovisi kakva će biti deformacija (sabijanje strugotine i sl.) kad se obrađuje skidanjem strugotine. Međutim, još se uvijek ne može samo teorijski odrediti smični kut Φ . Da bi se odredio smični kut, primjenjuje se princip minimalne energije, pa je

$$\frac{dF_g}{d\Phi} = 0, \quad (9)$$

ako je brzina rezanja konstantna. Iz (7) i (9) slijedi da je

$$\Phi = \frac{\pi}{4} - \frac{1}{2}(\beta' - \gamma). \quad (10)$$

Uvrštenjem (10) u (7) i (8) dobije se

$$F_g = 2hb \tau \cot \Phi, \quad (11)$$

$$F_s = hb \tau (\cot^2 \Phi - 1). \quad (12)$$

Pri tom se pretpostavlja da je naprezanje τ jednako smičnoj čvrstoći materijala obratka.

Jednadžbe (7) i (8) vrijede samo ako smicanje nastaje u smičnoj ravnini. Jednadžbe (10), (11) i (12) dobivene su uz pretpostavku da su β' i τ konstante i da ne ovise o Φ . Pokusima je, međutim, dokazano da ta pretpostavka u potpunosti ne odgovara stvarnosti, tj. β' i τ ovise o Φ .

Na temelju pokusima dobivenih vrijednosti faktora sabijanja ξ (5), primjenom jednadžbe (6) može se odrediti smični kut Φ .

Koeficijent trenja može se odrediti pomoću sile F_t i N , odnosno pomoću sile F_g i F_s koje se mogu dobiti mjerjenjem (sl. 20), pa je

$$\mu = \tan \beta' = \frac{F_s + F_g \tan \gamma}{F_g - F_s \tan \gamma}. \quad (13)$$

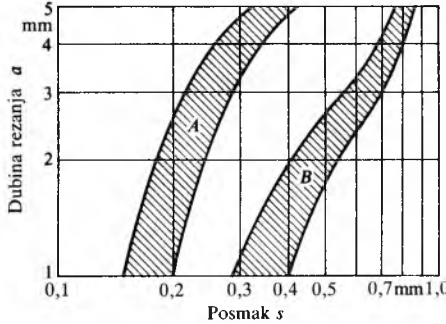
To vrijedi uz pretpostavku da su sile jednoliko raspoređene po površinama koje se taru. Međutim, iz kasnijih istraživanja proizlazi da su uvjeti u obradbi metala skidanjem strugotine znatno složeniji, pa analiza modela tanke zone samo kvalitativno tumači stvaranje strugotine.

Utjecajne veličine na oblik strugotine. Oblik strugotine posebno je važan za uspješnu eksploataciju obradnih sustava. Često nepovoljna strugotina stvara posebne teškoće, kao što su zaustavljanje stroja, lom alata i sl. Tekuća je strugotina najnepovoljnija, dok su krovčasta isprekidana, spiralno ispre-

POVRŠINSKA OBRADBA METALA ODVAJANJEM ČESTICA

kidana i ostale isprekidane strugotine povoljnije za obradbu. Alatni stroj treba imati dobru zaštitu koja ne dopušta frcanje strugotine. Oblik strugotine ovisi o režimu obradbe, obliku i materijalu alata, materijalu obratka, stepenici ili utoru za lomljenje strugotine, trošenju alata i dr.

Utjecaj režima obradbe, oblika i trošenja alata. Brzina rezanja bitno utječe na temperaturu strugotine o kojoj ovise žilavost strugotine. O posmaku i prislonom katu χ ovise debljina strugotine h_s . S povećanjem debljine strugotine povećava se lomljivost strugotine. Utjecaj debljine strugotine ovisi o dubini rezanja. Zbog toga je za lomljenje strugotine bitan omjer dubine rezanja i posmaka a/s , odnosno omjer širine i debljine neodrezane strugotine b/h (sl. 21).



Sl. 21. Utjecaj dubine rezanja i posmaka na stvaranje podesne strugotine pri brzini rezanja $v = 150 \text{ m/min}$. A čelik za automate, B C.1530

Pri dovoljno velikoj brzini rezanja alat se više troši na prednjoj plohi, pa se stvara podesnija strugotina. Veliki pozitivan prednji kut γ može utjecati na stvaranje nepovoljne strugotine.

Utjecaj materijala obratka. Materijal obratka, odnosno njegova čvrstoća i žilavost veoma utječu na stvaranje i na lomljenje strugotine. Na stvaranje strugotine utječe mikrostruktura materijala. Tako, npr., tvrde faze u metalnoj osnovi stvaraju nejednoličnu strugotinu, jer se tada ona lakše lomi. Usmjerena mikrostruktura materijala obratka dobivena prethodnim valjanjem može utjecati na oblik strugotine. Legirni elementi također veoma utječu na lomljenje strugotine; tako se, npr., čeliku za obradbu na automatsima dodaju sumpor i olovo da bi se povećala lomljivost strugotine.

Utjecaj alata. Na lomljenje strugotine najviše utječe utor ili stepenica za lomljenje strugotine na prednjoj plohi alata. Alati s mehanički pričvršćenim pločicama mogu imati iznad rezne pločice dodatnu pločicu (lomač strugotine), koja utječe na zakrivljenost strugotine pa se strugotina lomi. Osim toga, rezna pločica ima jedan ili više utora na različitim udaljenostima od oštice, koji također utječu na zakrivljenost, a time i na lomljenje strugotine. UTOR bliži oštici lomi strugotinu kad se obraduje s manjim posmacima, dok uz veće posmoke strugotinu lomi dublji i udaljeniji utor od oštice. Ako alat nema mehanički pričvršćenu pločicu, izrađuje se na prednjoj plohi alata stepenica paralelna s glavnom ošticom alata, koja je duboka $0,5\text{--}1 \text{ mm}$ i široka oko deset puta više od upotrijebljenog posmaka.

Mehaničke pojave. Utiskivanjem alata u obradak skida se strugotina s obratka, a pri tom materijal obratka pruža otpor prodiranju alata. Utrošena mehanička energija pretvara se u toplinu. Otpor prodiranju alata naziva se *silom rezanja*.

Komponente sile rezanja. Smjer i vrijednost sile rezanja F_r kojom obradak djeluje na prednju i stražnju plohu alata ovise o materijalu obratka, obliku i materijalu alata, te režimu obradbe. Sila rezanja najjednostavnije se određuje pomoću komponenata: F_g glavna sila, F_s posmična sila i F_p natražna ili pasivna sila rezanja (sl. 22). Ako alat ima više oštice, npr. glodalj, svrdlo i sl., ukupna je rezultantna sila rezanja vektorski zbroj rezultantnih sile rezanja pojedinih oštice. Posebno su važne komponente sile koje se nalaze u kinematičkoj ravnini: F_a aktivna sila, F_g glavna sila i F_s posmična sila.

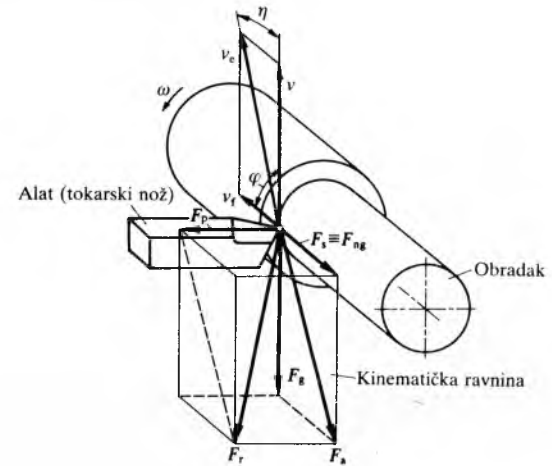
Za određivanje potrebne snage za obradbu skidanjem strugotine na oštici alata, tzv. snage rezanja P_r , ne uzima se u obzir natražna sila F_p , jer je okomita na glavno i posmično gibanje i ne obavlja rad. Također F_s malo utječe na P_r , jer je posmična brzina v_f vrlo malena s obzirom na brzinu rezanja v , tako da je

$$P_r = \frac{F_g v}{60000}, \quad (14)$$

gdje je P_r u kW, a F_g u N i v u m/min. Budući da je kut pravca glavnog gibanja η vrlo malen, to je brzina rezanja v približno jednaka brzini rezultantnog gibanja v_e . Snaga stroja P_s veća je od snage rezanja P_r zbog gubitaka u alatnom stroju, pa iznosi

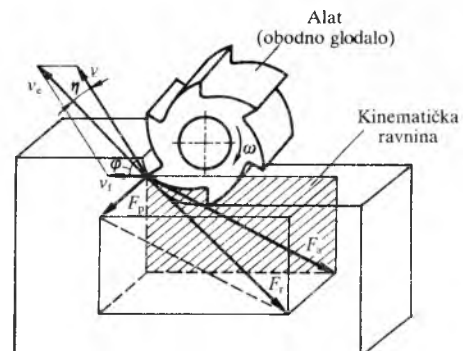
$$P_s = \frac{P_r}{\eta_s}, \quad (15)$$

gdje je η_s stupanj iskoristivosti stroja.



Sl. 22. Sile rezanja pri tokarenju. F_r rezultantna sila rezanja, F_g glavna sila rezanja, F_s posmična sila, F_a aktivna sila, F_p pasivna ili natražna sila rezanja

Pri obodnom protusmjernom glodanju kut je pravca gibanja $\varphi < 90^\circ$, pa se rezultantna sila rezanja i aktivna sila drukčije rastavljaju na komponente (sl. 23 i 24) nego na sl. 22. Već prema postupku obradbe kut pravca gibanja može biti $0^\circ \leq \varphi \leq 180^\circ$.

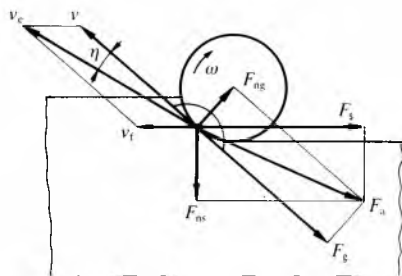


Sl. 23. Sile rezanja pri protusmjernom obodnom glodanju ($\varphi < 90^\circ$). F_r rezultantna sila, F_a aktivna sila, F_p pasivna sila, v brzina rezanja, v_t posmična brzina, v_e rezultantnog gibanja, η kut pravca glavnog gibanja, φ pomoćnog gibanja

Računanje sile rezanja. Najvažnija je i najčešće se pri računanju upotrebljava glavna sila rezanja F_g , koja ovise o materijalu obratka, posmaku s i dubini rezanja a , pa je

$$F_g = a s f_s = b h f_s, \quad (16)$$

gdje je f_s specifična sila rezanja (N/mm²). Oblik neodrezanog

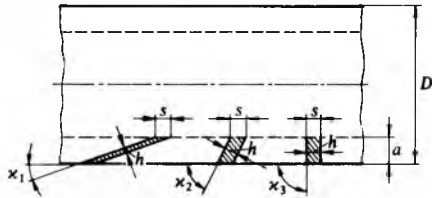


Sl. 24. Komponente aktivne sile rezanja pri protusmjernom obodnom gibanju. F_g glavna sila rezanja, F_n sila okomita na glavnu silu rezanja, F_t posmična sila, F_a sila okomita na posmičnu silu, ostale oznake kao na sl. 23

presjeka strugotine ovisi o prislonom kutu α (sl. 25), koji utječe na debljinu strugotine h . Specifična sila rezanja f_s ne ovisi samo o materijalu obratka već i o debljini strugotine h , pa je prema Kienzleu (sl. 26)

$$F_g = b h^{z_1} f_{s,1-1}, \quad (17)$$

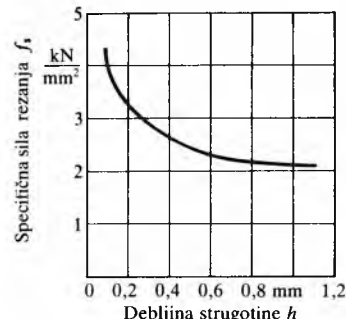
gdje je $f_{s,1-1}$ specifična sila rezanja koja odgovara površini presjeka strugotine A kad je $b = h = 1 \text{ mm}$, a z_1 je eksponent koji se dobije iz sl. 26 kad se nacrtava u logaritamskom mjerilu.



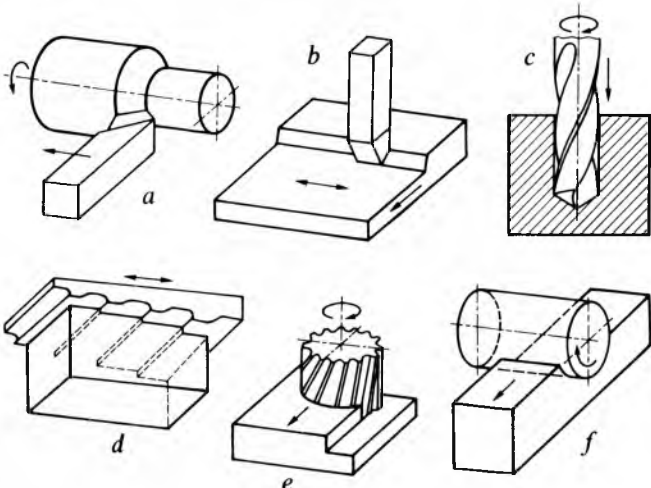
Sl. 25. Utjecaj prislonog kuta α na oblik presjeka neodrezane strugotine pri uzdužnom tokarenju

Te su jednadžbe bile predložene samo za određivanje glavne sile rezanja F_g pri tokarenju, ali je dokazano da se mogu primijeniti i za druge postupke obradbe s konstantnom i promjenljivom debljinom strugotine (sl. 27). Jednadžbe (16) i (17) uzimaju u obzir najutjecajnije činioce: dubinu rezanja a , posmak s , prisloni kut α i materijal obratka. U tabl. 1 nalaze se vrijednosti specifične sile rezanja f_s za određene debljine strugotine h , koje su potrebne za računanje F_g prema (16). Osim toga, na glavnu silu rezanja utječe prednji kut γ (veći kut – manja sila), brzina rezanja v (veća brzina – malo manja sila), materijal alata, hlađenje i podmazivanje (bolje

hlađenje – manja sila) i trošenje alata (istrošen alat – veća sila). Za približno računanje posmične sile F_s i natražne sile F_p mogu poslužiti omjeri $F_g : F_p : F_s = 5 : 2 : 1$.



Sl. 26. Ovisnost specifične sile rezanja o debljini strugotine



Sl. 27. Postupci obradbe s konstantnom debljinom strugotine: a tokarenje, b bljanje i dubljenje, c bušenje, d provlačenje. Postupci obradbe s promjenljivom debljinom strugotine: e čeonoglodenje, f obodno glodenje.

Volumen i specifični volumen. Volumen skinutog materijala obratka (mm^3/min), npr. pri tokarenju (sl. 25), dobiva se iz izraza

$$V = 1000 A v = 1000 a s v = 1000 b h v, \quad (18)$$

gdje je A površina presjeka neodrezane strugotine (mm^2), v brzina rezanja (m/min), a dubina rezanja (mm), s posmak

Tablica 1

OVISNOST SPECIFIČNE SILE REZANJA f_s (N/mm^2) O DEBLJINI STRUGOTINE PRI TOKARENJU ALATOM OD TVRDOG METALA
($v = 100 \dots 120 \text{ m/min}$, $\alpha = 5^\circ$, $\beta = 79^\circ$, $\gamma = 6^\circ$, $\varepsilon = 90^\circ$, $\chi = 60^\circ$, $\lambda = -4^\circ$, $r = 1 \text{ mm}$)

Materijal obratka	σ_M (N/mm^2) ili tvrdoča	Debljina strugotine h , mm												$f_{s,1-1}$ $h = 1 \text{ mm}$	z_1
		0,063	0,08	0,1	0,125	0,16	0,20	0,25	0,315	0,4	0,5	0,63	0,8		
Č.0362	340/370	2850	2730	2630	2540	2430	2340	2250	2170	2080	2000	1930	1850	1780	0,17
Č.0545	520	4080	3840	3620	3430	3210	3020	2850	2690	2530	2380	2250	2110	1990	0,26
Č.0645	620	3380	3240	3120	3000	2880	2770	2670	2570	2470	2370	2280	2190	2110	0,17
Č.0745	720	5180	4820	4510	4220	3920	3660	3430	3200	2980	2780	2600	2420	2260	0,30
Č.1531	670	3270	3160	3060	2970	2870	2780	2700	2610	2520	2450	2370	2290	2220	0,14
Č.1731	770	3500	3360	3220	3100	2960	2850	2730	2620	2510	2410	2310	2220	2130	0,18
Č.4320	770	4310	4050	3820	3610	3380	3190	3010	2840	2660	2510	2370	2230	2100	0,26
Č.5420	630	5180	4820	4510	4220	3920	3660	3430	3200	2980	2780	2600	2420	2260	0,30
Č.4732	730	5130	4820	4550	4290	4030	3800	3580	3380	3170	2990	2820	2650	2500	0,26
Č.4731	800	4000	3810	3630	3470	3290	3140	3000	2850	2720	2590	2470	2350	2240	0,21
Č.4830	600	4560	4280	4040	3810	3580	3370	3180	3000	2820	2660	2500	2350	2220	0,26
Č.4721	590	3660	3520	3390	3260	3130	3010	2900	2790	2680	2580	2480	2380	2290	0,17
Č.3131	770	3050	2830	2660	2540	2350	2180	2050	1920	1830	1770	1740	1700	1680	0,28
Meehanite M	300 HB	2550	2400	2260	2130	2000	1890	1780	1670	1580	1490	1400	1320	1240	0,26
SL 10	180 HB	1070	1040	1010	980	950	920	900	870	840	820	800	770	750	0,13
SL 15	180 HB	1700	1610	1540	1470	1400	1330	1270	1210	1150	1100	1050	1000	950	0,21
SL 20	220 HB	2040	1920	1810	1720	1610	1530	1440	1360	1280	1210	1150	1080	1020	0,25
SL 25	220 HB	2380	2240	2110	1990	1870	1760	1660	1570	1470	1390	1310	1230	1160	0,26
Tvrdi lijev	55 HRC	3860	3690	3530	3390	3230	3100	2970	2850	2720	2600	2490	2390	2280	0,19
Č.5471 žaren	940	3380	3190	3020	2870	2700	2560	2430	2300	2170	2050	1940	1840	1740	0,24
Č.5471 pobolj.	352 HB	3730	3520	3340	3160	2980	2830	2680	2530	2390	2270	2150	2030	1920	0,24

POVRŠINSKA OBRADBA METALA ODVAJANjem ČESTICA

(mm), b širina neodrezane strugotine (mm), a h debljina neodrezane strugotine (mm).

Specifični volumen V_s ($\text{mm}^3 \text{min}^{-1} \text{kW}^{-1}$) iznosi

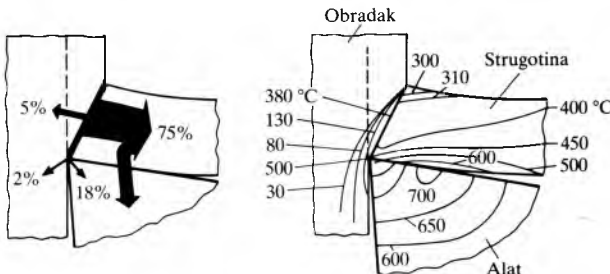
$$V_s = \frac{V}{P_r}, \quad (19)$$

gdje je P_r snaga rezanja (kW). Iz (14) i (19) slijedi važan odnos V_s i specifične sile rezanja f_s (N/mm^2)

$$V_s f_s = 60 \cdot 10^6. \quad (20)$$

Toplinske pojave i sredstva za hlađenje i podmazivanje.

Zbog velikih plastičnih deformacija u zoni smicanja i trenja strugotine po prednjoj plohi alata i obratka te po stražnjoj plohi alata pri obradbi metala skidanjem strugotine oslobođa se toplina (sl. 28). Koliki će dio stvorene topline prijeći na strugotinu, alat ili na obradak, najviše ovisi o brzini rezanja. Zbog razvijanja topline povećava se temperatura alata, obratka i strugotine dok se ne postigne skoro stacionarno stanje. Zbog povećanja temperature materijal alata postaje mekši, pa se povećava trošenje alata i smanjuje proizvodnost. Da bi se smanjila temperatura oštice, dio se oslobođene topline može odvoditi sredstvom za hlađenje i podmazivanje. Osim hlađenja, to sredstvo donekle podmazuje dio površina koje se međusobno taru. Primjenom sredstva za hlađenje i podmazivanje može se povećati postojanost alata, smanjiti hrapavost obradene površine, smanjiti savijanje i širenje obratka, poboljšati odvod strugotine te smanjiti sile rezanja i potrošak snage.



Sl. 28. Prijelaz topline i raspored lokalnih temperatura na obratku od čelika ($\sigma_m = 850 \text{ N/mm}^2$), alatu od tvrdog metal P 20 i strugotini debljine $h = 0,32 \text{ mm}$ pri brzini rezanja $v = 60 \text{ m/min}$ i prednjem kutu $\gamma = 10^\circ$

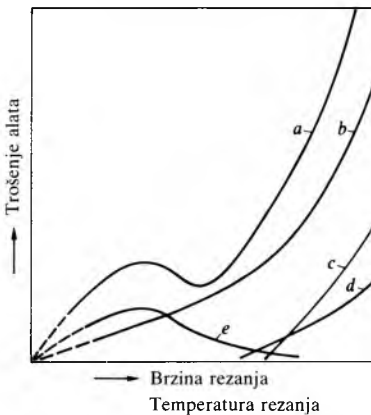
Primjenom sredstva za hlađenje i podmazivanje mogu nastati štetne popratne pojave: pojave otrovnih para, smrada, dima ili bakterija u rashladnom sredstvu. Ako rashladna sredstva imaju velik postotak slobodnog sumpora, posjećuju se korozija bakrenih legura, a može se uzrokovati i korozija željeznih legura.

Redovno se za manje brzine rezanja ($30\cdots70 \text{ m/min}$) upotrebljavaju ulja otporna na vrlo velike specifične tlakove, a za brzine rezanja veće od 70 m/min emulzije (voda i ulje) ili voda s inhibitorima korozije (v. Podmazivanje i maziva, TE 10, str. 443).

Trošenje alata nastaje kad strugotina i obradak stružu po alatu, a očituje se u odvajanju materijala alata. Temperatura na dodirnim površinama može iznositi $\sim 1000^\circ\text{C}$, sila rezanja može biti $15\,000 \text{ N}$ i veća, površina na koju djeluje ta sila je malena, pa je tlak vrlo velik, a površine taru jedna po drugoj skoro u uvjetima suhog trenja. Izgleda da se mogu teško naći nepovoljniji uvjeti. O trošenju alata neposredno ovisi proizvodnost postupaka obradbe metala. Naime, ako se želi povećati proizvodnost, treba povećati brzinu rezanja, posmak i dubinu rezanja, zbog čega će se alat brže trošiti. Budući da se proizvodnja prekida za vrijeme zamjene alata, može se dogoditi da trajanje zamjene alata bude duže od obradbe.

Najvažnije su vrste trošenja alata: adhezijsko trošenje, abrazivno trošenje i mikroplastična deformacija, difuzijsko trošenje, trošenje zbog oksidacije i elektrokemijsko trošenje (sl. 29). Kakvo će trošenje nastati, odnosno koje će biti dominantnije, ovisi najviše o brzini rezanja, odnosno o temperaturi oštice. Tako, npr., pri obradbi čelika dijamant-

nim alatom na temperaturi oštice većoj od 600°C troši se dijamant zbog difuzijskog prijelaza ugljika s alata na strugotinu i na obradak. Trošenje alata određuje se pokusima.

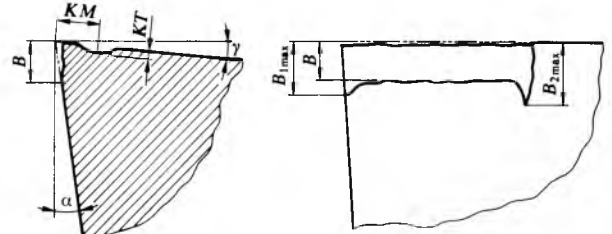


Sl. 29. Vrste trošenja alata. a) ukupno trošenje, b) abrazivno trošenje i trošenje zbog plastične deformacije, c) difuzno trošenje, d) oksidacijsko trošenje, e) trošenje zbog skidanja privarenih čestica

Alat se troši na prednjoj i na stražnjoj plohi. Trošenje alata definira se srednjom vrijednošću širine pojasa trošenja B na stražnjoj plohi alata, ne uzimajući u obzir izrazito maksimalne vrijednosti (sl. 30). Prednja se ploha troši u obliku kratera i najčešće nastaje pri većim brzinama rezanja. Ako je trošenje prednje plohe veće od trošenja stražnje, trošenje je alata definirano dubinom kratera KT ili omjerom KT/KM (sl. 30). Trošenje alata B ovisi o brzini rezanja v , posmaku s i dubini rezanja a te o trajanju obradbe t , a određuje se pomoću izraza

$$B = K_1 v^{k_{v1}} s^{k_{s1}} a^{k_{a1}} t^{k_t}, \quad (21)$$

gdje je K_1 konstanta, dok eksponenti k_{v1} , k_{s1} , k_{a1} i k_t ovisi o karakteristikama obratka, alata i alatnog stroja, a određuju se regresijskom analizom rezultata pokusa.



Sl. 30. Karakteristični parametri trošenja alata. B srednja širina trošenja na stražnjoj plohi alata, B_{max} maksimalno trošenje alata, KT dubina kratera na prednjoj plohi alata, KM udaljenost središta kratera od početne oštice, α stražnji kut, γ prednji kut

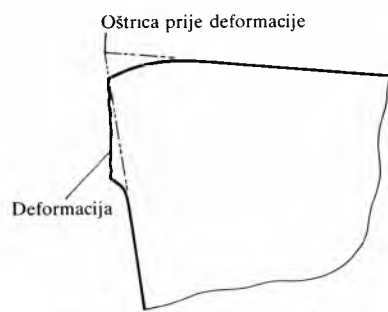
Istrošenost alata određuje se kriterijem istrošenja što ga određuje širina pojasa trošenja B . Za tokarenje i glodanje kriteriji istrošenja jesu: $B = 0,8\cdots1,2 \text{ mm}$ za grubu obradbu alatom od brzoreznog čelika i od tvrdog metal, $B = 0,2\cdots0,4 \text{ mm}$ za završnu obradbu alatom od brzoreznog čelika i od tvrdog metal, $B = 0,4\cdots0,5 \text{ mm}$ za grubu obradbu alatom od rezne keramike, $B = 0,2\cdots0,3 \text{ mm}$ za završnu obradbu alatom od rezne keramike, $KT/KM = 0,4$ za obradbu tvrdim metalom.

Pri obradbi alatom od brzoreznog čelika može se primijeniti kriterij potpunog istrošenja, tj. kad alat više ne skida strugotinu. Taj kriterij istrošenja alata nije poželjan, jer su troškovi oštrenja alata veliki i jer se pri oštrenju najčešće rekristalizira materijal oštice zbog prevelike dubine brušenja.

Širina trošenja $B = 0,8 \text{ mm}$ upotrebljava se za grubu obradbu alatima od tvrdog metal i od brzoreznog čelika koji se oštire, dok je širina trošenja $B = 1,2 \text{ mm}$ podesnija za alate s mehanički pričvršćenom pločicom, tj. za alate koji se ne oštire. Međutim, mogu poslužiti i drugi kriteriji istrošenja,

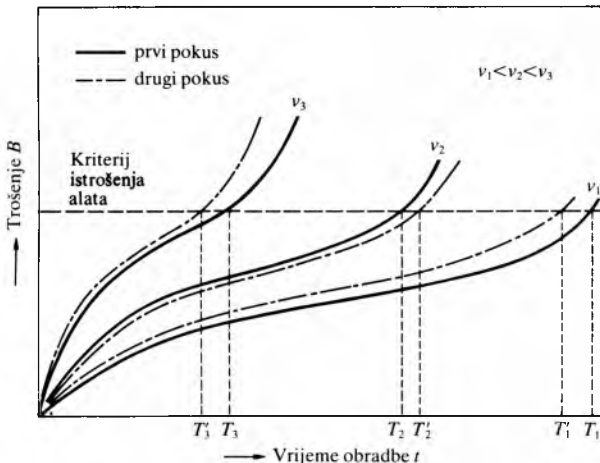
npr. dopuštena hrapavost obrađene površine ili dopuštena netočnost obradbe.

Deformacija oštice trajna je promjena oblika oštice zbog popuštanja materijala alata (sl. 31) uzrokovana glavnom silom rezanja i visokom temperaturom. Deformacija oštice bit će češća kad se obrađuje metal veće čvrstoće. Budući da nije poželjno obrađivati s deformiranim oštricom, ta pojava može poslužiti kao kriterij maksimalnog iskorištenja alata. Naime, režimi obradbe (brzina rezanja, posmak i dubina rezanja) mogu se odrediti primjenom kriterija maksimalnog iskorištenja alata tako da se posmak smanjuje sve dok ne nestane deformacija oštice, a da se zadrži brzina rezanja i dubina rezanja uz koje se pojavila deformacija oštice.



Sl. 31. Deformacija oštice alata

Postojanost alata stvarno je vrijeme obradbe do postizanja kriterija istrošenja alata. Ako se u vremenskim intervalima mjeri trošenje alata B , dobiva se krivulja trošenja alata (sl. 32). Povećanjem brzine rezanja uz nepromijenjeni posmak i dubinu rezanja dobivaju se strmije krivulje trošenja. Primjenom kriterija istrošenja alata dobiva se podatak o postojanosti alata T_1 , T_2 i T_3 na sl. 32.



Sl. 32. Krivulja trošenja alata pri konstantnom posmaku s i konstantnoj dubini rezanja a , v brzina rezanja, T postojanost alata

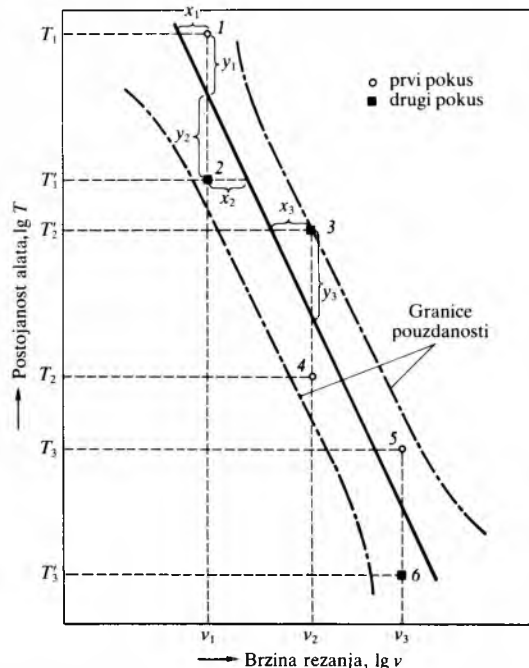
Ponove li se takvi pokusi u potpuno istim uvjetima, dobit će se druge krivulje trošenja i druge postojanosti alata. Kad bi se više puta ponovili pokusi u potpuno istim uvjetima, dobio bi se rasipanje postojanosti alata oko neke očekivane vrijednosti.

Taylorova jednadžba postojanosti alata predstavlja ovisnost postojanosti alata T o brzini rezanja v (sl. 33), a može se dobiti regresijskom analizom na temelju krivulja trošenja (sl. 32.) Budući da nekoj brzini rezanja pripada više postojanosti alata, radi se o stohastičkoj ovisnosti koja se određuje regresijskom analizom, pomoću koje se dobiva izraz

$$T = Kv^k \text{ ili } vT^m = C, \quad (22)$$

gdje je T postojanost alata, v brzina rezanja, K i C su konstante, dok je $m = -1/k_v$ Taylorov eksponent. Ako se područje brzina rezanja proteže od malih pa do velikih brzina,

u dijagramu s dvostrukim logaritamskim mjerilom dobiva se krivulja blago zakrivljena prema ishodištu. Ako se, međutim, promatra malo područje brzina rezanja, dobiva se pravac u spomenutom dijagramu.



Sl. 33. Grafički prikaz Taylorove jednadžbe postojanosti alata (evropski postupak)

Budući da se radi o stohastičkoj zavisnosti, mogu se odrediti granice pouzdanosti (sl. 33).

Nije svejedno da li se regresijskom analizom određuje ovisnost postojanosti alata o brzini rezanja ili ovisnost brzine rezanja o postojanosti alata. Ako se na temelju istih rezultata pokusa dobivenih tokarenjem čelika alatom od brzoreznog čelika odredi ovisnost T o v (evropski postupak), dobiva se $vT^{0.108} = 26.4$, dok se za ovisnost v o T (američki postupak) dobiva $vT^{0.077} = 24.9$. Iako su dobivene iz istih rezultata pokusa, razlika je Taylorova eksponenta vrlo velika. Da bi se to izbjeglo, predloženo je (E. Kuljanić) da se primjenjuje samo evropski postupak, jer ta ovisnost ima fizikalni smisao, što je prihvatile Međunarodna organizacija za standardizaciju ISO (International Organization for Standardization).

Za približne vrijednosti $n = 1/m$, za različite postupke obradbe skidanjem strugotine, v , Alati, TE 1, str. 80. Međutim, Taylorov eksponent m može biti različit za alate od istog materijala različitih proizvođača. Također, struktura materijala obratka može mnogo utjecati na vrijednost eksponenta m , iako su svi ostali uvjeti obradbe nepromijenjeni, pa čak i tvrdoča materijala obratka. Kriterij istrošenja alata utječe na konstantu C ili K u izrazima (22).

Proširena Taylorova jednadžba postojanosti alata osim utjecaja brzine rezanja v na postojanost alata uzima u obzir i utjecaje posmaka s i dubine rezanja a , pa glasi

$$T = Kv^k s^x a^y, \quad (23)$$

odnosno

$$v = \frac{C}{T^m s^x a^y}, \quad (24)$$

gdje su K i C konstante, a k_v , k_s , k_a , m , x i y eksponenti. Jednadžbe (23) i (24) mogu se dobiti iz jednadžbe (21) ako se uvrsti kriterij istrošenja B . Konstante i eksponenti u izrazima (23) i (24) određuju se nizom pokusa.

Nova jednadžba postojanosti alata. Može se dokazati da nezavisne varijable v , s i a u izrazu (23) nisu potpuno nezavisne, već da mogu postojati interakcije između pojedinih varijabli, što se uzima u obzir novom jednadžbom postojanosti

alata, koja npr. za glodanje nerđajućeg čelika alatom od tvrdog metala (prema E. Kuljaniću) glasi

$$T = C' v^{k_v} s_z^{k_z} z^{k_z} S^{k_S} (vz)^{k_{vs}} (vS)^{k_{zs}} (zS)^{k_{zs}} (vzS)^{k_{vzs}}, \quad (25)$$

gdje je C' konstanta, v brzina rezanja, s_z posmak po zubu, z broj zubi glodala ili glodaće glave, a S krutost obradnog sustava. Sređivanjem izraza (25) dobiva se

$$T = Cv^{k_v} s_z^{k_z} z^{k_z} S^{k_S}, \quad (26)$$

gdje je

$$k_v = k'_v + k'_{vz} + k'_{vs} + k'_{zs} + k'_{vzs}, \quad (27)$$

$$k_s = k'_s + k'_{vzs}, \quad (28)$$

$$k_z = k'_z + k'_{vz} + k'_{zs} + k'_{vzs}, \quad (29)$$

$$k_S = k'_S + k'_{vs} + k'_{zs} + k'_{vzs} + k'_{vzs}. \quad (30)$$

Nova jednadžba postojanosti alata pokazuje složenost fenomena trošenja alata, odnosno određivanja postojanosti alata. Ona, osim toga, tumači zbog čega se u literaturi vrijednosti Taylorova eksponenta $m = -1/k_v$, znatno razlikuju. Nova jednadžba postojanosti alata može se primijeniti za optimizaciju obradnog sustava, za utvrđivanje činilaca i njihovih interakcija koje utječu na postojanost alata, odnosno može se dobiti bolja fizikalna predodžba o trošenju i postojanosti alata nego primjenom Taylorovih jednadžbi.

Ovisnost postojanosti alata T o brzini rezanja v i posmaku s za šire područje brzina rezanja određena je König-Depierouxovom jednadžbom

$$T = \exp\left(-\frac{i_v}{m} v^m - \frac{i_s}{n} s^n - c\right), \quad (31)$$

gdje su i_v , i_s , m , n i c konstante koje za određeni oblik alata ovise o materijalima obratka i alata.

Primjena jednadžbi postojanosti alata. Za uspješnu eksploataciju obradnih sustava, koji su numerički (NC, Numerical Control) ili adaptivno upravljeni (AC, Adaptive Control), potrebne su za strojno programiranje jednadžbe postojanosti alata, jer su za tu svrhu nepodesnije tablice s podacima o

ovisnosti postojanosti alata o utjecajnim činiocima. Takoder su te jednadžbe potrebne za identifikaciju obradnog sustava koja je potrebna za optimalizaciju procesa obradbe, a najpozdanije su ako se odrede za stvarne uvjete. Za pojedinačnu i maloserijsku proizvodnju mogu se upotrijebiti jednadžbe postojanosti alata iz literature.

Hrapavost i integritet obradene površine. Često nije dovoljno da se obradbom metala skidanjem strugotine postigne zadani oblik obratka, već treba postići i traženu hrapavost obrađene površine. Hrapavost treba uzeti u obzir pri izboru postupka i režima obradbe. Za programiranje numerički upravljenih alatnih strojeva, odnosno obradnih sustava, takoder su podesnije jednadžbe od podataka u dijagramima i tablicama. Npr. prema M. H. Baueru totalna teorijska hrapavost pri tokarenju posmakom $s > 0,1$ mm po okretaju iznosi

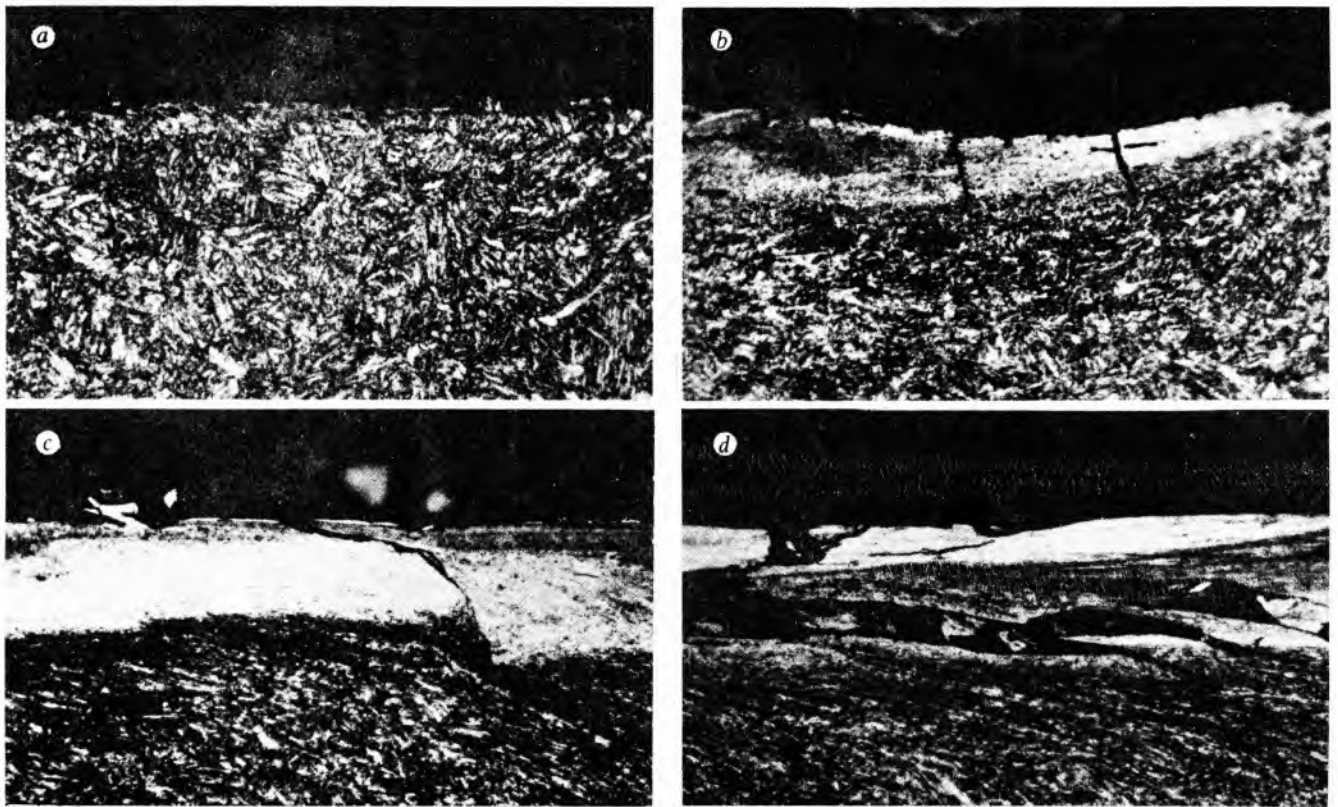
$$R_{tt} = \frac{s^2}{8r}, \quad (32)$$

gdje je r (mm) polumjer zaobljenja vrha noža. Međutim, ima empirijskih izraza za određivanje hrapavosti koji su obično pouzdaniji od teorijskih. Npr. prema E. Kuljaniću prosječno odstupanje profila R_a (μm) pri tokarenju mjedi alatom od tvrdog metala u području $v = 100 \dots 400$ m/min, $s = 0,04 \dots 0,315$ mm po okretaju i $a = 0,2 \dots 2,0$ mm iznosi

$$R_a = \frac{1,533s^{0,444}}{r^{0,655}}. \quad (33)$$

Pojedinim postupcima obradbe mogu se postići različite hrapavosti površine (tabl. 2), a JUS Z.Al.025-1964. i M.Al.065-1977. daju odnos hrapavosti i reda tolerancije.

Integritet obrađene površine širi je pojam koji se odnosi na površinski sloj obratka. Toplina, plastične deformacije i kemijske reakcije koje nastaju za vrijeme obradbe metala odvajanjem čestica uzrokuju promjene u površinskom sloju, npr. rekristalizaciju, plastičnu deformaciju, zareze (npr. zlogljeku), promjenu tvrdoće, sitne i veće pukotine, zaostala naprezanja i dr. Osim navedenih pojava u površinskom sloju,



Sl. 34. Površinski sloj prvoravnjene površine dobivenog bušenjem svrdlom od brzoreznog čelika. Obrada oštrom alatom: a u površinskom sloju nema promjena. Obrada istrošenim alatom: b plastična deformacija i velike napukline površine, c martenzitna struktura površine (62 HRc) i napukline, d površina s izrazitim slojevima i ljuskama

Tablica 2
OVISNOST POVRŠINSKE HRAPAVOSTI O POSTUPKU OBRADBE
(JUS M. A1.026-1965 i M.A0.065-1977)

Postupak obradbe	R_a 0,012 μm	Razred hrapavosti N												R_a μm		
		1	2	3	4	5	6	7	8	9	10	11	12	100	200	400
Ručna obradba grubo turpijanje fino turpijanje						x	x	x	x	x	x	x	x	x	x	x
Lijevanje u pjesak u kokilu u školjku						x	x	x	x	x	x	x	x	x	x	x
Kovanje toplo, slobodno toplo u ukovnju hladno u ukovnju						x	x	x	x	x	x	x	x	x	x	x
Valjanje toplo hladno				x	x	x	x	x	x	x	x	x	x	x	x	x
Pjeskanje									x	x	x	x	x	x	x	x
Tokarenje grubo fino				x	x	x	x	x	x	x	x	x	x	x	x	x
Blanjanje grubo fino						x	x	x	x	x	x	x	x	x	x	x
Glodanje grubo fino				x	x	x	x	x	x	x	x	x	x	x	x	x
Bušenje svrdlom								x	x	x	x	x	x	x	x	x
Razvrtavanje			x	x	x	x	x	x	x	x	x	x	x	x	x	x
Brušenje grubo fino			x	x	x	x	x	x	x	x	x	x	x	x	x	x
Poliranje mehaničko električno		x	x	x	x	x	x	x	x	x	x	x	x	x	x	x
Honovanje, lepovanje		x	x	x	x	x	x	x	x	x	x	x	x	x	x	x
Superfiniš	x	x	x	x	x	x	x	x	x	x	x	x	x	x	x	x
Obrada navoja rezanje brušenje				x	x	x	x	x	x	x	x	x	x	x	x	x
Obrada zubaca dubljenje glodanje brušenje				x	x	x	x	x	x	x	x	x	x	x	x	x

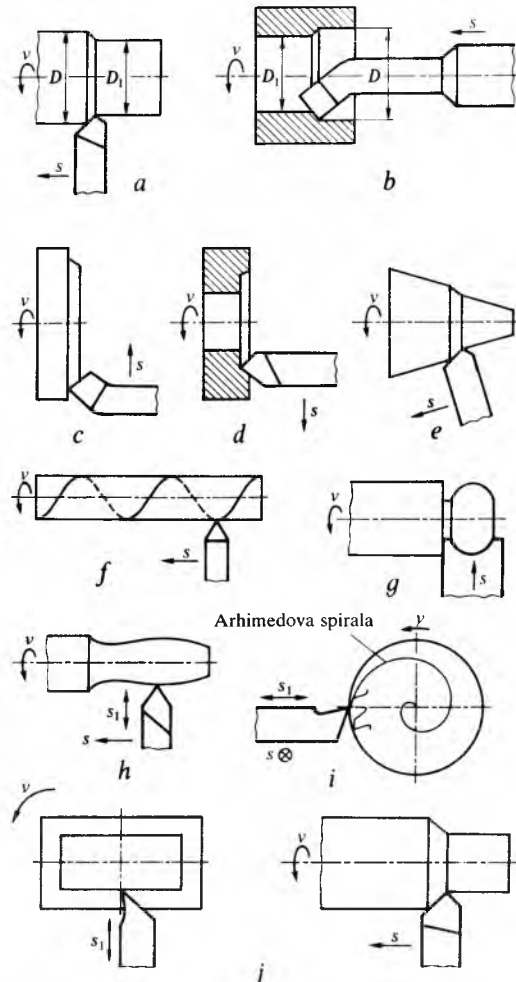
proučavanje integriteta obrađene površine obuhvaća i postupke da se te pojave izbjegnu, te utjecaje tih pojava na eksploatacijska svojstva obrađenog dijela, tj. na njihovu trajnost i pouzdanost. Istrošeni alat, npr., može pogoršati integritet obrađene površine (sl. 34).

Općenito, da bi se dobio bolji integritet obrađene površine, treba obradivati s blažim režimima obradbe, npr. treba primijeniti mali posmak, malu brzinu rezanja i relativno oštar alat. Očito je da se tako smanjuje proizvodnost i povećavaju troškovi obradbe, pa se integritet obrađene površine poboljšava samo gdje je to potrebno.

Tokarenje

Tokarenje je postupak kojim se skidanjem strugotine dobivaju valjkaste plohe (uzdužno tokarenje) i ravne plohe (poprečno ili plansko tokarenje). Glavno gibanje obavlja obradak, a pomoćno posmično alat (sl. 6). Karakteristike su tokarenja konstantan presjek neodrezane strugotine i kontinuiran rez. Tokarenje može biti vanjsko ili unutrašnje (sl.

35). Za profilno kopirno tokarenje (sl. 35h) primjenjuje se kombinacija uzdužnog i poprečnog posmaka. Smjer i vrijednost poprečnog posmaka ovise o uzdužnom položaju tokarskog noža s obzirom na obradak. Pri neokruglogom tokarenju (sl. 35i, j) smjer i vrijednost poprečnog posmaka ovise o položaju alata s obzirom na položaj obratka u kružnom gibanju obratka, npr. natražno tokarenje. Kopirno tokarenje nekog kipa kombinacija je kopirnog (sl. 35h) i neokruglogom tokarenja (sl. 35i, j).



Sl. 35. Vrste tokarenja. a) uzdužno vanjsko, b) uzdužno unutarnje, c i d) poprečno (ravno), e) tokarenje konusa, f) tokarenje navoja, g) tokarenje profilnim fazonskim alatom, h) kopirno tokarenje, i) natražno tokarenje profilnog glodala, j) tokarenje pravokutnog presjeka

Režim obradbe određen je brzinom rezanja v , posmakom s i dubinom rezanja a , o kojima najviše ovise proizvodnost postupka.

Brzina rezanja obodna je brzina (m/min). Pri uzdužnom tokarenju ona iznosi

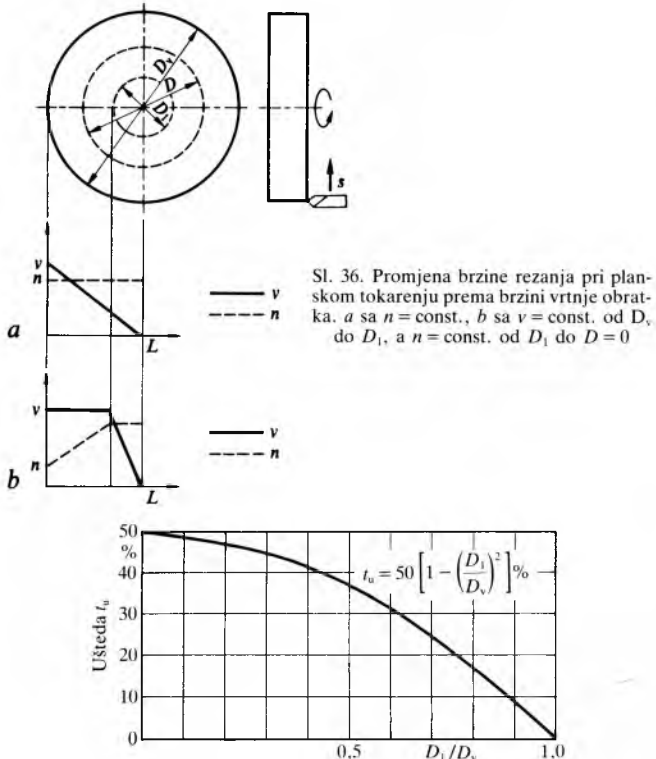
$$v = \frac{D\pi n}{1000}, \quad (34)$$

gdje je D promjer obratka (mm), a n brzina vrtnje (min^{-1}).

Kad se poprečno tokari s konstantnom brzinom vrtnje obratka, brzina se rezanja mijenja kako se mijenja i promjer dijela koji se obrađuje (sl. 36), pa za računanje srednje brzine rezanja i za određivanje postojanosti alata treba uzeti da je $D = 0,6D_v$, gdje je D_v vanjski promjer obratka. Promjer D dijeli obrađenu površinu na približno dva jednaka dijela. Srednja brzina rezanja iznosi

$$v = \frac{0,7 D_v \pi n}{1000}. \quad (35)$$

Budući da numerički upravljalice mogu kontinuirano mijenjati brzinu vrtanje, tada se poprečno tokari s konstantnom brzinom rezanja. Sa $v = \text{const.}$ i za omjer promjera $D_1/D_v = 0,25$ trajanje je obradbe za 46,8% kraće od poprečnog tokarenja sa $n = \text{const.}$ (sl. 37). Cijela kružna površina ne može se obraditi poprečnim tokarenjem sa $v = \text{const.}$ Tada bi, naime, brzina vrtanje obratka trebala biti beskonačno velika kad je alat u središtu obratka. Zbog toga se u blizini središta tokari s manjom brzinom rezanja (sl. 36b).



Posmak s (mm) prijeđeni je put noža za jedan okretaj obratka koji iznosi

$$s = \frac{v_f}{n}, \quad (36)$$

gdje je v_f posmična brzina (mm/min), a n brzina vrtanje (min^{-1}).

Dubina rezanja a (mm) odredena je (sl. 35a) izrazom

$$a = \frac{D - D_1}{2}, \quad (37)$$

a površina presjeka neodrezane strugotine izrazom

$$A = as = bh, \quad (38)$$

gdje je b širina i h debljina neodrezane strugotine.

Glavna sila rezanja (sl. 22) iznosi

$$F_g = Af_s K_y K_a K_i, \quad (39)$$

gdje je A površina presjeka neodrezane strugotine, f_s specifična sila rezanja prema tabl. 1, K_y faktor prednjeg kuta ($K_y = 1 - (\gamma - \gamma_0)/66,7$, gdje je $\gamma_0 = 6^\circ$ za čelik, $\gamma_0 = 2^\circ$ za sivi lijev), K_a faktor brzine rezanja (sl. 38), K_i faktor materijala alata ($K_i = 1$ za tvrdi metal, $K_i = 0,95 \dots 0,9$ za reznu keramičku), a K_i faktor istrošenja alata ($K_i = 1,3 \dots 1,5$).

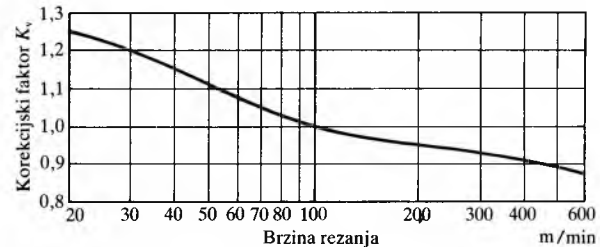
Snaga rezanja na oštrici alata određena je izrazom (14), a snaga stroja izrazom (15).

Stupanj iskoristivosti stroja η_s iznosi $0,70 \dots 0,85$.

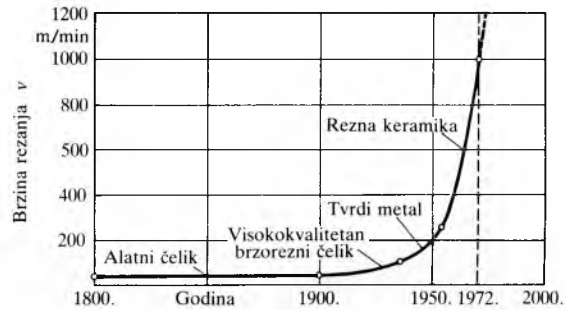
Za tokarenje služe tokarilice (v. Alatni strojevi, TE 1, str. 98).

Izbor režima obradbe, tj. određivanje brzine rezanja v , posmaka s i dubine rezanja a najodgovorniji je posao

inženjera tehnologa-programera. O režimu obradbe ovisi proizvodnost, troškovi obradbe, točnost izratka i hrapavost, odnosno integritet obrađene površine, te trajnost i pouzdanost obrađenog dijela u eksploataciji. Velike pogreške i još veće nastaju kad se za izbor režima obradbe upotrebljavaju stari podaci iz literature, jer novi i poboljšani materijali alata omogućuju mnogo oštire režime obradbe, tj. veću proizvodnost. Novi materijali alata u posljednjih sedamdesetak godina omogućili su povećanje brzine rezanja za ~ 200 puta (sl. 39). Zato treba režim obradbe izabrati prema najnovijim podacima proizvođača alata i uz primjenu metoda optimizacije.



Sl. 38. Ovisnost korecijskog faktora K_v o brzini rezanja za čelik, čelični lijev i sivi lijev ($a < 5 \text{ mm}$, $s = 0,2 \dots 1,2 \text{ mm}$, $\gamma = -5 \dots 10^\circ$, $\alpha = 60 \dots 90^\circ$)



Sl. 39. Povećanje brzine rezanja primjenom alata od novih materijala

Najčešće u literaturi postoje podaci za tokarenje brzinom v_{60} (brzina rezanja koja odgovara postojanosti alata $T = 60 \text{ min}$) i naziva se ekonomskom brzinom rezanja. Međutim, danas ekonomска postojanost alata (tj. postojanost kojoj odgovaraju najmanji troškovi obradbe) iznosi $T_e = 10 \dots 15 \text{ min}$, pa je i ekonomska brzina rezanja mnogo veća od v_{60} . Pri izboru režima obradbe mora se uzeti u obzir postojanost alata. Ako takve jednadžbe nisu raspoložive za materijale obratka i alata, treba primijeniti podloge za režim obradbe za koji brzine rezanja i posmaci odgovaraju približno ekonomskoj postojanosti T_e (tabl. 3). Najprije treba odabratи najveću moguću dubinu rezanja da bi se postigla maksimalna proizvodnost, zatim maksimalni posmak koji ovisi o traženoj hrapavosti obrađene površine (završna obradba), te brzinu rezanja uzimajući u obzir ovisnost postojanosti alata o brzini i već odabranim vrijednostima veličina a i s . Sve to, dakako, ovisi o materijalu obratka, materijalu alata, postojanosti alata i kriteriju istrošenja alata. Odabrane vrijednosti brzine rezanja i posmaka moraju biti takve da se mogu ostvariti na odabranom stroju.

Blanjanje i dubljenje

Blanjanje i dubljenje postupci su kojima se dobivaju ravne plohe. Za dugohodno blanjanje pravocrtno glavno gibanje v obavlja obradak, a pomoćno, posmično gibanje s alat (sl. 40A), dok za kratkohodno blanjanje glavno gibanje obavlja alat, a pomoćno obradak (sl. 40B). Za kratkohodno blanjanje u vertikalnoj ili kosoj ravnini alat se posmično giba. Kad se dubi, glavno gibanje obavlja alat, a pomoćno obradak (sl. 40C).

Veliki dijelovi (npr. postolja strojeva) blanjuju se na dugohodnoj blanjalicu, a manji na kratkohodnoj blanjalicu, šepingu (v. Alatni strojevi, TE 1, str. 98). Osim ravnih

POVRŠINSKA OBRADBA METALA ODVAJANJEM ČESTICA

13

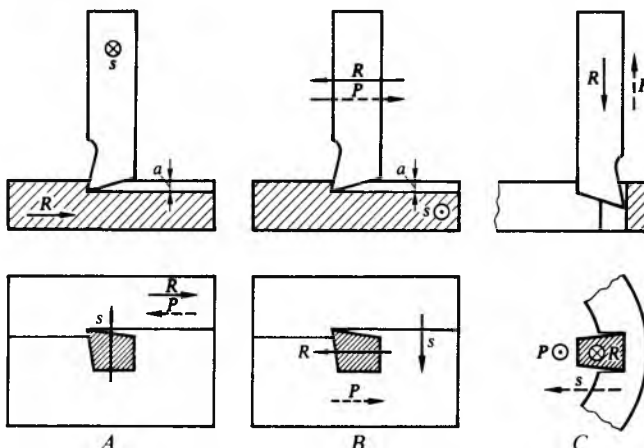
Tablica 3
SMJERNICE ZA BRZINE REZANJA KOJE ODGOVARAJU POSTOJANOSTI ALATA OKO 15 min I KRITERIJU ISTROŠENJA ALATA $B = 1,2$ mm PRI TOKARENJU OKRETNIH PLOČICAMA. ZA LEMLJENE ALATE BRZINA SE REZANJA SMANJUJE ZA 30%

Materijal obratka	Tvrdi metal (oznaka JUS i ISO)					
	P01	P10	P20	P30	P40	P50
	Posmak, mm					
	0,3...0,15...0,05	0,7...0,3...0,1	1,2...0,3...0,15	2,0...0,4...0,2	2,5...1,0...0,4	2,5...1,0...0,4
Brzina rezanja v , m/min						
Nelegirani ugljični čelik, normalno žaren C 0,15% C 0,35% C 0,70%	350...440...540 290...360...460 230...290...370	200...290...410 170...240...350 130...190...280	130...260...330 100...210...270 80...160...210	80...190...250 65...150...200 45...115...160	45...95...160 40...75...125 30...55...95	35...65...100 25...50...80 15...35...60
Legirani čelik žaren poboljšan	230...290...370 180...230...290 145...180...230 115...145...185	130...190...280 105...150...220 85...120...175 65...95...140	80...160...210 65...130...170 50...100...130 40...80...105	50...120...160 40...95...125 30...75...100 25...60...80	35...60...95 30...50...75 20...40...60 15...30...50	20...40...60 15...30...50 10...25...40 8...20...30
Nerdajući čelik, žaren feritni martenzitni austenitni		200...280	120...190...225 140...175	95...165...200 80...125...150	65...90...115 55...80...110	40...55...70 40...55...70
Čelični lijev nelegiran niskolegiran visokolegiran		160...200 115...160	80...135...160 55...95...115 90...105	55...115...145 35...75...100 30...70...90	40...60...90 25...40...60 20...35...50	25...40...60 20...30...40 15...25...35
Materijal obratka	Tvrdi metal (oznaka JUS i ISO)					
	K01	K10	K20	P20	P25	P30
	Posmak, mm					
	0,2...0,1	1,0...0,5...0,2	1,2...0,7...0,4	1,0...0,7...0,2	0,7...0,2	1,0...0,7...0,3
Brzina rezanja v , m/min						
Tvrdi čelik manganski, 12% Mn kaljeni čelik ^{1), 2)}		20...35...55 10...20...35	10...30 10...20			
Kovkasti (temper) lijev kratka strugotina duga strugotina		90...140...200 95...160...230	60...90...110	105...135...200 110...140...210	110...160 120...175	75...100...150 85...110...165
Niskolegirani sivi lijev	160...200	90...150...225	65...90...105			
Sivi lijev i legirani lijev velike čvrstoće	90...135	65...110...175	45...65...75			
Kuglastografitni lijev feritni perlitni		65...110...175 55...95...160		115...190 100...175		70...115 40...55...90
Kokilni tvrdi lijev ²⁾	6...20 4...15	12...20 10...15				
Elektrolitni bakar		250...350...475	150...210...280			
Bronca, mjedi, olovne slitine kvaliteta za automate crveni lijev fosforna bronca		350...420...500 250...300...360 150...210...275	220...280...35 160...200...240 100...130...165			
Aluminijске slitine, toplinski neobradive 30...80 HB 80...120 HB		1300...1700...2200 350...480...650	800...1000...1300 200...270...350			
Aluminijске slitine, toplinski neobradive 100 HB 130 HB		300...480...700 160...250...380	140...225...320 85...130...190			
Različiti materijali tvrda guma ebonit-vlakno tvrde umjetne mase porculan ¹⁾ mramor ¹⁾ granit ¹⁾		230...350 115...230 230...460 15...25 55...90 10...15	115...230 85...170 175...350 5...15 55...90 6...10			

¹⁾ Treba primijeniti prednji kut.

²⁾ Poželjna negativna faseta.

površina, bljanjem se mogu obraditi i kombinacije ravnih površina (žlebovi, lastin rep i sl.). Dubljenje se najčešće upotrebljava za izradbu kraćih žlebova, npr. na zamašnjicima i zupčanicima u pojedinačnoj ili maloserijskoj proizvodnji. Odvalno se dubljenje upotrebljava za izradbu ozubljenja. Stroj za dubljenje naziva se dubilica (v. Alatni strojevi, TE1, str. 106).



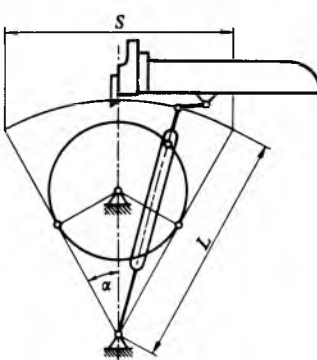
Sl. 40. Vrste bljanja i dubljenja. A dugohodno bljanje, B kratkohodno bljanje, C dubljenje; R radni hod, P povratni hod, s posmak, a dubina rezanja

Režim obradbe određen je, kao i za tokarenje, brzinom rezanja, posmakom i dubinom rezanja. Budući da se obradba ostvaruje samo u radnom hodu, dok povratni (jalovi) hod služi samo za vraćanje obratka ili alata, brzina rezanja u radnom hodu ograničena je trošenjem alata (noža), odnosno postojanošću alata. Zato je brzina povratnog hoda veća od brzine radnog hoda. Presjek neodrezane strugotine definiran je izrazom (38).

Podaci za izbor režima obradbe bljanja i dubljenja (tabl. 4) vrijede za alat od tvrdog metala za koji je povoljnija veća brzina rezanja. Konstrukcija strojeva uvjetuje male brzine. Za kratkohodno bljanje srednja radna brzina rezanja iznosi

$$\bar{v}_r = S n \frac{360^\circ}{180^\circ + 2\alpha}, \quad (40)$$

gdje je $\sin \alpha = S(2L)$ (sl. 41), a n brzina vrtnje (min^{-1}).



Sl. 41. Mehanizam kratkohodne bljalice

Glavna sila rezanja računa se prema izrazu (39). Faktor je alata $K_a = 1$, jer se zasad ne upotrebljava alat od rezne keramike. Budući da su brzine rezanja pri bljanju manje, srednji je faktor brzine rezanja $K_v = 1,18$, a faktori K_y , K_i i f_s određuju se kao i za tokarenje. Snaga rezanja i snaga stroja određeni su izrazima (14) i (15). Stupanj iskoristivosti stroja iznosi $0,6 \dots 0,8$. Za točnije računanje snage za dugohodno bljanje uzima se u obzir i sila trenja između radnog stola i vodilica. Najveća snaga rezanja, odnosno snaga stroja, dobiva se kad se uzme u obzir maksimalna brzina rezanja radnog hoda.

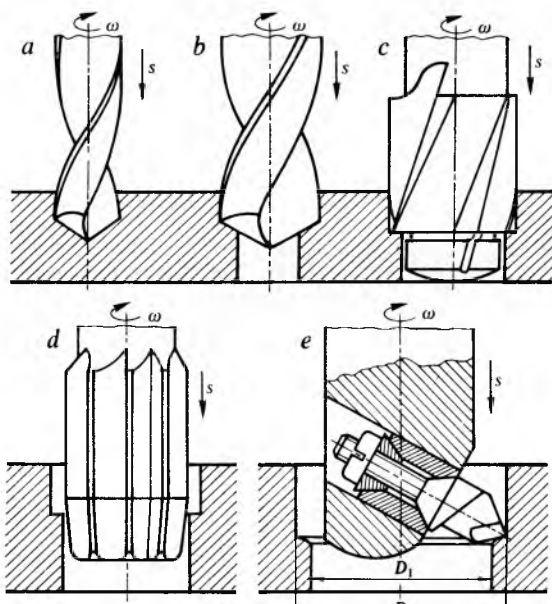
Tablica 4
SMJERNICE ZA BRZINE REZANJA I POSMACI PRI BLJANJU ALATOM OD TVRDOG METALA

Materijal obratka	Čvrstoća N/mm ²	Vrsta alata	Brzina rezanja* m/min	Posmak mm
Nelegirani konstrukcijski čelici	600	P30	50...70	0,1...2
	600...700	P30	40...70	0,1...2
	700...800	P30	25...70	0,1...2
Legirani čelici	800	P10	15...60	0,1...2
Sivi lijev		K20	25...60	0,1...4
Bakrene slitine		K20	30...70	0,1...4
Laki metali		K20	50...70	0,1...5

* Brzina rezanja je ograničena konstrukcijom stroja.

Bušenje, upuštanje, razvrtavanje i istokarivanje

Za izradbu provrta služi više različitih postupaka obradbe. Zajedničko je svim postupcima da glavno gibanje obavlja alat, dok pomoćno gibanje najčešće obavlja alat, a rijedko obradak (sl. 42), te da imaju konstantan presjek neodrezane strugotine i kontinuirani rez kao i tokarenje.



Sl. 42. Izradba provrta. a predbušenje, b proširivanje provrta, c upuštanje, d razvrtavanje, e istokarivanje (fino bušenje)

Bušenje (sl. 7) svrstava se u obično bušenje (provrt dubine do $5d$, gdje je d promjer svrdla), duboko bušenje i bušenje s izrezivanjem jezgre (najčešće bušenje većih provrta kad se želi sačuvati jezgra i pretvoriti manje materijala u strugotinu). Postoji, osim toga, bušenje vrlo malih provrta. Najmanji promjer provrta koji se može ostvariti skidanjem strugotine (kopljastim svrdlom) iznosi $2,5 \mu\text{m}$, dok nekonvencionalni postupci (npr. bušenje laserom) za sada omogućuju provrte od $\sim 0,25 \mu\text{m}$.

Za obično bušenje služi zavojno svrdlo (sl. 42a i b). Duboko bušenje manjih provrta obavlja se specijalnim zavojnim svrdlima, koja obično imaju dva provrta u obliku zavojnica u tijelu svrdla za sredstvo za hlađenje i podmazivanje. Za duboko bušenje većih provrta služe jednerezna i višerezna svrdla.

Upuštanjem se proširuje provrt, odnosno oblikuje dio već izrađenog provrta (sl. 42c). Alat za upuštanje zove se upuštalj.

Razvrtavanjem se ispravlja ili dotjeruje provrt, te se smanjuje hraptavost obrađene površine (sl. 42d). Alat za razvrtavanje zove se razvrtalo.

Alati za bušenje, upuštanje i razvrtavanje opisani su u članku *Alati*, TE 1, str. 85–88. Bušenje, upuštanje i razvrtavanje obavlja se na različitim alatnim strojevima: bušilicama, glodalicama, tokarilicama i dr. (v. *Alatni strojevi*, TE 1, str. 98).

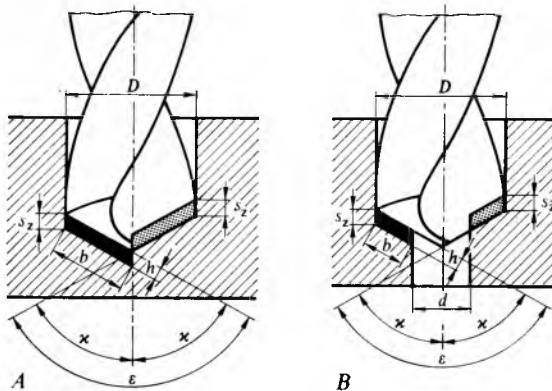
Istokarivanjem se grubo i završno obrađuju provrti, najčešće na velikim obracima, npr. kućištima, i sl. (sl. 42e). Kao alat služi bušna motka, a najčešće se obrađuje na horizontalnoj bušilici ili na glodalici (manji obraci), na bušilici-glodalici, odnosno na obradnom centru (v. *Alatni strojevi*, TE 1, str. 98).

Režim obrade obuhvaća brzinu rezanja i posmak pri bušenju, upuštanju i razvrtavanju. Brzina rezanja računa se prema jednadžbi (34), gdje je D promjer alata. Posmak s za jedan okretaj alata određuje se jednadžbom (36). Brzina rezanja pri istokarivanju računa se za promjer provrta D koji nastaje istokarivanjem (sl. 42e), a dubina rezanja određuje se prema izrazu (37).

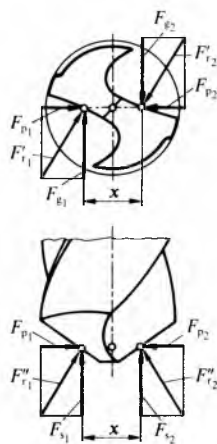
Presjek neodrezane strugotine pri bušenju i upuštanju iznosi

$$A = \frac{1}{2} s D = b h z, \quad (41)$$

gdje je z broj oštrica alata (npr. za zavojsko svrdlo $z = 2$), b širina strugotine i h debljina strugotine (sl. 43). Presjek neodrezane strugotine pri istokarivanju jednak je kao pri tokarenju.



Sl. 43. Dimenzije neodrezane strugotine pri bušenju. A) bušenje u puno, B) proširivanje provrta; s_z posmak po oštrici, h debljina strugotine, b širina strugotine, x prisloni kut, e vršni kut



Sl. 44. Sile rezanja na zavojskom svrdlu. F_{r1} i F_{r2} projekcije sile F_{t1} i F_{t2} u horizontalnoj ravni, F'_{r1} i F'_{r2} projekcije F_{t1} i F_{t2} u vertikalnoj ravni

Sile rezanja pri bušenju F_{t1} i F_{t2} na svakoj se oštrici rastavljaju na sljedeće komponente (sl. 44): glavne sile rezanja F_{g1} i F_{g2} , posmične sile F_{s1} i F_{s2} i pasivne sile F_{p1} i F_{p2} . Glavna je sila rezanja

$$F_s = F_{g1} + F_{g2} = 2F_{gz}, \quad (42)$$

a posmična

$$F_s = F_{s1} + F_{s2} = 2F_{sz}. \quad (43)$$

Tablica 5
SPECIFIČNE SILE REZANJA PRI BUŠENJU

Materijal obratka	σ_M N/mm ²	$1 - z^*$	$f_{s,1-1}$ N/mm ²	$1 - y^{**}$	$f_{t,1-1}$ N/mm ²
Č.5421	600	0,82 ± 0,04	2690 ± 230	0,55 ± 0,06	1240 ± 160
Č.4732	1080	0,86 ± 0,06	2720 ± 420	0,71 ± 0,04	2370 ± 230
Č.4145	710	0,76 ± 0,03	2780 ± 220	0,56 ± 0,07	1630 ± 300
Č.3230	650	0,85 ± 0,04	2390 ± 250	0,62 ± 0,02	1360 ± 100
Č.1731	850	0,87 ± 0,03	2200 ± 200	0,57 ± 0,03	1170 ± 100
Č.0545	560	0,82 ± 0,03	1960 ± 160	0,71 ± 0,02	1250 ± 70
Č.4320	560	0,83 ± 0,03	2020 ± 200	0,64 ± 0,03	1220 ± 120
Č.4830	610	0,80 ± 0,03	1840 ± 150	0,64 ± 0,03	1460 ± 140

* u izrazu (47b)

** u izrazu (49)

Tablica 6
PREPORUKE REŽIMA OBRADBE PRI BUŠENJU
ZAVOJNIM SVRDLOM

Materijal obratka čvrstoća (N/mm ²) ili tvrdota*	Materijal svrda*	Brzina rezanja m/min	Promjer svrda D, mm						
			2	5	8	12	16	25	40
Konstr. čelik. 500	BČ	28...40	0,04	0,11	0,16	0,22	0,26	0,30	0,45
	P20	50...75	0,03	0,06	0,10	0,12	0,15	0,18	0,22
	P30	25...35	0,03	0,10	0,14	0,18	0,22	0,28	0,40
500...700	BČ	40...60	0,02	0,04	0,08	0,10	0,12	0,15	0,18
700	BČ	20...30	0,02	0,07	0,12	0,16	0,20	0,25	0,32
Legir. čelik 900	BČ	12...25	0,015	0,06	0,10	0,14	0,18	0,22	0,28
	P30	40...55	0,01	0,03	0,04	0,06	0,08	0,10	0,12
	BČ	8...15	0,01	0,04	0,08	0,12	0,14	0,18	0,23
	P30	25...35	0,01	0,03	0,04	0,06	0,08	0,10	0,12
900...1100	P30	15...25	0,01	0,02	0,03	0,05	0,06	0,08	0,10
1100...1400	P30	10...18	0,008	0,01	0,02	0,04	0,05	0,06	0,08
1400	P30	—	—	—	—	—	—	—	—
Nerđ. čelik	BČ	7...15	0,02	0,06	0,10	0,14	0,18	0,22	0,28
	P30	20...30	—	0,03	0,05	0,08	0,10	0,12	0,15
Mn tvrdi čelik	P30	6...8	—	0,01	0,02	0,04	0,06	0,08	0,12
Sivi kovasti (temper) lijev, < 200 HB	BČ	20...35	0,08	0,16	0,25	0,30	0,35	0,45	0,50
	K20	75...90	0,04	0,08	0,10	0,14	0,18	0,22	0,30
	BČ	15...25	0,05	0,09	0,15	0,20	0,25	0,32	0,40
	K10	50...75	0,02	0,04	0,06	0,08	0,12	0,16	0,20
Kokilni lijev	K10	6...10	r.**	r.	r.	r.	0,05	0,08	0,12
Čelični lijev 450	BČ	30...40	0,05	0,12	0,20	0,25	0,30	0,35	0,40
	P30	40...60	0,02	0,06	0,08	0,10	0,12	0,16	0,20
	BČ	25...35	0,05	0,10	0,15	0,25	0,30	0,35	0,40
	P30	25...40	0,02	0,04	0,06	0,08	0,10	0,12	0,15
Bakar, bronca, cink	BČ	40...70	0,04	0,10	0,16	0,22	0,25	0,30	0,40
	K20	80...100	0,04	0,06	0,08	0,10	0,12	0,15	0,18
Mjed < 80 HB	BČ	60...120	0,07	0,16	0,25	0,32	0,40	0,48	0,60
	BČ	30...75	0,04	0,10	0,15	0,18	0,20	0,24	0,28
Al slitine meke	AČ	40...80	0,07	0,14	0,20	0,26	0,30	0,36	0,40
	BČ	120...200	0,06	0,16	0,22	0,32	0,40	0,50	0,62
	K20	200...300	0,08	0,16	0,20	0,25	0,28	0,36	0,45
	BČ	100...160	0,05	0,14	0,20	0,25	0,32	0,38	0,42
tvrdje	K20	150...250	0,03	0,06	0,10	0,14	0,16	0,20	0,24
	AČ	80...120	0,07	0,14	0,20	0,25	0,30	0,35	0,40
	BČ	100...120	0,07	0,18	0,28	0,35	0,42	0,55	0,68
Mg slitine	K20	125...250	—	0,06	0,08	0,12	0,16	0,22	0,26
Umjetne mase	BČ	30...80	0,03	0,05	0,08	0,12	0,16	0,22	0,28
	K20	120...200	0,03	0,05	0,08	0,16	0,22	0,30	0,40
Mramor Granit Staklo Porculan	K10	25...30	r.	r.	0,08	0,10	0,12	0,15	0,20
	K10	6...10	r.	r.	r.	0,03	0,06	0,10	0,15
	K10	15...30	r.	r.	0,05	0,06	0,08	0,10	0,12
	K10	10...30	r.	r.	0,03	0,04	0,06	0,08	0,10

* Materijal alata: AČ alatni čelik, BČ brzorezni čelik, P20, P30, K10 i K20 tvrdi metal.

** r. ručni posmak.

Posmak po oštrici iznosi

$$s_z = \frac{s}{2}, \quad (44)$$

Presjek je neodrezane strugotine koju skida jedna oštrica zavojnog svrdla

$$A_z = b h = \frac{s D}{4}, \quad (45)$$

gdje je $b = D/(2 \sin \alpha)$, $h = s_z \sin \alpha$ (sl. 43). Glavna je sila rezanja na jednoj oštrici

$$F_{gz} = A_z f_s. \quad (46)$$

Kad se buši u puno, glavna je sila rezanja

$$F_{gz} = \frac{D}{2 \sin \alpha} \left(\frac{s}{2} \sin \alpha \right)^{1-z} f_{s,1-1}, \quad (47a)$$

a kad se proširuje provrt

$$F_{gz} = \frac{D-d}{2 \sin \alpha} \left(\frac{s}{2} \sin \alpha \right)^{1-z} f_{s,1-1}. \quad (47b)$$

Glavna sila rezanja F_{gz} može se odrediti mjerjenjem zakretnog momenta

$$M = F_{gz} x, \quad (48)$$

gdje je x razmak između F_{s1} i F_{s2} (sl. 44), koji iznosi $x = 0,5 D$. Posmična je sila

$$F_s = D \left(\frac{s}{2} \sin \alpha \right)^{1-y} f_{s,1-1}. \quad (49)$$

Eksponenti $(1-z)$ i $(1-y)$, te specifične jedinične sile $f_{s,1-1}$ i $f_{s,1-1}$ dobiveni su pokusima (tabl. 5).

Snaga rezanja (kW) iznosi

$$P_r = \frac{M \pi n}{30000}, \quad (50)$$

gdje je M zakretni moment (Nm), a n brzina vrtnje (min^{-1}) zavojnog svrdla.

Snaga stroja određena je izrazom (15).

Volumen skinutog materijala (m^3/min) iznosi

$$V = \frac{1}{4} D^2 \pi s n. \quad (51)$$

Posmaka s u smjernicama za izbor režima obradbe zavojnim svrdlom (tabl. 6) treba pomnožiti korekcijskim faktorom dubine bušenja (tabl. 7).

Režimi obradbe za istokarivanje isti su kao i za tokarenje.

Tablica 7
MULTIPLIKATORI POSMAKA ZA RAZLIČITE
DUBINE BUŠENJA

Promjer svrda mm	Dubina bušenja		
<20	$(4\cdots 5)D^*$	$(5\cdots 8)D$	$8D$
20…32	$(3,15\cdots 4)D$	$(4\cdots 6,3)D$	$(6,3\cdots 8)D$
32…50	$(2,5\cdots 3,15)D$	$(3,15\cdots 5)D$	$(5\cdots 6,3)D$
Multiplikator	1	0,8	0,5

* D je promjer svrda (mm)

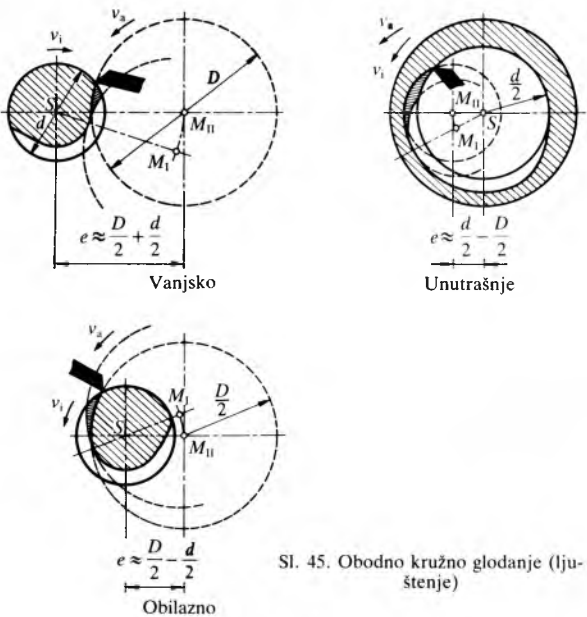
Glodanje

Glodanje je postupak kojim se dobivaju ravne i zakrivljene plohe. Glavno gibanje obavlja alat, a pomoćno najčešće obradak. Presjek neodrezane strugotine nije konstantan, a rez je prekinut. Razlikuju se sljedeće vrste glodanja: obodno glodanje: plošno protusmjerno (sl. 8) ili istosmjerno (sl. 9), kružno (ljuštenje) vanjsko, unutrašnje i obilazno (sl. 45); čeono glodanje (sl. 10); odvalno glodanje (v. poglavljje *Izradba ozubljenja*).

Obodno plošno glodanje podesno je za manje ravne i za profilirane površine, dok je obodno kružno glodanje vrlo produktivan postupak, npr. za izradbu trapeznog ili kvadratnog navoja (navojna vretena). Čeono glodanje najproduktiv-

niji je postupak obradbe većih ravnih ploha. Podesnim oblikom glodaće glave (mali kut α) mogu se postići vrlo male hrapavosti obradene površine, pa nije potrebno naknadno bušenje.

Istosmjerno glodanje ima veću srednju debljinu strugotine od debljine strugotine protusmjernog glodanja, pa je potrebna manja specifična sila rezanja za istosmjerno glodanje. Osim toga, vibracije se pojavljuju kasnije, pa je i hrapavost površine obradene istosmjernim glodanjem manja. Izgleda da bi trebalo biti obratno, jer pri protusmjernom glodanju Zub ulazi postepeno u obradak. Međutim, zbog podatljivosti protusmjernog obradnog sustava, površina obratka relativno se odmakne od osi glodala. Zato u početku Zub tare po površini bez skidanja strugotine sve dok sila F_{ns} (sl. 24) ne postane dovoljno velika. Tada Zub naglo udje dublje u obradak nego pri istosmjernom glodanju. Zbog toga i otvrđnjuje obradenu površinu (npr. pri protusmjernom glodanju nerđajućih čelika), što otežava obradbu i alat se više troši.



Sl. 45. Obodno kružno glodanje (ljuštenje)

Istosmjerno glodanje moguće je samo na glodalicama opremljenim uredajem za takvo glodanje kojim se poništava zračnost između navoja vučnog vretena i matice, ili kad ne postoji mogućnost da komponenta sile rezanja u smjeru posmaka povuče obradak ispod glodala, jer bi tada, zbog povećanja presjeka strugotine, mogli pući zubi i glodalo. Dakle, veću se proizvodnost postiže istosmjernim glodanjem. Ako je, međutim, površina obratka vrlo tvrda (npr. glodanje lijevanog željeza s tvrdom korom) prikladnije je protusmjerno glodanje.

Alati za glodanje su glodala i glodaće glave s mehanički pričvršćenim pločicama ili s umetnutim noževima (v. *Alati*, TE 1, str. 88, JUS K.D2.001…205, JUS K.D0.200…203, JUS K.D2.500…526). Oblik alata znatno utječe na postojanost glodala jer nastaju udarna opterećenja oštice alata. Oblikanjem oštice tzv. fasetom (sl. 12) postojanost glodala i glodaće glave može se višestruko povećati. Alati za glodanje i ostali alati za sustave s automatskom izmjenom alata posebno su oblikovani.

Alatni strojevi za glodanje jesu glodalice i bušilice-glodalice (v. *Alatni strojevi*, TE 1, str. 98). Međutim, glodati se može i na drugim strojevima, npr. na horizontalnoj bušilici, specijalnim alatnim strojevima i dr.

Režim obradbe glodanja određen je brzinom rezanja v , koja se računa prema izrazu (34) gdje je D promjer glodala, posmičnom brzinom v_t i dubinom rezanja a (tabl. 8). Posmična brzina (mm/min) (sl. 8, 9 i 10) iznosi

$$v_t = s_z z n, \quad (52)$$

Tablica 8
SMJERNICE ZA BRZINE REZANJA PRI GLODANJU OKRETNIM PLOČICAMA OD TVRDOG METALA.
ZA LEMLJENE PLOČICE BRZINA SE REZANJA SMANJUJE ZA 30%

Materijal obratka	Tvrdoča HB	Tvrdi metal (oznaka JUS i ISO)			
		P10	P15	P40	M40
		Posmak po zubu, mm			
		0,4...0,2...0,1	0,4...0,2...0,1	0,4...0,2...0,1	0,4...0,2...0,1
Brzina rezanja, m/min					
Nelegirani ugljični čelik C 0,15% C 0,35% C 0,70%	125 150 250	170...235...300 115...160...210 100...135...175	150...205...260 105...140...180 85...120...150	100...130...160 70...90...110 55...75...90	70...95...115 50...65...80 40...55...65
Niskolegirani čelik žaren poboljšan	125...200 200...450	115...155...190 95...120	100...135...165 60...85...105	65...85...105 40...55...65	45...60...75 30...40...45
Visokolegirani čelik žaren poboljšan	150...250 250...500	135...180 90...115	90...115...150 55...75...100	60...80...90 40...50...60	40...50...65 25...35...45
Nerdajući čelik feritni austenitni	175...225 150...200	190...245	120...165...210 95...130...165	80...105...130 65...85...100	60...75...90 45...60...75
Čelični lijev nelegiran niskolegiran visokolegiran	225 150...250 150...300	140...175 115...145	85...120...150 75...100...125 55...75...85	60...75...95 50...65...80 35...45...55	40...50...65 35...45...55 25...35...40
Brzina rezanja, m/min					
Materijal obratka	Tvrdoča HB	Tvrdi metal (oznaka JUS i ISO)			
		K10	K15	K20	
		Posmak po zubu, mm			
		0,4...0,2...0,1	0,4...0,2...0,1	0,4...0,2...0,1	
Brzina rezanja, m/min					
Vrlo tvrdi čelik ^{1), 2)}	> 50 HRc	10...15			
Kovkasti (temper) lijev kratka strugotina duga strugotina	110...145 200...250	100...125...150 125...150...175	90...115...135 100...125...150	65...80...95 50...65...80	
Sivi lijev niske čvrstoće visoke čvrstoće i legiran	150...225 200...300	90...130...170 75...100...125	85...120...155 70...90...115	70...95...120 50...70...90	
Kuglastografitni lijev feritni perlitni	125...200 200...300	90...110...125 80...100...115	70...90...115 65...85...100	50...65...80 45...60...70	
Kokilni lijev	40...60 HRc	15...25			
Aluminijiske slitine neotvrđnute otvrđnute	30...100 80...150		600...800...1000 350...500...650	600...800...1000 350...500...650	
Bronce, mjerdi	60...150		80...130...180	80...120...170	

¹⁾ Negativni prednji kut γ.²⁾ Negativna faseta.

gdje je s_z posmak po jednom zubu (mm), z broj zubi glodala, a n brzina vrtnje glodala (min^{-1}).

Pri izboru posmične brzine najprije se treba odlučiti za vrijednost posmaka po zubu, jer o njoj ovisi opterećenje zuba. O posmičnoj brzini ovisi volumen (mm^3/min) skinute strugotine

$$V = ab_0 v_f, \quad (53)$$

gdje je a dubina rezanja, a b_0 širina obradbe.

Postojanost alata ovisi o trošenju glodala, koje je slično trošenju tokarskog noža, iako su pri glodanju veća termička naprezanja. Srednje trošenje glodala ili glodače glave iznosi

$$B = \frac{B_1 + B_2 + \dots + B_z}{z}, \quad (54)$$

gdje su $B_1, B_2 \dots B_z$ srednje širine pojasa trošenja na stražnjoj površini pojedinog zuba, a z broj zubi glodala. Kriterij istrošenja glodala različit je za grubu i za završnu obradbu

Tablica 9
SREDNJA ŠIRINA POJASA TROŠENJA NA STRAŽNJOJ PLOHI KAO KRITERIJ ISTROŠENJA GLODALA

Glodalo	Kriterij istrošenja glodala B , mm	
	Gruba obradba	Završna obradba
Valjkasto, za čelik za sivi lijev	0,4...0,6 0,5...0,8	0,15...0,25 0,2...0,3
Valjkasto, čelno	0,3...0,5	0,2...0,25
Prstasto	0,15...0,2	0,1...0,15
Kolutno	0,4...0,6	0,15...0,25
Profilno, modulno odvalno	0,6...0,7 0,3...0,6*	0,2...0,3 0,2
Glođača glava	1...1,7	0,3...0,5

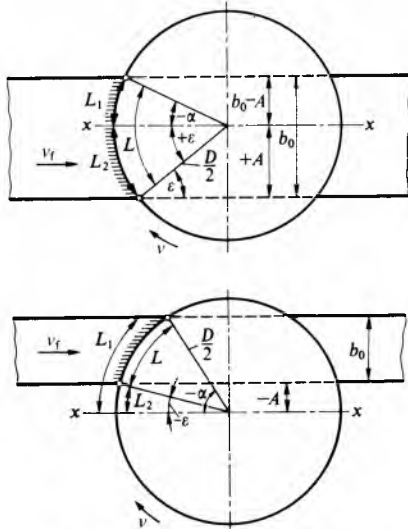
* Većim modulima odgovara veća vrijednost B zuba s najvećim istrošenjem.

(tabl. 9). Ovisnost postojanosti alata T o brzini rezanja v određena je Taylorovom jednadžbom (22), odnosno jednadž-



bama (23) i (24) u kojima je s posmak po zubu. Vrijednosti konstanti K i C , te eksponenata k_v , k_s , k_a , m , x i y mogu se naći u literaturi, ali zbog mnogo utjecajnih činilaca njihova je pouzdanost malena, pa za veće serije treba pokusima odrediti vrijednosti tih veličina.

Povećanje broja zubi glodala najviše utječe na smanjenje postojanosti alata jer se povećava dovedena energija. Zbog veće dovedene energije veća je temperatura oštice, pa je veće trošenje, odnosno manja postojanost alata. Način ulaza zuba u obradak i izlaza iz njega veoma utječe na postojanost glodala. Povoljna točka dodira postiže se prikladnim oblikom alata, npr. kombinacijom prednjeg kuta γ i kuta nagiba oštice λ , te povoljnim ulaznim kutom ε . Negativan ili mali ulazni kut ε postiže se ekscentričnim postavljanjem čeonog glodala s obzirom na obradak (sl. 46), pa se tako dobiva povoljan prvi dodir zuba s glodalom i veća postojanost alata.



Sl. 46. Ulazni kut ε pri čeonom glodanju

Promjer glodala pri čeonom glodanju odabire se tako da su zadovoljeni sljedeći omjeri širine glodanja b_0 i promjera glodanja D : $\frac{b_0}{D} = 0,5 \dots 0,6$ za obradbu čelika i čeličnog lijeva i $\frac{b_0}{D} = 0,6 \dots 0,7$ za obradbu sivog lijeva i laktih metala.

Glavna sila rezanja (tangencijalna sila, sl. 24) jednog od zubi iznosi

$$F_{gz} = A f_s = b h f_s, \quad (55)$$

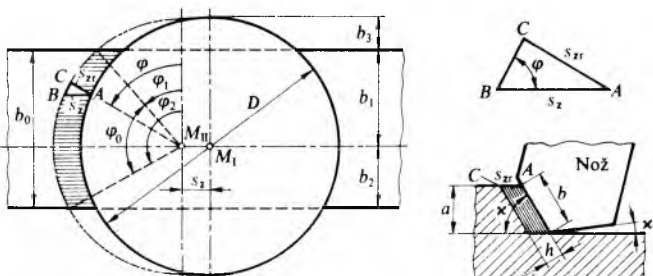
gdje je, prema sl. 47, za čeono glodanje

$$b = \frac{a}{\sin \alpha}, \quad (56a)$$

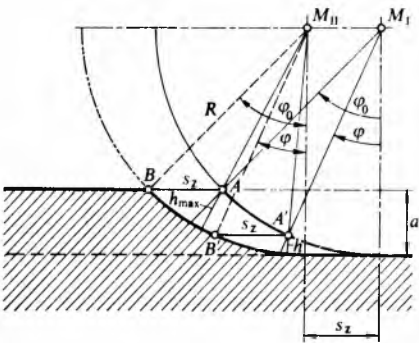
$$h = s_z \sin \varphi \sin \alpha. \quad (56b)$$

Srednja debljina (mm) neodrezane strugotine pri čeonom glodanju iznosi

$$h_{sr} = \frac{114,6}{\varphi_0} s_z \frac{b_0}{D} \sin \alpha, \quad (57)$$



Sl. 47. Dimenzije neodrezane strugotine pri čeonom glodanju



Sl. 48. Dimenzije neodrezane strugotine pri obodnom glodanju

dok je srednja debljina (mm) neodrezane strugotine pri obodnom glodanju, prema sl. 48,

$$h_{sr} = \frac{114,6}{\varphi_0} s_z \frac{a}{D}, \quad (58)$$

gdje je φ_0 zahvatni kut u stupnjevima koji iznosi prema sl. 47:

$$\varphi_0 = \varphi_2 - \varphi_1. \quad (59)$$

Kutovi φ_1 i φ_2 određeni su izrazima:

$$\cos \varphi_1 = \frac{2 b_1}{D}, \quad (60)$$

$$\cos \varphi_2 = \frac{2 b_2}{D}. \quad (61)$$

Specifična sila rezanja f_s može se odrediti iz tabl. 1, već prema srednjoj debljini neodrezane strugotine h_{sr} , ili točnije prema vrijednosti $f_{s,1 \dots 1}$.

$$f_s = \frac{f_{s,1 \dots 1}}{h_{sr}^{z_1}}. \quad (62)$$

Vrijednosti eksponenta z_1 nalaze se u tabl. 1. Također treba odrediti korekcijske faktore K_y , K_v i K_i . Faktor $K_a = 1$ ako se ne upotrebljava rezna keramika. Faktor je prednjeg kuta

$$K_y = 1 - \frac{\gamma - \gamma_0}{66,7}, \quad (63)$$

gdje je $\gamma_0 = 6^\circ$ za glodanje čelika i $\gamma_0 = 2^\circ$ za obradbu sivog lijeva. Faktor brzine rezanja K_v određuje se prema sl. 38, dok je faktor istrošenja alata $K_i = 1,2 \dots 1,3$.

Ukupna je srednja glavna sila rezanja

$$F_{gsr} = b h_{sr} f_s K_y K_v K_i z_z, \quad (64)$$

gdje je z_z zbroj zubi u zahvatu, koji je određen izrazom

$$z_z = \frac{\varphi_0 z}{360^\circ}, \quad (65)$$

gdje je z broj zubi glodala.

Snaga rezanja i snaga stroja određeni su izrazima (14) i (15).

Osnovni pristup izboru režima obrade naveden za tokarenje vrijedi i za glodanje.

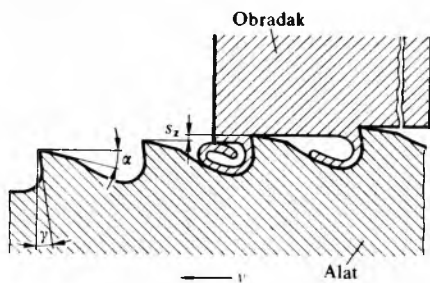
Vlačenje (provlačenje i izvlačenje)

Vlačenje je postupak skidanja strugotine pri kojemu alat ima više različitih zubi, od kojih samo dio zubi (1..5, iznimno 8) istodobno skida strugotinu. Jedino se alat giba, i to pravocrtno. Povećanjem sljedećeg zuba postiže se da on skida određenu debljinu materijala, odnosno da postoji posmak po zubu s_z (sl. 49).

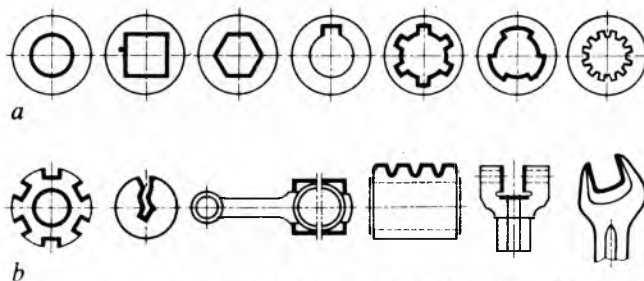
Obrada vlačenjem može biti unutrašnje provlačenje (sl. 50a) ili vanjsko izvlačenje (sl. 50b).

Alat za provlačenje jest igla za provlačenje (sl. 51) s reznim dijelovima, koji imaju zube za grubu obradbu (npr. $s_z \approx 0,08$ mm), zube za polugrubu obradbu (npr. $s_z \approx$

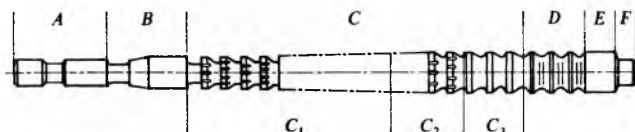
$\approx 0,01 \dots 0,02$ mm) i zube za završnu obradbu ($s_z = 0$). Posmak po zubu s_z ovisi o vrsti alata za provlačenje i o materijalu obratka. Rezni dio za završnu obradbu ima konstantan promjer da bi se zadрžala konačna dimenzija obradenog provrtka, iako se oštrenjem igle (brušenje prednje plohe) smanjuje promjer dijela igle za grubu, polugrubu i jednog dijela za završnu obradbu. Kad se oštrenjem alata smanji promjer i zadnjeg reda zubi za završnu obradbu, igla se ne može više upotrijebiti za taj promjer.



Sl. 49. Vlačenje



Sl. 50. Vrste vlačenja. a unutrašnje provlačenje, b vanjsko izvlačenje

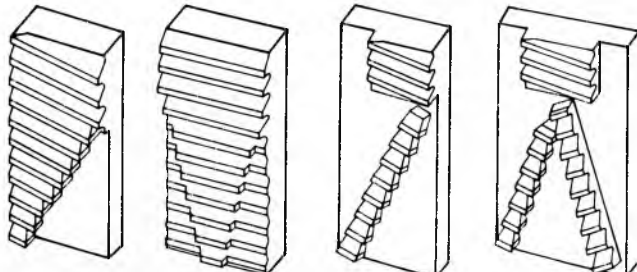
Sl. 51. Igra za provlačenje (kalibriranje). A hvatiste, B prednja vodilica, C zubi za obradbu (C₁ za grubu, C₂ za polugrubu, C₃ za završnu obradbu), D dio za zagladivanje, E stražnja vodilica, F hvatiste

Postoje različite izvedbe alata za izvlačenje (sl. 52). Više o alatu za provlačenje v. Alati, Provlačila, TE 1, str. 91. Strojevi za provlačenje su provlačilice, a za izvlačenje izvlačilice (v. Alati, Provlačilice i izvlačilice, TE 1, str. 109).

Vlačenje je postupak za grubu i završnu obradbu najčešće jednim alatom. Samo za veće dimenzije (dubine) skinutog materijala, zbog prevelike duljine igle ili rezne motke, treba upotrijebiti više alata za istu operaciju. Obično nakon vlačenja nema dodatnih završnih obradbi. Zbog vrlo skupog alata vlačenje uglavnom služi za veliku serijsku proizvodnju. Vlačenje je visoko produktivan postupak, jer obradba traje samo dok igla prođe kroz obradak, npr. desetak sekunda.

Glavna sila rezanja F_g (sl. 53) iznosi

$$F_g = b s_z f_s z_z K_y K_i, \quad (66)$$

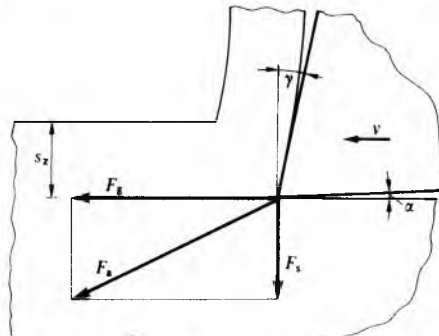


Sl. 52. Alati za izvlačenje ravnih površina (rezne motke)

gdje je b širina neodrezane strugotine koju skida zub, s_z posmak po zubu, z_z broj zubi u zahvatu, K_y faktor prednjeg kuta prema izrazu (63), $K_i = 1,3 \dots 1,35$ faktor istrošenja alata, a f_s specifična sila rezanja, $f_s = f_{s,1,1} \cdot h^{-z_z}$ (tabl. 1). Faktor brzine rezanja K_v za vlačenje nije eksplisitno određen, ali treba spomenuti da se i pri malim brzinama rezanja ($1 \dots 6$ m/min) sila smanjuje s povećanjem brzine rezanja. Ta je sponzacija vrlo važna za povećanje produktivnosti provlačenja, jer se u praksi smatra da će igla puknuti ako se poveća brzina rezanja. Posmična sila F_s (sl. 53) odnosi se prema glavnoj sili rezanja F_g približno kao 1:2.

Snaga rezanja i snaga stroja određene su izrazima (14) i (15), a stupanj je iskoristivosti stroja $0,6 \dots 0,8$.

Kriterijem istrošenja alata za vlačenje određuje se, kao i za ostale postupke, trenutak kad treba prekinuti rad radi oštrenja alata. Jedan je od kriterija da je alat za vlačenje istrošen kad srednja vrijednost maksimalne širine pojasa trošenja stražnje površine pet zubi koji se najviše troše iznosi $B_{max} = 0,2 \dots 0,4$ mm, što se određuje prema izrazu (54). Manja vrijednost B_{max} vrijedi za provlačenje, a veća vrijednost za izvlačenje. Dobro konstruiran alat za vlačenje može se oštriti $10 \dots 30$ puta. Ako se jedan od zubi izrazito više troši od ostalih, rad treba prekinuti prije nego što je postignut kriterij istrošenja. Kao indirektni kriterij istrošenja alata za vlačenje služi hraptavost obradene površine ili odstupanja dimenzija koja više ne zadovoljavaju.



Sl. 53. Sile rezanja pri vlačenju (ortogonalna obradba)

Vrlo približna postojanost alata za vlačenje izražena brojem obrađenih obradaka iznosi: 25000 obradaka za žutu mjad, aluminij i legure aluminija, 15000 obradaka za broncu i čelik s dobrom obradivošću, 6000 obradaka za legirane čelike i 800 obradaka za vatrootporne čelike.

Izbor režima obrade vlačenja razlikuje se od izbora režima obrade do sada opisanih postupaka obrade. Posmak po zubu s_z (tabl. 10) odabire se pri konstruiranju alata. Jedina je karakteristika režima obrade koja se određuje nakon izrade alata (u eksplotaciji) brzina rezanja, za koju u literaturi postoje vrlo aproksimativni podaci (tabl. 11).

Vlačenje se upotrebljava za velikoserijsku proizvodnju, pa se isplati obradivati s različitim brzinama rezanja mјereći pri

Tablica 10
POSMAK PO ZUBU ZA VLAČENJE

Materijal obratka	Posmak po zubu s_z , mm	
	Gruba obradba	Završna obradba
Čelik, poboljšan	0,02 - 0,05	0,01
Čelik, srednje tvrdoće	0,03 - 0,08	0,01
Čelični lijev	0,05 - 0,10	0,01
Kovkasti (temper) lijev	0,05 - 0,10	0,01 - (0,02)
Sivi lijev	0,10 - 0,25	(0,01) - 0,02
Mjed	0,10 - 0,30	(0,01) - 0,02
Bronca	0,10 - 0,60	(0,01) - 0,02
Zn slitine, tlačni lijev	0,10 - 0,25	0,02
Al slitine	0,08 - 0,20	0,02
Mg slitine, tlačni lijev	0,20 - 0,40	(0,02) - 0,04
Umjetne tvari	0,05 - 0,20	0,02

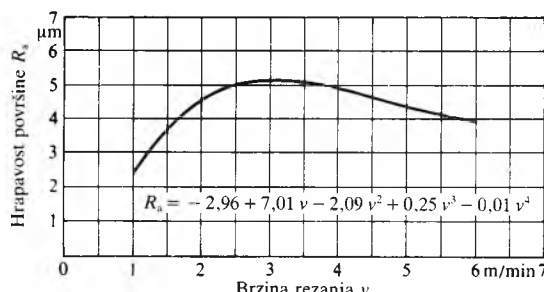
Materijal alata: brzorezni čelik.

POVRŠINSKA OBRADBA METALA ODVAJANJEM ČESTICA

Tablica 11
BRZINE REZANJA ZA VLAČENJE

Materijal obratka	Brzina rezanja v , m/min	
	Provlačenje	Izvlačenje
Tvrdi lijev	0,5…1	0,5…1,5
Čelik, vrlo tvrd	1…2	1…2
Čelik, žilav	2…4	4…6
Čelik, dobro obradljiv	4…8	6…10
Sivi lijev, dobro obradljiv	6…8	8…10
Kovkasti (temper) lijev, dobro obradljiv	4…8	8…10
Čelični lijev, dobro obradljiv	3…6	6…8
Mjed, bronca	7,5…10	8…12
Lake legure	10…14	10…16
Sivi lijev, zubi od tvrdog metala	—	35…45
Poliplast	3…6	—

Materijal alata: brzorezni čelik.



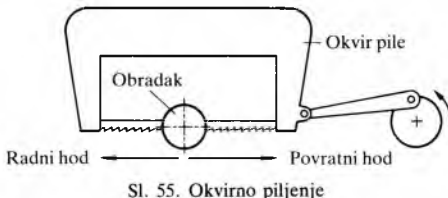
Sl. 54. Ovisnost hrapavosti obradene površine o brzini rezanja pri provlačenju

tom hrapavost obradene površine (sl. 54). Ako trošenje alata nije preveliko, uz zadovoljavajuću hrapavost obradene površine, brzinu rezanja treba povećati i iznad brzina navedenih u tabl. 11. Zbog velikog trenja i relativno male brzine rezanja upotrebljava se ulje kao sredstvo za hlađenje i podmazivanje.

Piljenje

Piljenje obično služi za rezanje šipkastog materijala, cijevi i sl. Osnovni su postupci piljenja: okvirno piljenje, tračno piljenje, kružno piljenje i abrazivno piljenje.

Okvirno piljenje najstarije je strojno piljenje koje se u principu ne razlikuje od ručnog piljenja (sl. 55). Glavno pravolinijsko gibanje i posmično gibanje izvršava alat, tj. lisna pila s okvirom (v. Alat, TE 1, str. 93). Duljina lista pile mora biti mnogo veća od promjera obratka. Od svih postupaka piljenja okvirno piljenje ima najmanji učin odrezivanja.

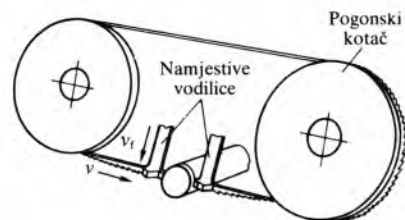


Sl. 55. Okvirno piljenje

Tračno piljenje (horizontalno i vertikalno) noviji je postupak piljenja metala. Najčešće se primjenjuje horizontalno tračno piljenje (sl. 56). Od navedenih četiriju postupaka piljenja tračno ima najmanju širinu reza, pa su otpad materijala piljenjem i potrebna snaga najmanji. Okomitost reza dobivena horizontalnim tračnim piljenjem može biti manja od 0,2 mm/100 mm. Osim velike proizvodnosti (npr. čelični trupac Č.1530 promjera $D = 125$ mm može se odrezati za manje od 30 sekunda), najmanjeg otpada materijala zbog piljenja i najmanje potrebe snage, prednost je i u tome da se tračno piljenje može lako automatizirati.

Izboru alata za tračno piljenje treba posvetiti veću pažnju nego npr. za tokarenje, jer alat (broj zubi po jedinici duljine, vrsta ozubljenja i materijal trake) ne ovisi samo o materijalu

obratka, već i o obliku presjeka obratka (puni presjek, cijev, profil i sl.), o dimenzijama presjeka odrezivanja i o broju šipaka kad se odrezuje u snopu. Ako se zanemare te činjenice, što se u praksi često dešava, lako mogu puknuti zubi ili traka.

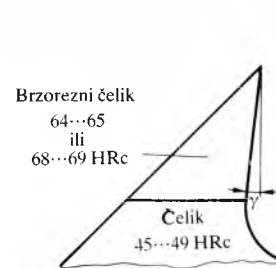


Sl. 56. Horizontalno tračno piljenje. v brzina rezanja, v_f posmična brzina

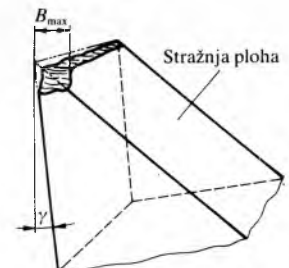
Alat je traka koja ima na stotine zubi, a izrađena je od alatnog ugljičnog čelika (v. Alati, TE 1, str. 93) ili od dva materijala, tzv. bimetalne trake. Tijelo bimetalne trake i korijen zuba izrađeni su od opružnog čelika, dok je ostali dio zuba od brzoreznog čelika (sl. 57) ili od tvrdog metala. Osim što se povećanjem tvrdoće zuba znatno povećava otpornost na trošenje, bimetalne se trake mogu oštiti. Da bi ih bilo moguće oštiti, ne smije biti prekoračen kriterij istrošenja trake prema izrazu

$$\bar{B}_{\max} = \frac{B_{\max 1} + \dots + B_{\max 5}}{5} \leq 0,2 \dots 0,3 \text{ mm}, \quad (67)$$

gdje su $B_{\max 1} \dots B_{\max 5}$ (sl. 58) istrošenosti pet najviše istrošenih zubi. Traka se odabire na temelju podataka u tabl. 12. Broj zubi po jedinici duljine odabire se tako da su istodobno u zahvatu najmanje 3 zuba.

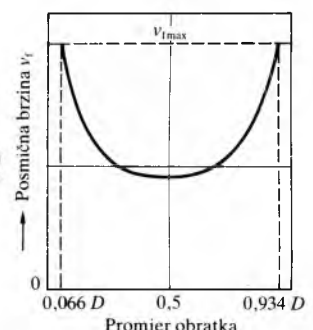


Sl. 57. Zub bimetalne trake tračne pile



Sl. 58. Trošenje zuba bimetalne trake

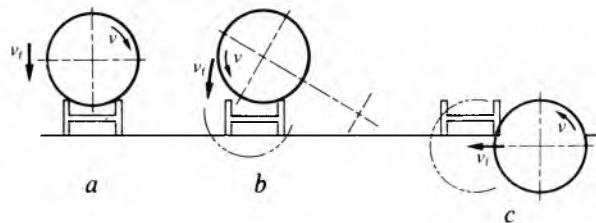
Sl. 59. Posmična brzina u posmičnom sustavu s konstantnom posmičnom silom



Režim obrade određen je brzinom rezanja, koja je jednaka brzini gibanja trake, i posmičnom brzinom, tj. brzinom spuštanja okvira pile, odnosno trake. Različitim materijalima obratka i trakama odgovaraju brzine rezanja navedene u tabl. 12. Posmična brzina ovisi o posmičnom sustavu stroja koji najčešće ima konstantnu posmičnu silu, konstantnu posmičnu brzinu ili radi gravitacijski. Sustav s konstantnom posmičnom silom daje najveće posmične brzine na početku i na kraju odrezivanja okruglog presjeka, dok je najveća posmična brzina u sredini obratka kad je najveća duljina reza (sl. 59). Posmak po zubu, za konstantnu

posmičnu silu i za odrezivanje okruglog presjeka, ovisi o brzini rezanja, broju zubi po jedinici duljine, posmičnom tlaku, duljini reza, odnosno položaju trake i promjeru obratka. Neki se od tih činilaca mijenjaju za vrijeme odrezivanja, pa zato nije jednostavno odrediti režime obradbe za horizontalno tračno piljenje. Da bi se izbjeglo preopterećenje zubi i eventualno pucanje zubi ili trake zbog nejednolike posmične brzine pri gravitacijskom odrezivanju ili s konstantnom posmičnom silom, uvedena je kao karakteristika trajanje praznog hoda. To je vrijeme potrebno da se traka i okvir spuste za 100 mm bez rezanja, a nalazi se u preporukama za različite uvjete odrezivanja (tabl. 12). Ovisnost postojanosti trake o brzini rezanja može se odrediti Taylorovom jednadžbom (22).

se i njezina debljina. Zbog toga je snaga potrebna za kružno piljenje dva do deset puta veća nego za tračno piljenje uz isti učin odrezivanja. Kružne pile manjeg promjera izrađene su od brzoreznog čelika (v. *Alati*, TE 1, str. 94), a kružne pile



Sl. 62. Načini kružnog piljenja. a vertikalno, b njihajuće, c horizontalno

Tablica 12

SMJERNICE ZA IZBOR BROJA ZUBI TRAKE, BRZINE REZANJA I VREMENA PRAZNOG HODA PRI HORIZONTALNOM TRAČNOM PILJENJU BIMETALNOM TRAKOM S BRZOREZNIM ČELIKOM (HSS) M2 I M42 PRVOMAJSKA RAŠA

Materijal obratka	Promjer obratka, mm							Brzina rezanja m/min	Vrijeme praznog hoda t_{ph} min/100 mm
	do 20	20...30	30...50	50...80	80...120	120...200	200→		
	Broj zubi trake na 25,4 mm								
Č.0360 Č.0460 Č.0545 Č.0645	14 14	10 14	8 10	6 6	4 4	3 2; 3	1 1	60...70* 60...70	2,7**
Č.1120 Č.1220 Č.4320 Č.5426	14 14 14	10 10 10	8 8 8	6 6 6	4 4 4	2; 3 3 3	1 2 2	60...70 55...65 50...60	2,7
Č.1430 Č.1530 Č.1531 Č.1730 Č.1731 Č.5434 Č.4732	14 14 14 14	10 10 14 14	8 8 8 8	6 6 6 6	4 4 4 4	3 3 3 3	2 2 2 2	60...70 55...65 50...60 50...60	2,7
Č.1190	14	10	8	6	4	3	2	70...100	2,5
Č.4150 Č.4750	14 14	14 14	8 8	6 6	4 4	3 3	2 2	25...50 20...40	5,0
Č.9780 Č.9682	14 14	10 10	8 8	6 6	4 4	3 3	2 2	25...40 20...40	6,0
Č.4270	14	14	8	6	4	3	2	20...40	6,0
Č.4580	14	10	8	6	4	3	2	20...40	6,0
CuZn90	14	10	6	4	3	2	1	55...65	2,7
P-CuSn8	14	10	6	4	3	2	1	55...70	2,7

* Veća brzina odgovara manjem promjeru.

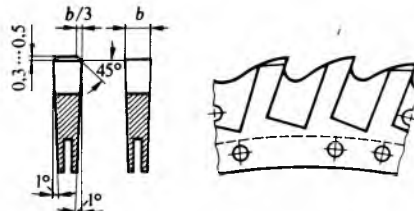
** Vrijeme potrebno da se traka i okvir spuste za 100 mm bez rezanja.

Odrezivanje u snopu podesno je za šipke ili cijevi manjeg promjera (sl. 60). Tim se postupkom znatno povećava produktivnost. Za odrezivanje pri konstantnoj posmičnoj sili omjer visine h i širine w iznosi: $h/w = 0,5 \dots 1$. Manje su vrijednosti podesne za grubu obradbu. Ako se odrežuju snopovi velikih dimenzija, zbog velikog razmaka vodilica podesniji je omjer $h/w > 1$.

Kružno piljenje glodanje je tankim glodalom, koje je zapravo kružna pila (sl. 61 i 62). Sile rezanja, snaga i širina reza, odnosno otpad materijala veći su nego za okvirno i tračno piljenje. S povećanjem promjera kružne pile povećava

većeg promjera imaju segmente od brzoreznog čelika ili tvrdog metala (sl. 63).

Alatni stroj za kružno piljenje je kružna pila (v. *Alatni strojevi*, TE 1, str. 145).

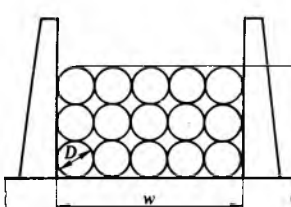


Sl. 63. Segment kružne pile

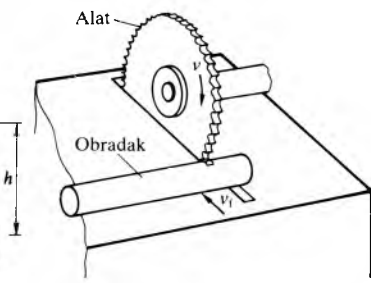
Režim obradbe određen je brzinom rezanja (tabl. 13) i posmičnom brzinom. U literaturi postoje najčešće zastarjele preporuke za brzinu rezanja kružnim pilama.

Abrazivno piljenje. Abrazivna ploča skida materijal s obratka u obliku sitne strugotine. Međutim, pri odrezivanju pomoću trenja stvara se mnogo topline, pa materijal obratka toliko omekša da se odstranjuje bez stvaranja strugotine.

Kinematika abrazivnog piljenja uglavnom je jednakima kinematici njihajućeg kružnog piljenja (sl. 62). Abrazivnim



Sl. 60. Smještaj šipki ili cijevi pri odrezivanju u snopu



Sl. 61. Kružno piljenje. v brzina rezanja, v_f posmična brzina

POVRŠINSKA OBRADBA METALA ODVAJANJEM ČESTICA

piljenjem odrezuju se šipke malog promjera i obraci velikog promjera. Strojevi za abrazivno piljenje slični su strojevima za kružno piljenje. Debljina se abrazivne ploče povećava s povećanjem promjera ploče, pa je otpad materijala velik s obzirom na tračno piljenje, a potrebna je i veća snaga odrezivanja.

Tablica 13
SMJERNICE ZA BRZINE REZanja PRI KRUŽNOM PILJENJU PILAMA OD BRZOREZNOG ČELIKA

Materijal obratka	Kružne pile m/min	Segmentne pile m/min
Čelik do 700 N/mm^2	50...80	14...28
Legirani čelik do 1000 N/mm^2	25...50	14...16
Alatni čelik	25...40	6...12
Čelični lijev	20...40	8...16
Sivi lijev	20...40	12...18
Kovkasti (temper) lijev	20...40	
Bronca, mjeđ	80...200	40...300
Lake kovine, debeli obraci	200...500	300...800
tanki obraci	250...800	
Pertinaks, debeli obraci	400...500	500...1250
tanki obraci		
Tekstolit	2 500...3 000	
Drvo	300...400	
	1 500...4 500	

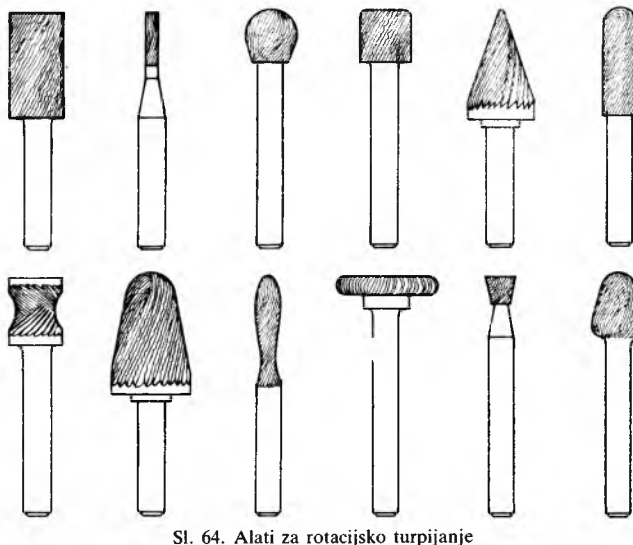
Abrazivno piljenje podesno je za odrezivanje materijala male tvrdoće ili teško obradivih materijala. Obradena površina ima vrlo malu hraptavost, a zbog primjene sredstava za hlađenje i podmazivanje ne mijenjaju se svojstva obrađenog površinskog sloja.

Turpijanje

Turpijanje se upotrebljava kad treba skinuti malo materijala s obratka. Alati za turpijanje su turpije (v. Alati, TE 1, str. 94). Turpijanje može biti ručno i strojno. Strojno je turpijanje najbrži i najtočniji način turpijanja, a skinut volumen materijala u jedinici vremena približno je devet puta veći od skinutog materijala ručnim turpijanjem. Brzina rezanja iznosi $15\cdots80 \text{ m/min}$.

Tablica 14
STUPNJEVI DOSJEDA GRECANJEM

Stupanj obrade	Obrada	Broj točaka nalijeganja na $25 \text{ mm} \times 25 \text{ mm}$	Broj prolaza	Dubina prolaza μm	Primjena
Predgre-canje	Poravnavanje Grubo grecanje	1...2 3...4	3...5 6...8	20...40 10...20	Ravne površine za stezanje i sl. Površine za stezanje vijcima Slabija kvaliteta površine
Završno grecanje	Fino grecanje Vrlo fino grecanje Najfinije grecanje	6...8 10...12 20...24	10...12 14...18 20...24	5...10 5...10 3...10	Bolja kvaliteta površine Vodilice alatnih strojeva Vrlo točne vodilice; tuširne ploče i sl.



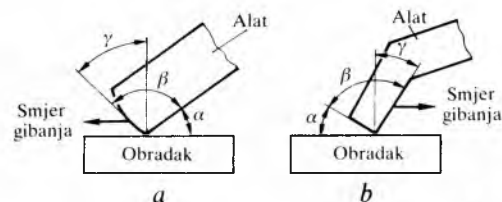
Sl. 64. Alati za rotacijsko turpijanje

Rotacijsko strojno turpijanje upotrebljava se za obradbu drva, polimernih materijala, kože, aluminijskih, čeličnih, keramičkih i za obradbu zavarenih šavova. Alati za rotacijsko turpijanje (sl. 64) izrađeni su od brzorezognog čelika, tvrdog metala ili s pločicama tvrdog metala. Rotacijsko turpijanje podesno je za izradbu alata koji služe u plastičnoj obradbi.

Grecanje

Grecanje je obradba skidanjem strugotine s negativnim prednjim kutom, a primjenjuje se za završnu obradbu, odnosno doradbu zaobljenih ili ravnih površina tvrdoće do približno 200 HB.

Grecanje može biti dosjedno za postizanje kliznog dosjeda i izgledno za postizanje površinskog izgleda. Već prema smjeru gibanja grecala, postoji potisno grecanje i povlačno grecanje (sl. 65).



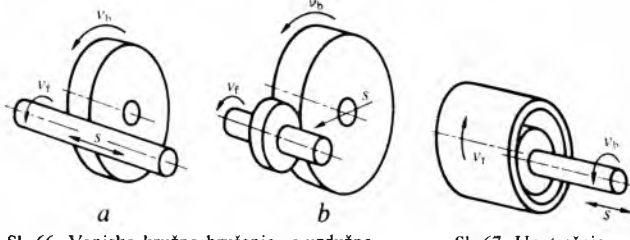
Sl. 65. Grecanje. a potisno, b povlačno; α stražnji kut, β kut klinja, γ prednji kut

Dosjednim grecanjem dobiva se bolji oblik površine, odnosno periodična valovitost površine, koja omogućuje stvaranje uljnih klinova posebno pri translatornom gibanju. Da bi se ustanovile dodirne točke između površine koja se obrađuje i praktički idealne kontrolne površine, upotrebljavaju se tuširne ploče, tuširni lineali i tuširna boja. Stupanj dosjeda postignut grecanjem određen je brojem dosjednih točaka na površini $25 \text{ mm} \times 25 \text{ mm}$, koji ovisi o namjeni izratka (tabl. 14).

Brušenje

Brušenje je postupak obradbe metala alatom koji ima mnogo oštrica neodređena oblika. Prema kinematici i obliku strugotine, koja ima promjenljiv presjek, brušenje je slično glodanju. Pri brušenju glavno je gibanje rotacija brusa, a pomoćno je pravocrtno ili kružno gibanje obratka ili alata.

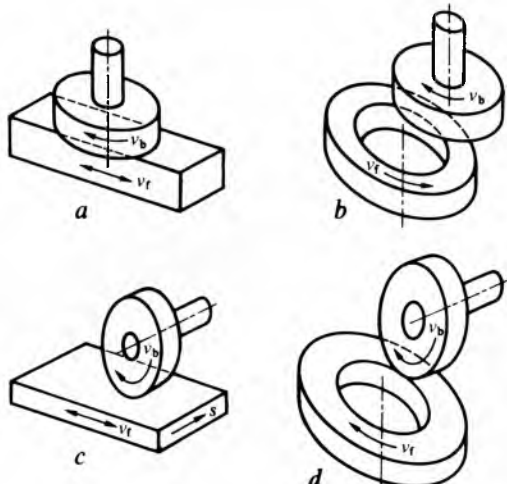
Prema obliku obratka postoji kružno brušenje, koje može biti vanjsko (sl. 66) i unutrašnje (sl. 67), te brušenje ravnih



Sl. 66. Vanjsko kružno brušenje. a uzdužno, b poprečno; v_b brzina rezanja (brušenja), v_p obodna brzina obratka, s uzdužni ili poprečni posmak

Sl. 67. Unutrašnje kružno brušenje

površina (sl. 68). Zbog malih dubina rezanja pri brušenju i zbog podatljivosti brusnog sustava, prikladnije je protu-smjerno brušenje, jer se pri istosmјernom brušenju brusna ploča može popeti na obradak i tako oštetiti obradak ili brusnu ploču. Za istodobno čeono i kružno brušenje može se primijeniti profilirana i koso postavljena brusna ploča (sl. 69). Sve više se upotrebljava brušenje bez šiljaka (centerless). Tada se obradak slobodno nalazi između brusne ploče kojom se brusi i ploče za podešavanje. Pri uzdužnom brušenju bez šiljaka, brusne ploče postavljaju se pod malim kutom (sl. 70) da bi se djelovanjem komponenata sile rezanja ostvarilo posmično gibanje obratka. Poprečnim brušenjem bez šiljaka s profilnim brusnim pločama mogu se izraditi male stepenaste osovine bez tokarenja, jer se tada istim pločama obavlja gruba i završna obradba. Budući da nema stezanja obratka, postupak se može lako automatizirati.



Sl. 68. Brušenje ravnih površina. a) čeono brušenje s pravocrtnim pomoćnim gibanjem, b) čeono brušenje s kružnim pomoćnim gibanjem, c) obodno brušenje s pravocrtnim pomoćnim gibanjem, d) obodno brušenje s kružnim pomoćnim gibanjem

Brusne ploče s mekšim vezivima upotrebljavaju se za brušenje tvrdih materijala, jer se brusna zrnca brže troše pa moraju i lakše otpadati. Brusne ploče s tvrdim vezivima upotrebljavaju se za brušenje mekših materijala. Veziva mogu biti anorgan-ska (keramička i mineralna), organska i prirodna (šelak i smole), umjetne smole (bakelite) i duromeri.

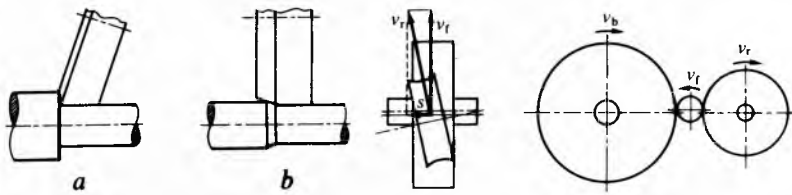
Pod tvrdoćom brusne ploče razumijeva se tvrdoća veziva, a ne tvrdoća brusnih zrnaca. Prema standardima JUS postoje sljedeće oznake za tvrdoće brusnih ploča: EFG (vrlo meka), HIJK (meka), LMNO (srednje tvrda), PRS (tvrdna), TUV (vrlo tvrdna) i XYZ (posebno tvrdna).

Krupnoća brusnih zrnaca utječe na hrapavost obrađene površine i na volumen materijala što se u jedinici vremena skine s obratka. Struktura je brusne ploče određena omjerom obujma zrnca, te obujma veziva i šupljine.

Strojevi za brušenje zovu se brusilice. Postoje ručne brusilice za vrlo grubo brušenje (skidanje srha, šava i sl.), te vrlo krute brusilice za završno brušenje (v. Alatni strojevi, TE 1, str. 146).

Režim obradbe pri brušenju određen je brzinom rezanja (brušenja), obodnom brzinom obratka ili uzdužnom posmičnom brzinom, uzdužnim ili poprečnim posmakom pri kružnom brušenju ili poprečnim posmakom pri ravnom brušenju i dubinom brušenja.

Brzina rezanja jednaka je obodnoj brzini brusne ploče $v_b = D\pi n/60000$, gdje je D promjer brusne ploče u mm, n brzina vrtnje brusne ploče u min^{-1} . Najveća brzina rezanja, zglob sigurnosti, ograničena je centrifugalnom silom, odnosno



Sl. 69. Vanjsko brušenje profiliranom brusnom pločom. a) čeono i kružno brušenje, b) kružno brušenje skošenom brusnom pločom za veće dubine rezanja

Sl. 70. Uzdužno vanjsko kružno brušenje bez šiljaka (centerless). v_b brzina rezanja, v_f obodna brzina obratka, v_r obodna brzina brusne ploče za podešavanje

Tablica 15
NAJVEĆE DOPUŠTENE BRZINE REZANJA PRI
BRUŠENJU (m/s)

Vezivo brusne ploče	Posmak	
	Ručni	Strojni
Keramičko	25	35
Mineralno	15	25
Organsko	25	35
Organsko (za odrezivanje)	45	80

Napomena: S većim brzinama rezanja može se iznimno raditi posebnim brusnim pločama i s dodatnom zaštitom.

Alat za brušenje je brus, ili brusna ploča koja se sastoji od brusnih zrnaca i veziva (v. Alati, TE 1, str. 95). Kao materijali brusnih zrnaca služe: zrnati ili praškasti dijamanti koji se najčešće nanose na ploče sivog lijeva, aluminij-oksid (prirodni korund) pomiješan sa željezo-oksidom ($\text{Al}_2\text{O}_3 + \text{Fe}_2\text{O}_3$), čisti aluminij-oksid (Al_2O_3 , umjetni korund, elektrokorund, trgovачki nazivi alundum i aloksit), silicij-karbidi (SiC , trgovачki naziv karborund) i bor-nitrid (BN, trgovачki naziv borazon). Najčešće se upotrebljava elektrokorund za brušenje čelika i žilavih materijala, a karborund za brušenje sivog lijeva, tvrdih i krvkih materijala. Ploče sa slojem dijamantnih zrnaca prikladnije su za brušenje i oštrenje tvrdih alata. Ploče sa zrcnicima bor-nitrida upotrebljavaju se za brušenje vrlo tvrdih materijala.

Brusna zrnca spajaju se vezivom. O jačini veziva ovise kad će istrošena zrnača ispasti, te kad će tako obradak biti zahvaćen novim i oštrim zrcnicama. Vezivo ne popunjava sav prostor između zrnaca, već ostaju šupljine za strugotinu i za sredstvo za hlađenje i podmazivanje koje se dovodi u zonu rezanja.

Tablica 16
SMJERNICE ZA BRZINE REZANJA PRI BRUŠENJU v_b (m/s)

Materijal obratka	Način brušenja					
	Vanjsko	Unutrašnje	Ravno	Odreživanje	Oštrenje	Čišćenje
Čelik	30..35	25	25..45	45..80	25	30..45
Alatni čelik					20..28	
Brzorezni čelik	8	8	8	45..60	16..24	
Tvrdi metal	25..30	22..25	20..28	45..80	12..22	
Sivi lijev	35	20..25	25..40	60..80		25..30
Laki metali						30

čvrstoćom brusne ploče (tabl. 15). Brzina rezanja ovisi o vrsti brušenja i materijalu obratka (tabl. 16). Obodna brzina obratka v_f (m/min) računa se prema izrazu (34), gdje je D promjer obratka u mm, n brzina vrtnje obratka u min^{-1} , a odabire se prema preporukama navedenim u tabl. 17. Posmak za kružno i ravno brušenje ovisi o željenoj hrapavosti

Tablica 17
SMJERNICE ZA OBODNU BRZINU OBRATKA v_f (m/min)
PRI KRUŽNOM BRUŠENJU

Materijal obratka	Vanjsko brušenje		Unutrašnje brušenje	
	Grubo	Fino	Grubo	Fino
Čelik, nekaljen kaljen cementiran	12..15 14..16 15..18	6..8 8..10 10..13	15..20 21..24 20..30	12..16 16..20 18..22
Sivi lijev	12..16	8..12	20..24	16..20
Bakar, bronca, mjeđ	15..21	12..16	22..35	25..32
Aluminij	50..70	30..40	35..40	32..35

Napomena: Za vrlo fino brušenje smanjuje se v_f na 1/3 do 1/4, ili se mora smanjiti zagrijavanje manjom dubinom rezanja, odnosno izdašnjim hlađenjem.

POVRŠINSKA OBRADBA METALA ODVAJANJEM ČESTICA

obrađene površine i o širini brusne ploče b (tabl. 18). Dubina brušenja ovisi o vrsti brušenja, materijalu obratka, površini dodira brusa i obratka, željenoj hrapavosti obrađene površine i čvrstoći brusnih zrnaca (tabl. 19).

Tablica 18
SMJERNICE ZA POSMAK s PRI KRUŽNOM I RAVNOM
BRUŠENJU

Vrsta brušenja	Uobičajeni posmak mm	Najveći posmak
Grubo brušenje	10…20	(0,67…0,75) b^*
Grubo brušenje sivog lijeva		do 0,8 b
Fino brušenje	1…2	(0,25…0,33) b
Najfinije brušenje	0,2…0,8	(0,1…0,2) b

* b je širina brusne ploče.

Tablica 19
SMJERNICE ZA DUBINU BRUŠENJA a (mm)

Način brušenja	Brušenje čelika		Brušenje sivog lijeva	
	Grubo	Fino	Grubo	Fino
Vanjsko kružno	0,015…0,03	0,005…0,01	0,04…0,06	0,01…0,02
Unutrašnje kružno	0,005…0,015	0,005	0,01…0,03	0,005…0,01
Ravno	0,01…0,03	0,0025…0,005	0,1…0,3	0,01…0,03

U praksi se najčešće griješi u izboru dubine brušenja. Da bi se smanjio broj prolaza i skratilo vrijeme obradbe, odabire se veća dubina brušenja, pa se drobe brusna zrnca. Tako se ne povećava efektivnost brušenja, ali može nastati štetno paljenje, odnosno promjena mehaničkih svojstava brušenog površinskog sloja.

Dubine brušenja mogu biti veće ($a = 0,05 \dots 0,2$ mm) ako je brusna ploča skošena (sl. 69b), ali tada treba smanjiti posmak. Pri poprečnom vanjskom kružnom brušenju (sl. 66 b) posmak brusne ploče za jedan okretaj obratka ovisi o promjeru obratka i o širini brusne ploče (tabl. 20).

Tablica 20
POPREČNI POSMAK BRUSNE PLOČE s (mm) PO JEDNOM OKRETAJU OBRATKA PRI ZAREZNOM VANJSKOM KRUŽNOM BRUŠENJU

Promjer obratka mm	Širina brusne ploče b , mm			
	do 50	50…100	100…150	150…200
15…20	0,004	0,003	0,002	0,002
20…50	0,005	0,004	0,004	0,003
50…100	0,007	0,007	0,006	0,005
100…150	0,009	0,009	0,008	0,007
150…200	0,010	0,010	0,010	0,009

Toplinske pojave i postojanost brusne ploče. Skoro sva energija dovedena u zonu obradbe pretvara se u toplinu. Temperatura u zoni brušenja iznosi $1100 \dots 1650$ °C. Uz uobičajene brzine brušenja temperatura na dubini 0,025 mm ispod obrađene površine iznosi ~ 430 °C, a na dubini 0,13 mm ~ 320 °C. Tolike temperature uzrokuju kemijske i druge reakcije između brusnih zrnaca i obratka. Tako ugljik iz dijamanta prelazi na čelični obradak, pa se dijamantna zrnca vrlo brzo troše. Zato se dijamantne brusne ploče ne smiju upotrijebiti za brušenje čelika. Tijekom brušenja brusna se zrna u dodiru s obratkom naglo griju, a kad taj dodir prestane, naglo se hlađe sredstvom za hlađenje i podmazivanje. Zbog tih termičkih naprezanja mogu pucati brusna zrna uz smanjenje postojanosti brusne ploče.

Približna postojanost brusne ploče T (mm) iznosi

$$T = \frac{K d_b^{0,6}}{v_f^{1,82} s^{1,82} a^{1,1}}, \quad (68)$$

gdje je d_b (mm) promjer brusne ploče, v_f (m/min) obodna brzina obratka pri kružnom brušenju ili posmična brzina pri ravnom brušenju, s (mm) posmak za jedan okretaj obratka pri kružnom brušenju ili za jedan hod pri ravnom brušenju,

a (mm) dubina brušenja, a K konstanta ovisna o materijalu obratka ($K = 2260$ za kaljeni čelik, $K = 2250$ za nekaljeni čelik i $K = 2870$ za sivi lijev).

Efektivnost brušenja G određena je izrazom

$$G = \frac{V_{ob}}{V_{br}}, \quad (69)$$

gdje je V_{ob} obrušeni volumen s obratka, a V_{br} skinuti volumen materijala s brusne ploče. Sumpor u čeliku, a posebno u alatnom i nerđajućem čeliku povećava djelotvornost brušenja. Također, djelotvornost se brušenja povećava s povećanjem brzine rezanja.

Materijali sa srednjom i velikom djelotvornošću brušenja imaju najmanju sposobnost da brušenjem postignu malu hrapavost. Materijali, međutim, s malom djelotvornosti brušenja imaju bolju sposobnost da se postigne mala hrapavost, jer se brusna zrna brže troše, pa je manja mogućnost stvaranja zareza.

Osjetljivost materijala na brušenje sklonost je materijala da se pri brušenju stvaraju napukline u površinskom sloju ili da se smanjuje tvrdoća površinskog sloja. Općenito, podesnom toplinskom obradom može se smanjiti preosjetljivost na brušenje. Za materijale kojima se ne može smanjiti osjetljivost na brušenje treba odabrati blaže režime brušenja da bi se smanjila temperatura u zoni brušenja, što očito poskupljuje brušenje.

Sile i snaga brušenja. Glavna sila rezanja F_g (N) određena je izrazom

$$F_g = K v_f^{0,7} s^{0,7} a^{0,6}, \quad (70)$$

gdje su v_f , s i a već definirane veličine, dok je K konstanta ovisna o materijalu obratka ($K = 22$ za kaljeni čelik, $K = 21$ za nekaljeni čelik i $K = 20$ za sivi lijev). Odrivna je sila $F_p = (1 \dots 3) F_g$. Snaga (kW) stroja za brušenje određena je izrazom

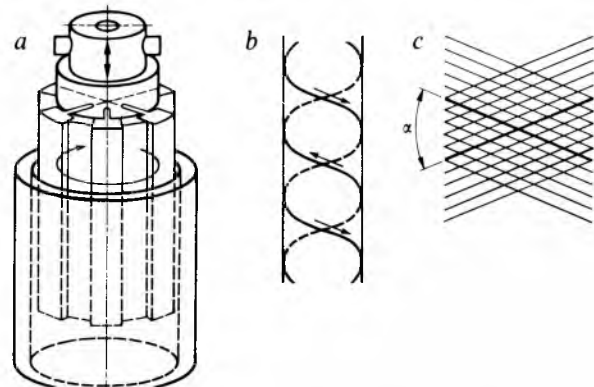
$$P_s = \frac{F_g v_b}{1000 \eta_s}, \quad (71)$$

gdje je v_b (m/s) brzina brušenja, a η_s stupanj iskoristivosti stroja ($\eta = 0,7 \dots 0,8$).

Honovanje

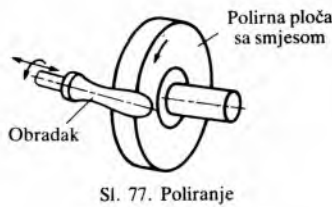
Honovanje je postupak završne obradbe, najčešće provrta (košuljice motora, ležaji, cijevi vatrengog oružja itd.) brusnim kamenima (segmentima). Glavno gibanje (rotacija i translacija) obavlja alat (sl. 71). Pri horizontalnom honovanju okreće se i obradak. Obodna brzina, tj. brzina rezanja mnogo je manja pri honovanju nego pri brušenju. Provrt koji se obrađuje vodi alat kojem vreteno ima dva kardanska zglobova. Grubljinom honovanjem postiže se hrapavost obrađene površine $R_t = 1 \dots 5 \mu\text{m}$, a završnim honovanjem $R_t = 0,1 \dots 1,5 \mu\text{m}$ i moguća točnost oblika iznosi $3 \dots 7 \mu\text{m}$. Dodatak na obratku za grubo honovanje treba biti $\sim 500 \mu\text{m}$, a za završno $\sim 50 \mu\text{m}$.

Režim obradbe treba odabrati prema preporukama proizvođača alata. Brzina rezanja pri honovanju sastavljena je



Sl. 71. Honovanje. a) princip rada, b) putanje alata, c) izgled obrađene površine

pasta za poliranje. Obodna je brzina ploča za poliranje ~ 2300 m/min. Pri poliranju na brusilicama (sl. 77) obradak se drži rukom. Veća se proizvodnost postiže upotrebom poluautomatskih strojeva za poliranje. Troškovi poliranja mogu se mnogo smanjiti dobrom prethodnom pripremom površine obratka.



Sl. 77. Poliranje

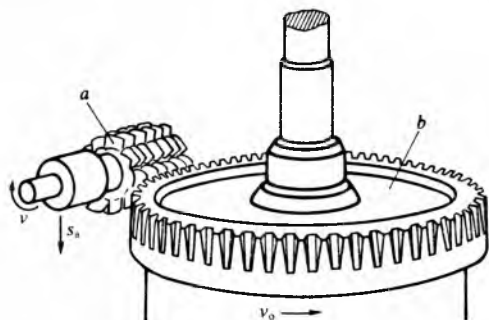
Izradba ozubljenja

Ozubljenja se mogu izrađivati, osim postupcima obradbe metalna skidanjem strugotine, i drugim postupcima: lijevanjem, plastičnom obradbom i sl. Najvažniji postupci izradbe ozubljenja skidanjem strugotine jesu odvalno glodanje i odvalno dubljenje. O ostalim postupcima za izradbu ozubljenja skidanjem strugotine v. *Alatni strojevi*, TE 1, str. 163.

Odvalno glodanje postupak je izradbe cilindričnih zupčanika s vanjskim ozubljenjem (ravni i kosi zubi), zupčanih letvi i pužnih kola. Glavno i posmično gibanje obavlja odvalno glodalo. Obradak rotira, i to tako da se za jedan okretaj jednovojnog odvalnog glodala obradak okreće za jedan zub (sl. 78). Postoje tri načina odvalnog glodanja: aksijalno odvalno glodanje (sl. 79), dijagonalno odvalno glodanje (sl. 80) kad, osim aksijalnog posmaka s_a , glodalo ima i kontinuirano tangencijalno gibanje s_t u smjeru osi glodala, i tzv. šifting, što je u biti aksijalno odvalno glodanje pri kojem se nakon jednog ili nekoliko obrađenih izradaka glodalo pomakne u aksijalnom smjeru za mali posmak p_m , npr. za 1 mm. Taj se posmak računa prema izrazu

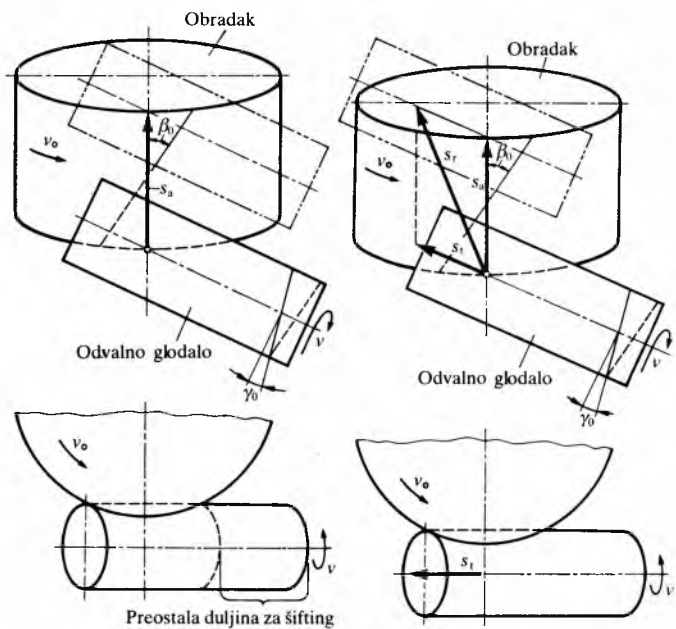
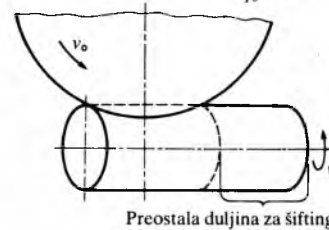
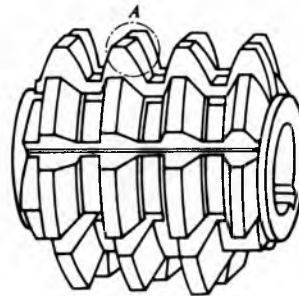
$$p_m = \frac{m_n \pi \cos \gamma_0}{i}, \quad (72)$$

gdje je m_n (mm) normalni modul, γ_0 kut uspona zavojnica glodala, a i broj utora glodala koji čine prednje površine zubi. Dijagonalnim odvalnim glodanjem i šiftingom bolje se iskorištava duljina glodala. Za te dvije vrste odvalnog glodanja moguće je upotrijebiti dulja glodala, pa se tako povećava proizvodnost jer se rjeđe mijenja alat.

Sl. 78. Odvalno glodanje zupčanika. a odvalno glodalo, b obradak, v brzina rezanja, v_0 obodna brzina obratka, s_a aksijalni posmak

Alat je odvalno glodalo kojemu su zubi raspoređeni po zavojnici (sl. 81). Prema broju zavojnica postoje jednovojna i viševojna odvalna glodala. Primjenom viševojnih odvalnih glodala povećava se proizvodnost. Odvalna glodala najčešće se izrađuju od brzoreznog čelika. Mnogo veća proizvodnost postiže se glodalima koja imaju uložene zube od tvrdog metala. Takvim se glodalima može izrađivati ozubljenje samo na krutim obradnim sustavima.

Trošenje zubi odvalnog glodala (sl. 81) može biti različito i ovisno o položaju zuba na glodalu. Ako samo jedan zub

Sl. 79. Aksijalno odvalno glodanje zupčanika. v brzina rezanja, v_0 obodna brzina obratka, s_a aksijalni posmak, β_0 kut nagiba zuba, γ_0 kut uspona zavojnice glodalaSl. 80. Dijagonalno odvalno glodanje zupčanika. v brzina rezanja, v_0 obodna brzina obratka

Sl. 81. Odvalno glodalo i trošenje zuba

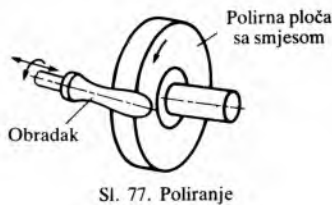
postigne kriterij istrošenja alata, a svi su ostali zubi dovoljno oštri za obradbu, glodalo treba oštiriti. Jednoličnije trošenje zubi odvalnog glodala postiže se velikim šiftingom.

Kriterij istrošenja alata određen je vrijednošću trošenja B_{max} jednog ili više zubi. Kad se postigne ta vrijednost prekida se obradba i alat se mora oštiriti. Također, kad se ne postiže tražena točnost obradbe zupčanika zbog istrošenosti odvalnog glodala, mora se mijenjati alat bez obzira na vrijednost B_{max} .

Veliki šifting omogućuje bolje iskoristenje cijele duljine odvalnog glodala s mnogo većim aksijalnim pomakom glodala od pomaka p_m prema izrazu (72) pri običnom šiftingu. Karakteristično je da je pomak glodala p pri velikom šiftingu ~ 20 puta veći od pomaka p_m pri običnom šiftingu, što najviše ovisi o promjeru obratka. Postupak velikog šiftinga se sastoji u aksijalnom odvalnom glodanju do postignutog kriterija istrošenja alata, pomaku glodala p , ponovnom aksijalnom glodanju, što se ponavlja dok se ne iskoristi cijela duljina glodala. Pomak p odredi se pokušima u proizvodnji tako da ponovno dolaze u zahvat oni zubi koji nisu postigli kriterij istrošenja. Primjenom velikog šiftinga zubi se glodala troše mnogo jednoličnije nego pri dijagonalnom odvalnom glodanju ili pri malom (običnom) šiftingu (sl. 82 i 83). Veliki šifting može se primijeniti na svim odvalnim glodalicama.

Režim obradbe određen je brzinom rezanja i posmakom obratka. Brzina rezanja računa se prema jednadžbi (34), gdje je D (mm) promjer odvalnog glodala. Pri odvalnom glodanju brzina rezanja ne ovisi samo o materijalu obratka i o materijalu alata, već i o normalnom modulu m_n (sl. 84). Obradljivost materijala obratka za odvalno glodanje izražena

pasta za poliranje. Obodna je brzina ploča za poliranje ~ 2300 m/min. Pri poliranju na brusilicama (sl. 77) obradak se drži rukom. Veća se proizvodnost postiže upotrebom poluautomatskih strojeva za poliranje. Troškovi poliranja mogu se mnogo smanjiti dobrom prethodnom pripremom površine obratka.



Sl. 77. Poliranje

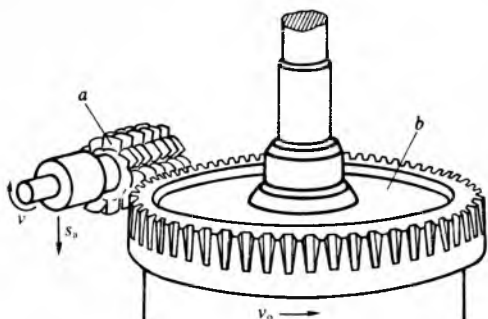
Izradba ozubljenja

Ozubljenja se mogu izradavati, osim postupcima obrade metala skidanjem strugotine, i drugim postupcima: lijevanjem, plastičnom obradbi i sl. Najvažniji postupci izrade ozubljenja skidanjem strugotine jesu odvalno glodanje i odvalno dubljenje. O ostalim postupcima za izradbu ozubljenja skidanjem strugotine v. *Alatni strojevi*, TE 1, str. 163.

Odvalno glodanje postupak je izrade cilindričnih zupčanika s vanjskim ozubljenjem (ravn i kosi zubi), zupčanih letvi i pužnih kola. Glavno i posmično gibanje obavlja odvalno glodalo. Obradak rotira, i to tako da se za jedan okretaj jednovojnog odvalnog glodala obradak okreće za jedan zub (sl. 78). Postoje tri načina odvalnog glodanja: aksijalno odvalno glodanje (sl. 79), dijagonalno odvalno glodanje (sl. 80) kad, osim aksijalnog posmaka s_a , glodalo ima i kontinuirano tangencijalno gibanje s_t u smjeru osi glodala, i tzv. *shifting*, što je u biti aksijalno odvalno glodanje pri kojem se nakon jednog ili nekoliko obrađenih izradaka glodalo pomakne u aksijalnom smjeru za mali posmak p_m , npr. za 1 mm. Taj se posmak računa prema izrazu

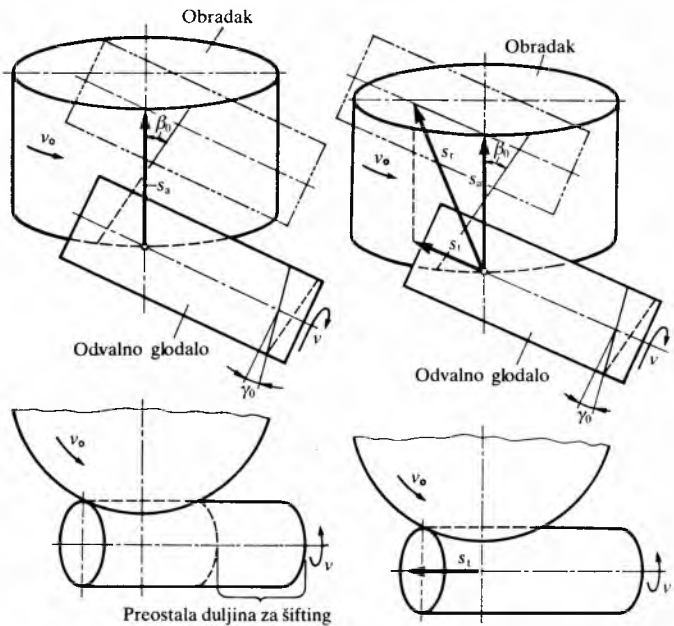
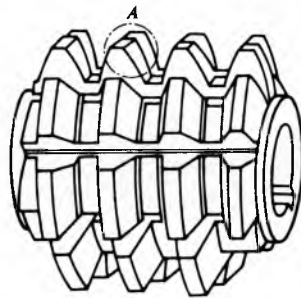
$$p_m = \frac{m_n \pi \cos \gamma_0}{i}, \quad (72)$$

gdje je m_n (mm) normalni modul, γ_0 kut uspona zavojnice glodala, i broj utora glodala koji čine prednje površine zubi. Dijagonalnim odvalnim glodanjem i shiftingom bolje se iskoristiava duljina glodala. Za te dvije vrste odvalnog glodanja moguće je upotrijebiti dulja glodala, pa se tako povećava proizvodnost jer se rjeđe mijenja alat.

Sl. 78. Odvalno glodanje zupčanika. a odvalno glodalo, b obradak, v brzina rezanja, v_0 obodna brzina obratka, s_a aksijalni posmak

Alat je odvalno glodalo kojemu su zubi raspoređeni po zavojnici (sl. 81). Prema broju zavojnica postoje jednovojna i viševojna odvalna glodala. Primjenom viševojnih odvalnih glodala povećava se proizvodnost. Odvalna glodala najčešće se izrađuju od brzoreznog čelika. Mnogo veća proizvodnost postiže se glodalima koja imaju uložene zube od tvrdog metalra. Takvim se glodalima može izraditi ozubljenje samo na krutim obradnim sustavima.

Trošenje zubi odvalnog glodala (sl. 81) može biti različito i ovisno o položaju zuba na glodalu. Ako samo jedan zub

Sl. 79. Aksijalno odvalno glodanje zupčanika. v brzina rezanja, v_0 obodna brzina obratka, s_a aksijalni posmak, β_0 kut nagiba zuba, γ_0 kut uspona zavojnice glodalaSl. 80. Dijagonalno odvalno glodanje zupčanika. v brzina rezanja, v_0 obodna brzina obratka

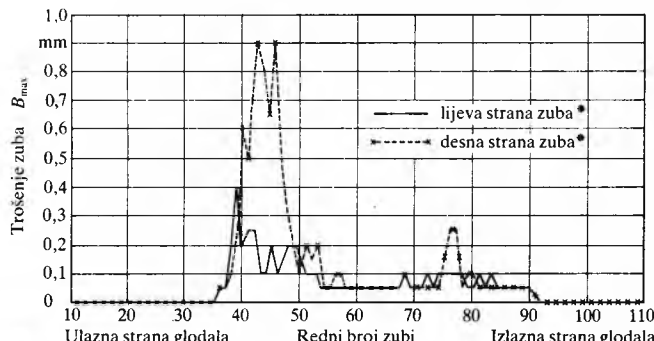
Sl. 81. Odvalno glodalo i trošenje zuba

postigne kriterij istrošenja alata, a svi su ostali zubi dovoljno oštri za obradbu, glodalo treba oštiriti. Jednoličnije trošenje zubi odvalnog glodala postiže se velikim shiftingom.

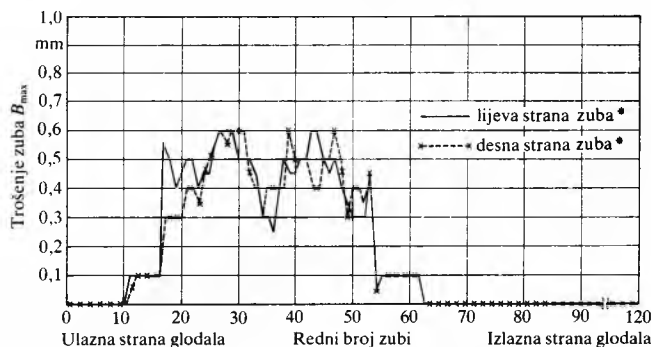
Kriterij istrošenja alata određen je vrijednošću trošenja B_{max} jednog ili više zubi. Kad se postigne ta vrijednost prekida se obradba i alat se mora oštiriti. Također, kad se ne postiže tražena točnost obradbe zupčanika zbog istrošnosti odvalnog glodala, mora se mijenjati alat bez obzira na vrijednost B_{max} .

Veliki shifting omogućuje bolje iskoristenje cijele duljine odvalnog glodala s mnogo većim aksijalnim pomakom glodala od pomaka p_m prema izrazu (72) pri običnom shiftingu. Karakteristično je da je pomak glodala p pri velikom shiftingu ~ 20 puta veći od pomaka p_m pri običnom shiftingu, što najviše ovisi o promjeru obratka. Postupak velikog shiftinga se sastoji u aksijalnom odvalnom glodanju do postignutog kriterija istrošenja alata, pomaku glodala p , ponovnom aksijalnom glodanju, što se ponavlja dok se ne iskoristi cijela duljina glodala. Pomak p određi se pokušima u proizvodnji tako da ponovno dolaze u zahvat oni zubi koji nisu postigli kriterij istrošenja. Primjenom velikog shiftinga zubi se glodala troše mnogo jednoličnije nego pri dijagonalnom odvalnom glodanju ili pri malom (običnom) shiftingu (sl. 82 i 83). Veliki shifting može se primijeniti na svim odvalnim glodalicama.

Režim obrade određen je brzinom rezanja i posmaku obratka. Brzina rezanja računa se prema jednadžbi (34), gdje je D (mm) promjer odvalnog glodala. Pri odvalnom glodanju brzina rezanja ne ovisi samo o materijalu obratka i o materijalu alata, već i o normalnom modulu m_n (sl. 84). Obradljivost materijala obratka za odvalno glodanje izražena



Sl. 82. Primjer trošenja zubi odvalnog glodala pri malom (običnom) šiftingu.
(* u smjeru gibanja zuba)



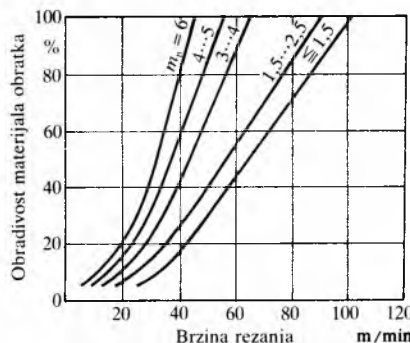
Sl. 83. Primjer trošenja zubi odvalnog glodala pri velikom šiftingu. (* u smjeru gibanja zuba)

u postocima prikazana je u tabl. 22 u kojoj je čelik Č.1120 referentni materijal (obradljivost 100%), jer se odvalnim glodanjem najlakše obrađuje uz najveću postojanost alata i malu hrapavost obrađenih površina. Posmak obavlja odvalno glodalo. Ako se cilindrični zupčanik s ravnim zubima od čelika ili sivog lijeva izrađuje pomoću jednovojnog odvalnog glodala, pri završnom glodanju posmak iznosi $0,8\cdots2,0$ mm po okretaju obratka. Posmak ovisi i o postupku koji slijedi nakon glodanja. Ako je završna obradba zubi brijanjem, posmak iznosi $s = 2,5\cdots6,0$ mm po okretaju obratka, a ako slijedi brušenje, posmak je $s = 2,5\cdots8,0$ mm po okretaju obratka. Pri obradbi kosih zubi aksijalni posmak s_a u smjeru osi obratka iznosi

$$s_a = s \cos \beta_0, \quad (73)$$

gdje je β_0 kut nagiba zubi (sl. 79), a s posmak u smjeru zuba.

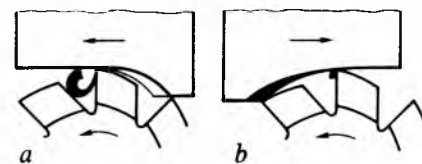
Pri odvalnom glodanju s viševojnim glodalom veće je opterećenje oštrica, pa je posmak za obradbu s dvovojskim glodalom $s_{2v} \approx 2/3s$, a s trovojskim $s_{3v} \approx 1/2s$.



Sl. 84. Izbor brzine rezanja za odvalno glodanje cilindričnih zupčanika glodalom od brzorezognog čelika. m_n normalni modul

Istosmjerno i protusmjerno odvalno glodanje može se primjeniti za izradbu ozubljenja. Istosmjernim glodanjem (sl. 85a) postiže se manja hrapavost obrađene površine i manja

je vjerojatnost pojave vibracija, pa se može postići i veća proizvodnost nego protusmjernim odvalnim glodanjem (sl. 85b i 78). Protusmjerno odvalno glodanje uspješno se primjenjuje za obradbu vrlo žilavih materijala.



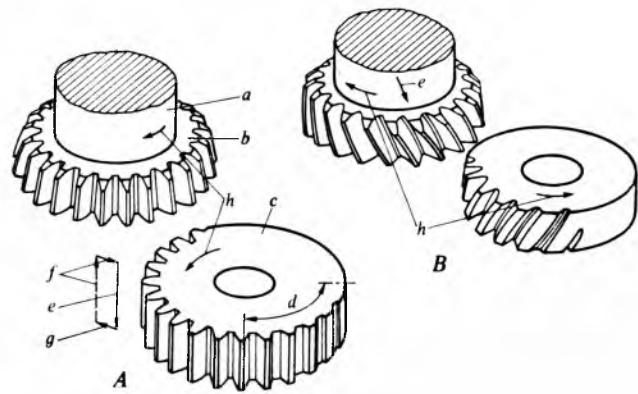
Sl. 85. Odvalno glodanje zupčanika. a istosmjerno, b protusmjerno

Tablica 22
OBRAĐLJIVOST MATERIJALA OBRATKA ZA ODVALNO GLODANJE CILINDRIČNIH ZUPČANIKA OD ČELIKA

Materijal obratka	Toplinski obraden materijal		Poboljšan materijal	
	Vlačna čvrstoća N/mm ²	Obradljivost %	Vlačna čvrstoća N/mm ²	Obradljivost %
Č.1120	460	100	—	—
Č.1220	490	90	—	—
Č.1430	590	71	70	—
Č.0545	590	71	70	—
Č.1530	710	63	80	—
Č.0645	710	63	80	—
Č.3131	750	63	70...85	56
Č.4120	560	90	—	—
Č.4130	750	63	72...92	56
Č.4131	750	56	90...108	45
Č.4320	630	80	—	—
Č.4321	700	71	—	—
Č.5420	750	63	—	—
Č.5421	800	56	—	—
Č.4730	750	63	70...95	50
Č.4732	750	56	80...120	40
Č.5430	750	50	85...115	36

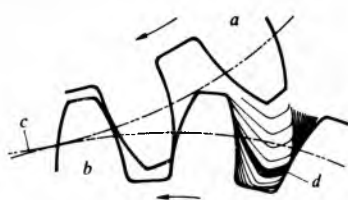
Ograničenja i podesnost odvalnog glodanja. Ako su dva zupčanika izrađena u jednom komadu (često u mjenjačima vozila), manji se zupčanik obično ne može izraditi odvalnim glodanjem, jer obično nedostaje prostor za izlaz glodala. Takav zupčanik izrađuje se odvalnim dubljenjem. Također, odvalnim glodanjem ne mogu se izraditi unutrašnja ozubljenja. Odvalno glodanje ima prednost za izradbu cilindričnih zupčanika s ravnim i s kosim zubima, a posebno ako je širina zupčanika velika i ako zupčanik s vratilom čini jednu cjelinu.

Odvalno dubljenje postupak je kojim se izrađuju zupčanici s unutrašnjim ozubljenjem (ravni i kosii zubi), cilindrični zupčanici (ravni i kosii zubi), te zupčane letve. Glavno gibanje obavlja alat (sl. 86) u obliku zupčanika s pripadnim skošenjima za prednji i stražnji kut. Alat se giba prema dolje i pri tom skida strugotinu. Zbog kružnog gibanja alata i obratka nastaje odvaljivanje (sl. 87). Alat ulazi u obradak na primjerenu dubinu radijalnim posmičnim gibanjem.



Sl. 86. Odvalno dubljenje ravnih (A) i kosih zubi (B). a držać alata, b alat, c obradak, d dio obratka u koji ulazi alat, e radni hod alata, f povratni hod alata, g odmicanje alata od obratka (0,3...0,8 mm), h pomoćno gibanje odvaljivanja

Alat je rezno kolo izrađeno od brzoreznog čelika. Da bi se dobio pozitivan prednji kut, čeona ploha alata je konkavna. Nakon istrošenja alata oštri se samo prednja ploha da bi profil zubi alata ostao nepromijenjen. Stroj za odvalno dubljenje jest odvalna dubilica (v. *Alatni strojevi*, TE 1, str. 164).



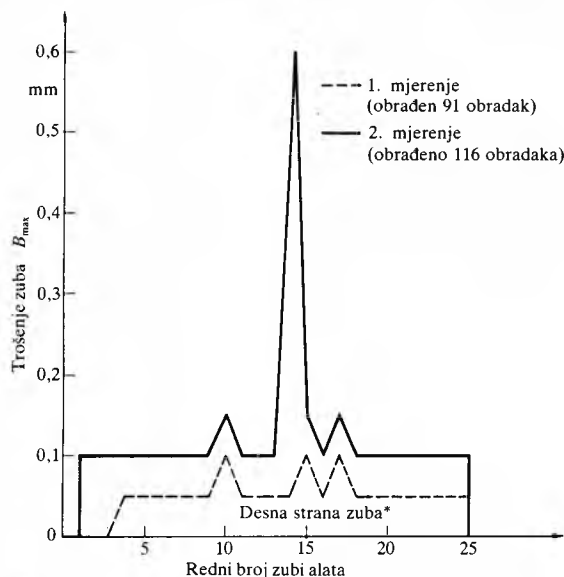
Sl. 87. Princip odvalnog dubljenja. a alat, b obradak, c diobena kružnica, d presjek neodrezane strugotine

Režim obrade određen je brzinom rezanja i posmaku. U preporukama je obično određena najveća vrijednost brzine rezanja, jer se ona mijenja ovisno o položaju alata i o posmaku. Srednje vrijednosti posmaka i brzine rezanja navedene su u tabl. 23. Posmak za grubu obradbu veći je od posmaka za završnu obradbu, pa u praksi treba pokusima odrediti najveći posmak kojim se postiže tražena hrapavost i točnost oblika zuba. Istim alatom i jednim stezanjem obratka može se izvršiti gruba obradba, a najčešće drugim prolazom i završna obradba.

Tablica 23

SMJERNICE ZA MAKSIMALNU BRZINU REZANJA I POSMAK PRI ODVALNOM DUBLJENJU ALATOM SA $D = 100 \text{ mm}$

Materijal obratka	Maksimalna brzina rezanja m/min	Posmak po dvostrukom hodu (mm) za modul				
		1	2	3	4	5
SL 20	18...22	0,17	0,20	0,23	0,27	0,32
Č.1430	22...25	0,17	0,23	0,23	0,27	0,27
Č.1530	25...28	0,17	0,23	0,23	0,27	0,27
Č.1730	22...25	0,17	0,23	0,23	0,27	0,27
Č.4131	20...24	0,17	0,20	0,23	0,27	0,27
Č.3130	10...15	0,14	0,17	0,20	0,23	0,20
Č.4320	21...24	0,17	0,20	0,23	0,27	0,23
ČL.0400	22...26	0,14	0,20	0,23	0,27	0,27
P.CuSn14	40...50	0,17	0,23	0,23	0,27	0,27
Elektron	50...60	0,17	0,23	0,27	0,27	0,27
Novotex	50...60	0,17	0,23	0,23	0,23	0,23



Sl. 88. Trošenje alata pri odvalnom dubljenju. (*) u smjeru gibanja zuba)

Trošenje zubi alata za odvalno dubljenje po obliku je slično trošenju pri odvalnom glodanju. Za trošenje alata za odvalno dubljenje karakteristično je da se zubi približno jednolikom trošenjem naglo porastu (sl. 88). Zbog tako

velikog trošenja jednog od zubi treba alat oštiti, iako su ostali zubi još sposobni za obradbu. Jednoličnije i manje trošenje svih zubi može se postići ako se nakon određenog broja obrađenih obradaka alat zakrene oko svoje osi za 180° ili za neki drugi kut s obzirom na obradak. Nakon zakretanja alata obradi se istim alatom još određeni broj obradaka. Tako se može povećati postojanost alata, odnosno proizvodnost pri odvalnom dubljenju.

Za ostale postupke za izradbu ozubljenja skidanjem strugotine v. *Alatni strojevi*, TE 1, str. 163.

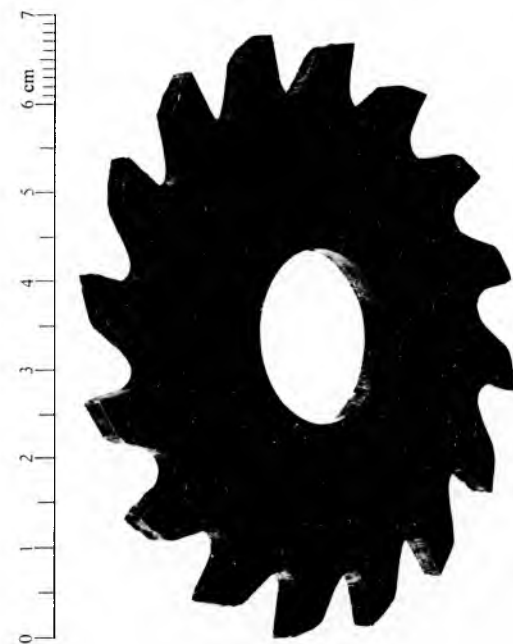
NEKONVENCIONALNI POSTUPCI OBRADBE METALA

U nekonvencionalnoj obradbi metala najčešće se ne primjenjuje princip klina za skidanje materijala, već se iskorištava kemijsko, mehaničko ili toplinsko djelovanje električne struje, djelovanje topline i ultrazvuka. Karakteristika je takve obrade da volumen skinutog materijala u jedinici vremena ne ovisi o tvrdoći i žilavosti materijala obratka, već o njegovim fizičkim i kemijskim svojstvima (električna provodnost, toplinska vodljivost i dr.), te da alat, ako je potreban, ne mora imati veću tvrdoću od tvrdoće obratka. Osim toga, neki su nekonvencionalni postupci pogodni za obradbu vrlo malih površina ili prorvta vrlo malih promjera.

Neki od nekonvencionalnih postupaka obradeni su u posebnim člancima kao elektroerozijska obrada (v. *Elektroerozijska obrada*, TE 4, str. 355) i elektrokemijska obrada (v. *Elektrokemijska obrada*, TE 4, str. 393).



Sl. 89. Provrt promjera $0,25 \mu\text{m}$ izrađen laserom i naknadno smanjen pozlaćivanjem

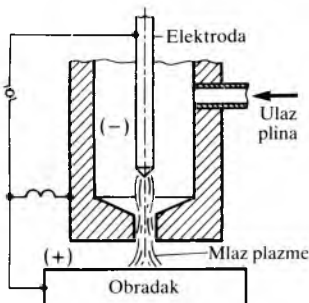


Sl. 90. Obradak izrađen laserom

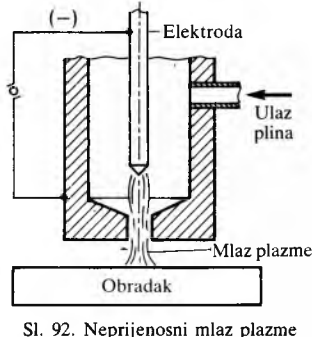
Obradba elektronskim mlažom postupak je za skidanje malih količina materijala, a elektronski mlaž može poslužiti i za zavarivanje. Mlaž elektrona iz katodne cijevi usmjerava se pomoću magnetnog polja na obradak uz eventualno povećanje koncentracije energije pomoću magnetskih leća. Elektronski mlaž može imati veliku gustoću energije i do nekoliko GW/cm^2 , pa temperatura na mjestu obradbe iznosi $4000\cdots6000\text{ K}$. Taj je postupak pogodan za izradbu prvrta promjera od nekoliko mikrometara.

Obradba metala laserom zapravo je postupak za skidanje metala pomoću topline, a lasersko zračenje može se upotrijebiti i za zavarivanje. Taj je postupak posebno pogodan za izradbu prvrta vrlo malog promjera (sl. 89). Primjena obradbe laserom ograničena je snagom laserskog zračenja. Materijal s velikom toplinskom vodljivošću (npr. bakar) nije pogodan za obradbu laserom. Prednost je toga postupka da obradak ne mora biti u neutralnoj atmosferi ili u vakuumu. Na sl. 90 vidi se obradak izrađen laserom. Primjena lasera za obradbu metala tek je na početku razvoja.

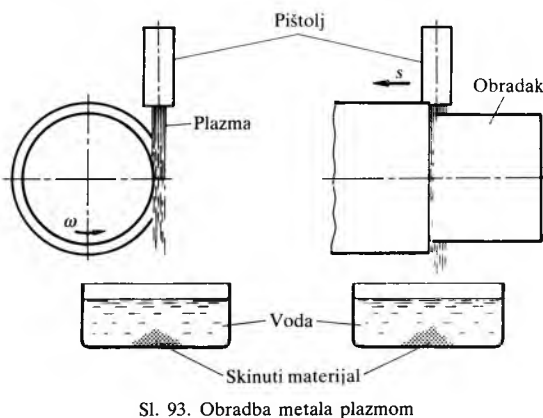
Obradba metala plazmom postupak je za skidanje metala toplinom (v. *Plazma*, TE 10, str. 352). Prijenosni mlaž plazme (sl. 91) pogodan je za skidanje metala, dok se neprijenosnim mlažom plazme (sl. 92) mogu prenositi manje količine topline na obradak. Ako se na tokarskom stroju tokarski nož zamjeni mlažom plazme, tj. pištanjem za stvaranje plazme (sl. 93), moguća je gruba obradba valjkastih obradaka. Manja hrapavost obrađene površine može se postići kombiniranim obradbom metala plazmom i skidanjem strugotine s ugrijanog obratka. Za sada se obraduju plazmom metali slabije obradljivosti. Osim toga, plazmom se režu limovi uspješnije nego autogenim rezanjem. Plazmom se mogu rezati deblji limovi uz veću brzinu rezanja i uz manju hrapavost obrađene površine.



Sl. 91. Prijenosni mlaž plazme



Sl. 92. Neprijenosni mlaž plazme



Sl. 93. Obradba metala plazmom

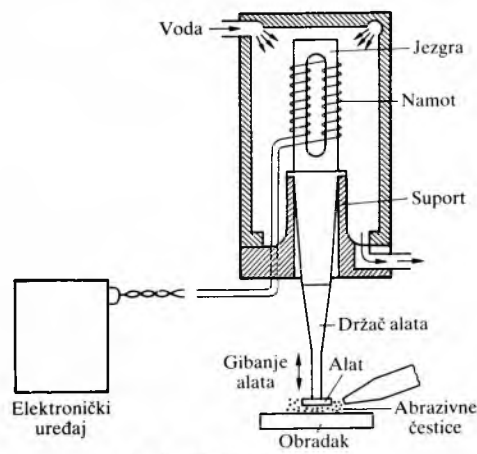
Skidanje strugotine s ugrijanog obratka postupak je kojim se strugotina skida kad su vanjski sloj obratka ili cijeli obradak zagrijani na temperaturu od $950\cdots1200\text{ K}$, pa i više, što ovisi o materijalima obratka i alata. Zagrijani materijal ima manju tvrdoću i žilavost, pa je potrebna i manja sila rezanja, i to za $\sim 50\%$ nego pri obradbi nezagrijanog obratka. Obradom zagrijanog obratka, osim toga, povećava se

volumen skinute strugotine u jedinici vremena, smanjuju se troškovi obradbe, vibracije se pojavljuju tek pri većim brzinama, smanjuje se hrapavost obrađene površine i povećava se postojanost alata. Tako se, npr., postojanost alata s pločicom od rezne keramike za tokarenje čelika za ukovnje (tvrdota 60 HRc) povećava čak za ~ 60 puta, a za tokarenje nerđajućeg čelika za ~ 7 puta s obzirom na tokarenje nezagrijanih obradaka.

Zagrijavanje plazmom i induksijsko zagrijavanje najpoznatiji su postupci za zagrijavanje obradaka.

Skidanje strugotine s ugrijanog obratka pogodno je i ekonomično za obradbu materijala srednje tvrdoće i srednje obradljivosti.

Ultrazvučna obradba postupak je za bušenje prvrta i dubljenje udubina tvrdih materijala pomoću brusnih zrnaca. Njih ubrzava alat zatitran ultrazvukom i oni s velikom brzinom udaraju na obradak i tako skidaju čestice obratka (sl. 94). Oblik presjeka alata odgovara obliku prvrta ili udubine. Vibracije alata iznose $15\cdots30\text{ kHz}$. Omjer skinutog materijala obratka i trošenje alata iznosi 10:1, što se smatra zadovoljavajućom postojanošću alata. Ultrazvučna obradba upotrebljava se samo za materijale tvrdoće veće od 64 HRc i za oblike prvrta i udubina koji se ne mogu izraditi brušenjem. Prednost je ultrazvučne obradbe s obzirom na elektroerozijsku i elektrokemijsku obradbu da se ultrazvučno mogu obradivati i nemetalni.



Sl. 94. Ultrazvučna obradba

Ultrazvučnim postupkom izrađuju se matrice za provlačenje i za ekstruziju, a primjenjuje se i za rezanje poluvodiča i za izradbu gravura na staklu i keramici.

LIT.: M. Kronenberg, *Grundzüge der Zerspannungslehre*, I-III Band. Springer-Verlag, Berlin 1954, 1963, 1969. – G. C. Sen, A. Bhattacharya, *Principles of Metal Cutting*. New Central Book, Calcutta 1969. – H. Opitz, *Moderne Produktionstechnik*. Girardet, Essen 1970. – R. Zdenković, Obrada metala skidanjem. Sveučilište u Zagrebu, Zagreb 1975. – B. Ivković, *Nekonvencionalni postupci obrade metala*. Mašinski fakultet, Kragujevac, Kragujevac 1975. – E. Kuljanić, Obrada materijala odvajanjem čestica. Sveučilište »V. Bakarić«, Rijeka 1987.

E. Kuljanić

POZAMENTERIJA, tekstilni proizvodi, široki $5\cdots150\text{ mm}$ ili promjera $0,5\cdots20\text{ mm}$, koji se upotrebljavaju pri izradbi odjeće i obuće te kao ukras na odjevnim predmetima, u kućanstvu i u nekim industrijskim granama. Izrađuju se od svih vrsta tekstilnih, gumenih i metalnih niti ili vrpci na strojevima posebne konstrukcije koji rade tehnikom tkanja, pletenja, uvijanja ili opletanja.

Proizvodnja pozamenterije počinje u nas početkom XIX st. Snažnije se razvija od 1925. do 1930. godine. Tada se, uglavnom iz Njemačke, dovoze dotrajali strojevi i montiraju u naše pogone da bi se iskoristila jeftina radna snaga. Najviše se razvila tzv. konfekcijska pozamenterija koja obuhvaća